



Digitálně podepsal Ing. Jan Vopička
DN: c=CZ,
2.5.4.97=NTRCZ-45770743, o=Česká
komora autorizovaných inženýrů a
techniků činných ve výstavbě,
ou=Elektronické autorizační razítko,
ou=0014055, cn=Ing. Jan Vopička,
sn=Vopička, givenName=Jan,
serialNumber=P828478, title=IS00
Datum: 2024.10.15 12:39:24 +02'00'

217--15.10.2024

01	10.10.2024	Změna koncepce garáží	JV
00	27.6.2022	První vydání	JV

STUPEŇ	DÚR - DSP
--------	-----------

NÁZEV AKCE	Požární zbrojnice pro jednotku sboru dobrovolných hasičů Turnov
------------	---

ČÁST DOKUMENTACE	D.1.2 STAVEBNĚ KONSTRUKČNÍ ŘEŠENÍ
------------------	-----------------------------------

STAVEBNÍK	GENERÁLNÍ PROJEKTANT	HIP
Město Turnov Antonína Dvořáka 335 511 01 Turnov	Jan Hošek Mikulášovice 795 407 79 Mikulášovice	Ing. Pavel Veverka
LOKALITA	ČÍSLO ZAKÁZKY	PROJEKTANT
p.č. 708/12 k.ú. Daliměřice	012-22-20	FAPAL Projekční a statická kancelář
DATUM	MĚŘÍTKO	ZODPOVĚDNÝ PROJEKTANT
06/2021	--	Ing. Jan Vopička (ČKAIT 0014055)
NÁZEV VÝKRESU	ČÍSLO PŘÍLOHY	ČÍSLO VÝKRESU
Statické posouzení	D.1.2.c	115-22-SC101
Revize 01		PARÉ

1. Obsah

1. Obsah	1
2. Obecné informace	2
2.1. Normy	2
2.2. Předpoklady výpočtu	2
2.3. Software	2
2.4. Hodnoty užitných, klimatických a dalších zatížení uvažovaných při návrhu nosné konstrukce	2
3. Schema konstrukce	3
3.1. Výpočtový model	3
4. Základní data výpočtu	4
4.1. Materiály	4
4.2. Průřezy	5
5. Popis konstrukcí	11
5.1. Výpočtový model - 2NP Administrativy	12
5.2. Výpočtový model - 1NP - Administrativa	12
5.3. Výpočtový model - 1NP - garáže	13
5.4. Výpočtový model - základy	14
5.5. Výpočtový model - stožár - typická stěna	15
5.6. Výpočtový model - strožár - stěna s dveřmi	16
5.7. Výpočtový model - stožár - vrchní rám + typický paždík (paždíky kladeny po 1 m)	17
6. Zatížení	18
6.1. Zatěžovací stavy	18
6.2. Skupiny zatížení	18
6.3. Kombinace	19
6.4. Rozbor zatížení	20
6.5. Klimatická zatížení	21
6.6. Zatížení sněhem	22
6.7. Zatížení větrem	22
6.8. Schema zatížení	23
7. Výsledky a posouzení	44
7.1. Návrh stopních panelů	44
7.2. Návrh střešního trapézového plechu	48
7.3. Věnce 2NP	49
7.4. Věnce 1NP	52
7.5. Průvlaky 1NP	55
7.6. Strop 1NP (schodiště H300, podesta H230)	58
7.7. Sloupy	62
7.8. Stěny 1NP	67
7.9. Základová deska	69
7.10. Pasy	77
7.11. Reakce do pilot	81
7.12. Návrh železobetonových prvků (dle průřezu)	83
7.13. Stožár	107
8. Závěr	110

2. Obecné informace

Obsahem tohoto dokumentu je statický návrh a posouzení konstrukcí hasičské zbrojnice Turnov - Vesecko a přilehlého stožáru.

Tato dokumentace nenahrazuje podrobnou výrobní/dodavatelskou dokumentaci konstrukcí.

2.1. Normy

Konstrukce je navržena v souladu s principy a pravidly evropských norem pro navrhování konstrukcí (Eurocode) na základě mezních stavů.

- 1) Zatížení větrem – EN1991-1-4
- 2) Zatížení sněhem – EN1991-3
- 3) Zatížení vlastní tíhou – EN1991-1-1
- 4) Návrh nosné ocelové konstrukce – EN1993-1-1, EN1993-1-8
- 5) Návrh nosné betonové konstrukce – EN1992-1-1
- 6) Návrh dřevěné nosné konstrukce – EN 1995-1-1
- 7) Návrh založení – EN1997-1-1

2.2. Předpoklady výpočtu

Jsou použity metrické jednotky v souladu se systémem SI:

Délka: mm (nebo m)

Výška nad zemí m (nebo mm)

Síla: kN

Moment: kNm

Napětí: MPa (= N/mm²)

Konvence globálních os pro výpočet::

Pravoruký souřadný systém:

- Směr +X • Směr +Y • Směr +Z

Konvence vnitřních sil:

N = kladné (+) odpovídá tahu, záporné (-) odpovídá tlaku Vz = smyk rovnoběžný se stojinou,

Vy = smyk rovnoběžný s pásnicemi My = ohyb okolo tuhé osy, Mz = ohyb kolem měkké osy,

Mx = kroucení

2.3. Software

Pro návrh a posouzení konstrukce byl použit program SCIA Engineer 19.1.2030, vydaný společností Nemetschek.

Byl vytvořen 3D prutový model s 1D a 2D dílci.

- 1D-dílce: sloupy, nosníky, vaznice atd.
- 2D-dílce: stěny, desky...

Dále program FIN EC 2022 pro dimenzování ŽB prvků-

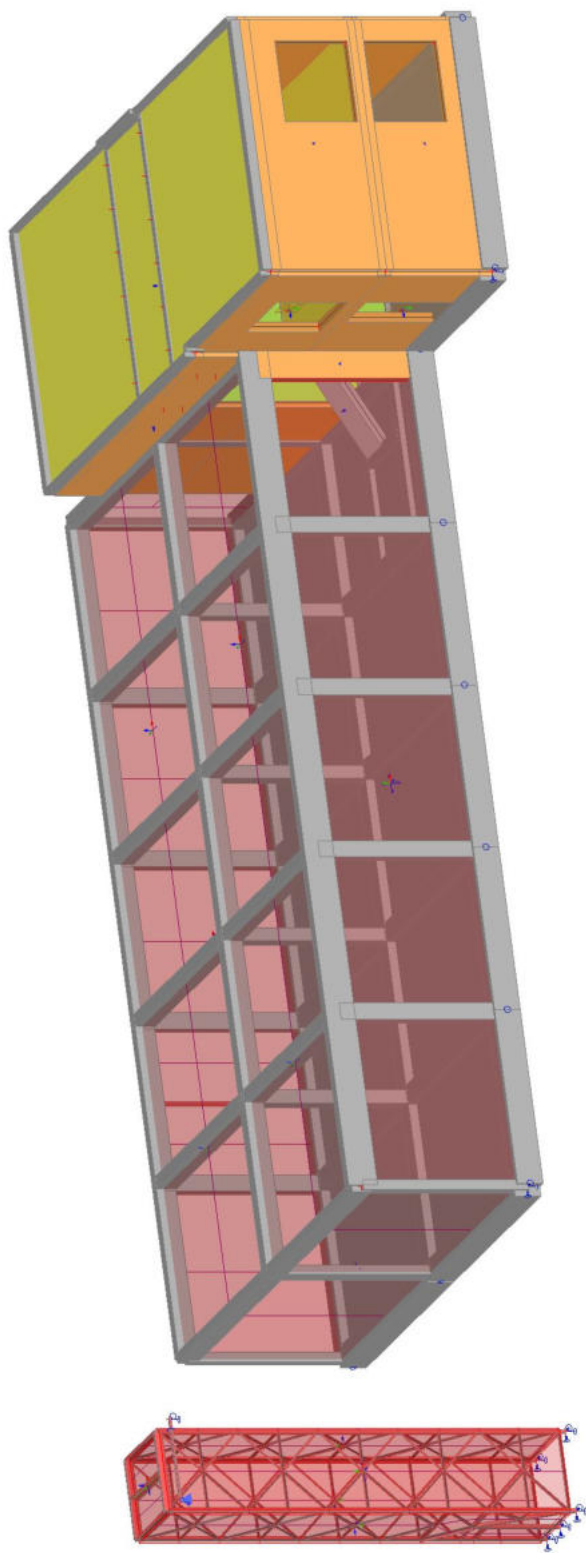
Program GEO5 2020 pro návrh základových konstrukcí.

2.4. Hodnoty užitných, klimatických a dalších zatížení uvažovaných při návrhu nosné konstrukce

viz podrobně níže.

3. Schema konstrukce




3.1. Výpočtový model



4. Základní data výpočtu

4.1. Materiály



Ocel EC3

Jméno	ρ [kg/m ³]	E_{mod} [MPa] G_{mod} [MPa]	μ α [m/mK]	Dolní mez [mm]	Horní mez [mm]	F_y [MPa]	F_u [MPa]	Barva
S 235	7850,0	2,1000e+05 8,0769e+04	0.3 0,00	0 40	40 80	235,0 215,0	360,0 360,0	
FICTIVE	0,0	2,1000e+05 8,0769e+04	0.3 0,00	0 40	40 80	235,0 215,0	360,0 360,0	
S 235	7850,0	2,1000e+05 8,0769e+04	0.3 0,00	0 40	40 80	235,0 215,0	360,0 360,0	

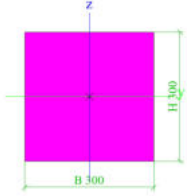
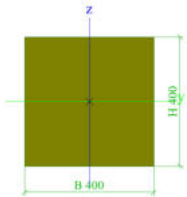
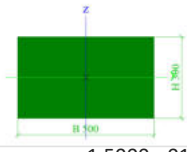
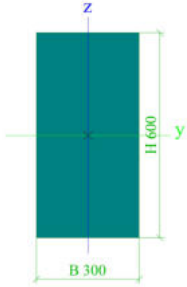
Jméno	Typ	ρ [kg/m ³]	Hustota v čerstvém stavu [kg/m ³]	E_{mod} [MPa]	μ	α [m/mK]	$f_{c,k,28}$ [MPa]	Barva
C12/15	Beton	2500,0	2600,0	2,7100e+04	0.2	0,00	12,00	
C16/20	Beton	2500,0	2600,0	2,8600e+04	0.2	0,00	16,00	
C20/25	Beton	2500,0	2600,0	3,0000e+04	0.2	0,00	20,00	
C25/30	Beton	2500,0	2600,0	3,1500e+04	0.2	0,00	25,00	
C45/55-PPD258	Beton	1500,0	1500,0	3,6300e+04	0.2	0,00	45,00	

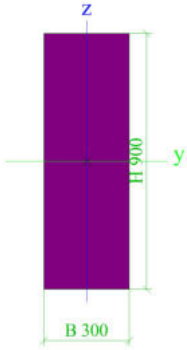
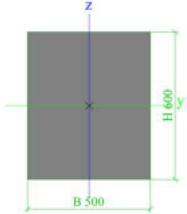
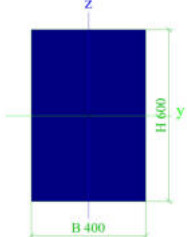
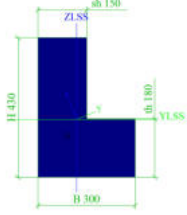
Vysvětlivky symbolů	
Hustota v čerstvém stavu	Hodnota hustoty v čerstvém stavu se použije pouze v případě, že je zadána spřažená deska a její vlastní tíha se zohledňuje.

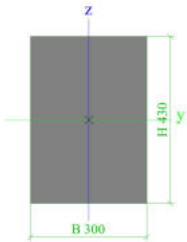
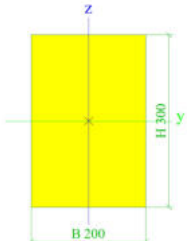
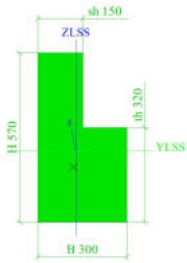
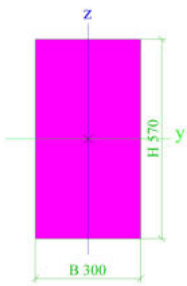
Zdivo

Jméno	Typ	ρ [kg/m ³]	E_{mod} [MPa]	μ	G_{mod} [MPa]	α [m/mK]	f_k [MPa]	Barva
Zdivo 300 SK2-Kat I	Zdivo	850,0	5,1500e+03	0.25	2,0600e+03	0,00	5,2	
Zdivo 200 SK1-Kat I	Zdivo	550,0	2,1980e+03	0.25	8,7920e+02	0,00	3,1	

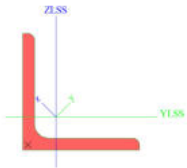
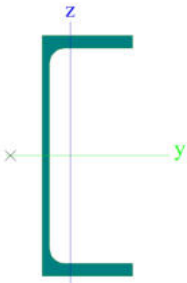
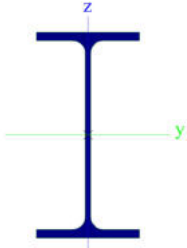
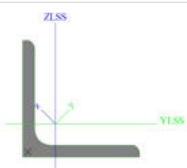
4.2. Průřezy

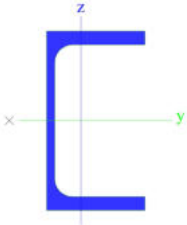
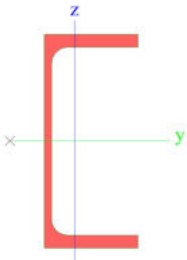
SL1				
Výroba, Materiál, Typ, Detailní Obrázek	beton	C25/30	Obdélník	300; 300
				
A [m ²], A _y [m ²], A _z [m ²]	9,0000e-02	7,5093e-02	7,5093e-02	
I _y [m ⁴], I _z [m ⁴], I _t [m ⁴], I _w [m ⁶]	6,7500e-04	6,7500e-04	1,1369e-03	9,1138e-08
SL2				
Výroba, Materiál, Typ, Detailní Obrázek	beton	C25/30	Obdélník	400; 400
				
A [m ²], A _y [m ²], A _z [m ²]	1,6000e-01	1,3348e-01	1,3348e-01	
I _y [m ⁴], I _z [m ⁴], I _t [m ⁴], I _w [m ⁶]	2,1333e-03	2,1333e-03	3,5938e-03	5,1662e-07
SL4				
Výroba, Materiál, Typ, Detailní Obrázek	beton	C25/30	Obdélník	300; 500
				
A [m ²], A _y [m ²], A _z [m ²]	1,5000e-01	1,2509e-01	1,2524e-01	
I _y [m ⁴], I _z [m ⁴], I _t [m ⁴], I _w [m ⁶]	1,1250e-03	3,1250e-03	2,8116e-03	5,3748e-06
PR1-1				
Výroba, Materiál, Typ, Detailní Obrázek	beton	C25/30	Obdélník	600; 300
				
A [m ²], A _y [m ²], A _z [m ²]	1,8000e-01	1,5029e-01	1,5007e-01	
I _y [m ⁴], I _z [m ⁴], I _t [m ⁴], I _w [m ⁶]	5,4000e-03	1,3500e-03	3,6990e-03	1,4658e-05
PR1-2				
Výroba, Materiál, Typ, Detailní	beton	C25/30	Obdélník	900; 300

Obrázek				
	A [m ²], A _y [m ²], A _z [m ²]	2,7000e-01	2,2583e-01	2,2509e-01
	I _y [m ⁴], I _z [m ⁴], I _t [m ⁴], I _w [m ⁶]	1,8225e-02	2,0250e-03	6,3830e-03
PR1-3				
Výroba, Materiál, Typ, Detailní Obrázek	beton	C25/30	Obdélník	600; 500
Obrázek				
	A [m ²], A _y [m ²], A _z [m ²]	3,0000e-01	2,5034e-01	2,5024e-01
	I _y [m ⁴], I _z [m ⁴], I _t [m ⁴], I _w [m ⁶]	9,0000e-03	6,2500e-03	1,2440e-02
PR1-4				
Výroba, Materiál, Typ, Detailní Obrázek	beton	C25/30	Obdélník	600; 400
Obrázek				
	A [m ²], A _y [m ²], A _z [m ²]	2,4000e-01	2,0031e-01	2,0014e-01
	I _y [m ⁴], I _z [m ⁴], I _t [m ⁴], I _w [m ⁶]	7,2000e-03	3,2000e-03	7,5061e-03
VEN1-1				
Výroba, Materiál, Typ, Detailní Obrázek	beton	C25/30	L g	430; 300; 180; 150
Obrázek				
	A [m ²], A _y [m ²], A _z [m ²]	9,1500e-02	8,8042e-02	7,0541e-02
	I _{y,LCS} [m ⁴], I _{z,LCS} [m ⁴]	1,3641e-03	5,9980e-04	
	I _{yz,LCS} [m ⁴]	-3,5686e-04		
	I _y [m ⁴], I _z [m ⁴], I _t [m ⁴], I _w [m ⁶]	1,5048e-03	4,5909e-04	6,8914e-04
VEN1-2				
Výroba, Materiál, Typ, Detailní	beton	C25/30	Obdélník	430; 300

Obrázek				
	A [m ²], A _y [m ²], A _z [m ²]	1,2900e-01	1,0771e-01	1,0760e-01
	I _y [m ⁴], I _z [m ⁴], I _t [m ⁴], I _w [m ⁶]	1,9877e-03	9,6750e-04	2,2014e-03
VEN1-3				
Výroba, Materiál, Typ, Detailní	beton	C25/30	Obdélník	300; 200
Obrázek				
A [m ²], A _y [m ²], A _z [m ²]	6,0000e-02	5,0078e-02	5,0035e-02	
I _y [m ⁴], I _z [m ⁴], I _t [m ⁴], I _w [m ⁶]	4,5000e-04	2,0000e-04	4,6913e-04	2,3929e-07
VEN3-1				
Výroba, Materiál, Typ, Detailní	beton	C25/30	L g	570; 300; 320; 150
Obrázek				
A [m ²], A _y [m ²], A _z [m ²]	1,3350e-01	1,2750e-01	1,0752e-01	
I _{y,LCS} [m ⁴], I _{z,LCS} [m ⁴]	3,2048e-03	9,4200e-04		
I _{yz,LCS} [m ⁴]	-5,7640e-04			
I _y [m ⁴], I _z [m ⁴], I _t [m ⁴], I _w [m ⁶]	3,3432e-03	8,0363e-04	1,6591e-03	5,7374e-06
VEN3-2				
Výroba, Materiál, Typ, Detailní	beton	C25/30	Obdélník	570; 300
Obrázek				
A [m ²], A _y [m ²], A _z [m ²]	1,7100e-01	1,4278e-01	1,4258e-01	
I _y [m ⁴], I _z [m ⁴], I _t [m ⁴], I _w [m ⁶]	4,6298e-03	1,2825e-03	3,4317e-03	1,1257e-05
VEN3-3				
Výroba, Materiál, Typ, Detailní	beton	C25/30	L g	750; 300; 500; 150

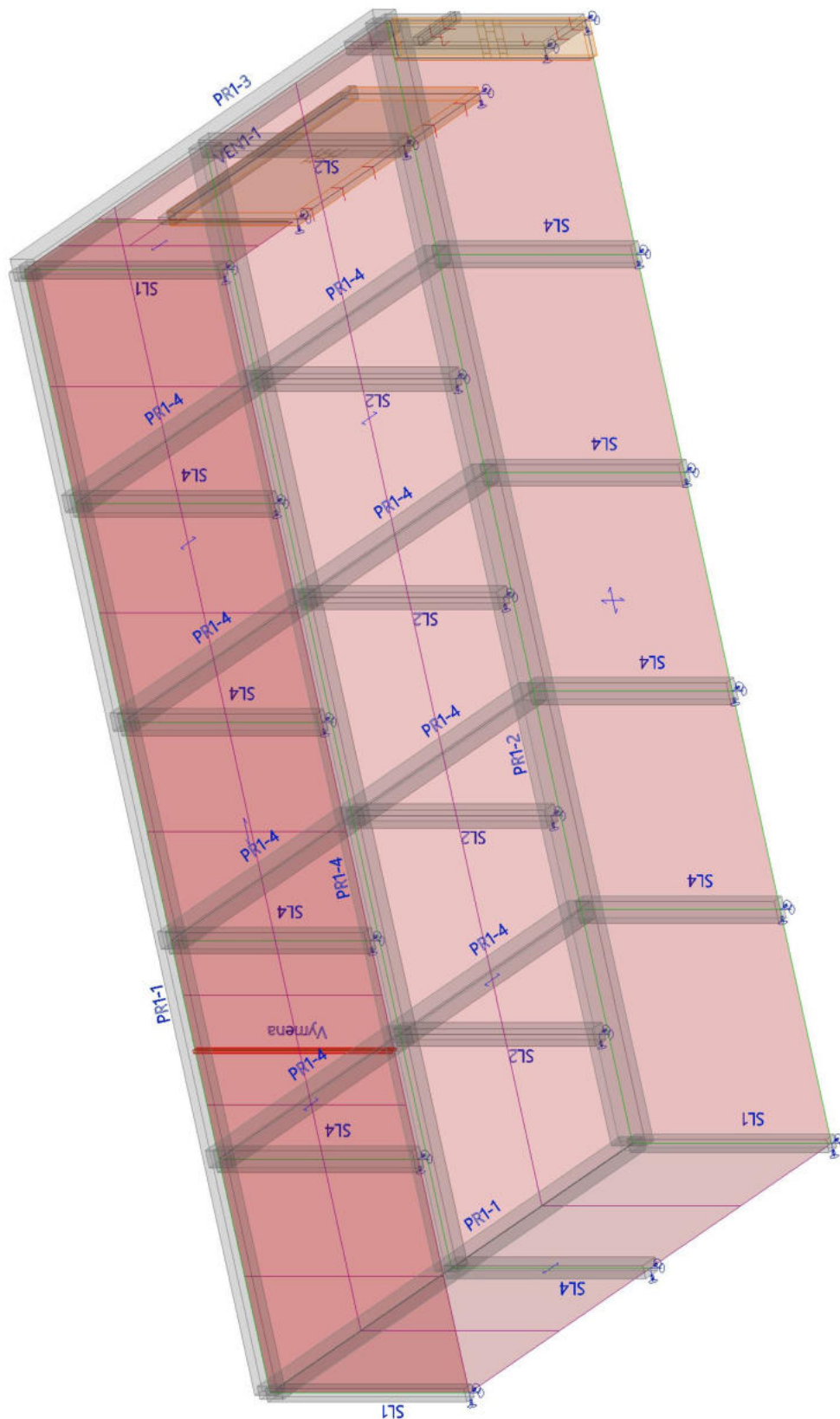
Obrázek				
A [m²], A _y [m²], A _z [m²]	1,8750e-01	1,7238e-01	1,6057e-01	
I _{y,LCS} [m⁴], I _{z,LCS} [m⁴]	7,5391e-03	1,3641e-03		
I _{yz,LCS} [m⁴]	-8,4375e-04			
I _y [m⁴], I _z [m⁴], I _t [m⁴], I _w [m⁶]	7,6523e-03	1,2508e-03	3,1953e-03	1,5439e-05
VEN3-4				
Výroba, Materiál, Typ, Detailní	beton	C25/30	Obdélník	320; 200
Obrázek				
A [m²], A _y [m²], A _z [m²]	6,4000e-02	5,3417e-02	5,3366e-02	
I _y [m⁴], I _z [m⁴], I _t [m⁴], I _w [m⁶]	5,4613e-04	2,1333e-04	5,2081e-04	3,6711e-07
PAS1				
Výroba, Materiál, Typ, Detailní	beton	C25/30	Obdélník	800; 600
Obrázek				
A [m²], A _y [m²], A _z [m²]	4,8000e-01	4,0063e-01	4,0036e-01	
I _y [m⁴], I _z [m⁴], I _t [m⁴], I _w [m⁶]	2,5600e-02	1,4400e-02	3,1134e-02	7,1423e-05
PAS2				
Výroba, Materiál, Typ, Detailní	beton	C25/30	Obdélník	500; 400
Obrázek				
A [m²], A _y [m²], A _z [m²]	2,0000e-01	1,6693e-01	1,6683e-01	
I _y [m⁴], I _z [m⁴], I _t [m⁴], I _w [m⁶]	4,1667e-03	2,6667e-03	5,4864e-03	3,5596e-06
ST1				
Výroba, Materiál, Typ, Detailní	válcovaný	S 235	L100X10	

Obrázek					
Posudek rovinného vzpěru y-y, Posudek rovinného vzpěru z-z		b	b		
A [m ²], A _y [m ²], A _z [m ²]		1,9200e-03	1,6118e-03	1,6187e-03	
I _{y,LCS} [m ⁴], I _{z,LCS} [m ⁴]		1,7700e-06	1,7700e-06		
I _{yz,LCS} [m ⁴]		-1,0362e-06			
I _y [m ⁴], I _z [m ⁴], I _t [m ⁴], I _w [m ⁶]		2,8000e-06	7,3300e-07	6,6700e-08	2,3823e-40
ST2					
Výroba, Materiál, Typ, Detailní Obrázek		válcovaný	S 235	UPE240	
					
Posudek rovinného vzpěru y-y, Posudek rovinného vzpěru z-z		c	c		
A [m ²], A _y [m ²], A _z [m ²]		3,8500e-03	2,1197e-03	1,6936e-03	
I _y [m ⁴], I _z [m ⁴], I _t [m ⁴], I _w [m ⁶]		3,5990e-05	3,1100e-06	1,5100e-07	2,7762e-08
ST3					
Výroba, Materiál, Typ, Detailní Obrázek		válcovaný	S 235	IPE240	
					
Posudek rovinného vzpěru y-y, Posudek rovinného vzpěru z-z		a	b		
A [m ²], A _y [m ²], A _z [m ²]		3,9100e-03	2,4315e-03	1,5295e-03	
I _y [m ⁴], I _z [m ⁴], I _t [m ⁴], I _w [m ⁶]		3,8920e-05	2,8400e-06	1,2900e-07	3,7400e-08
ST4					
Výroba, Materiál, Typ, Detailní Obrázek		válcovaný	S 235	L60X6	
					
Posudek rovinného vzpěru y-y, Posudek rovinného vzpěru z-z		b	b		
A [m ²], A _y [m ²], A _z [m ²]		6,9100e-04	5,7999e-04	5,8516e-04	
I _{y,LCS} [m ⁴], I _{z,LCS} [m ⁴]		2,2800e-07	2,2800e-07		
I _{yz,LCS} [m ⁴]		-1,3344e-07			

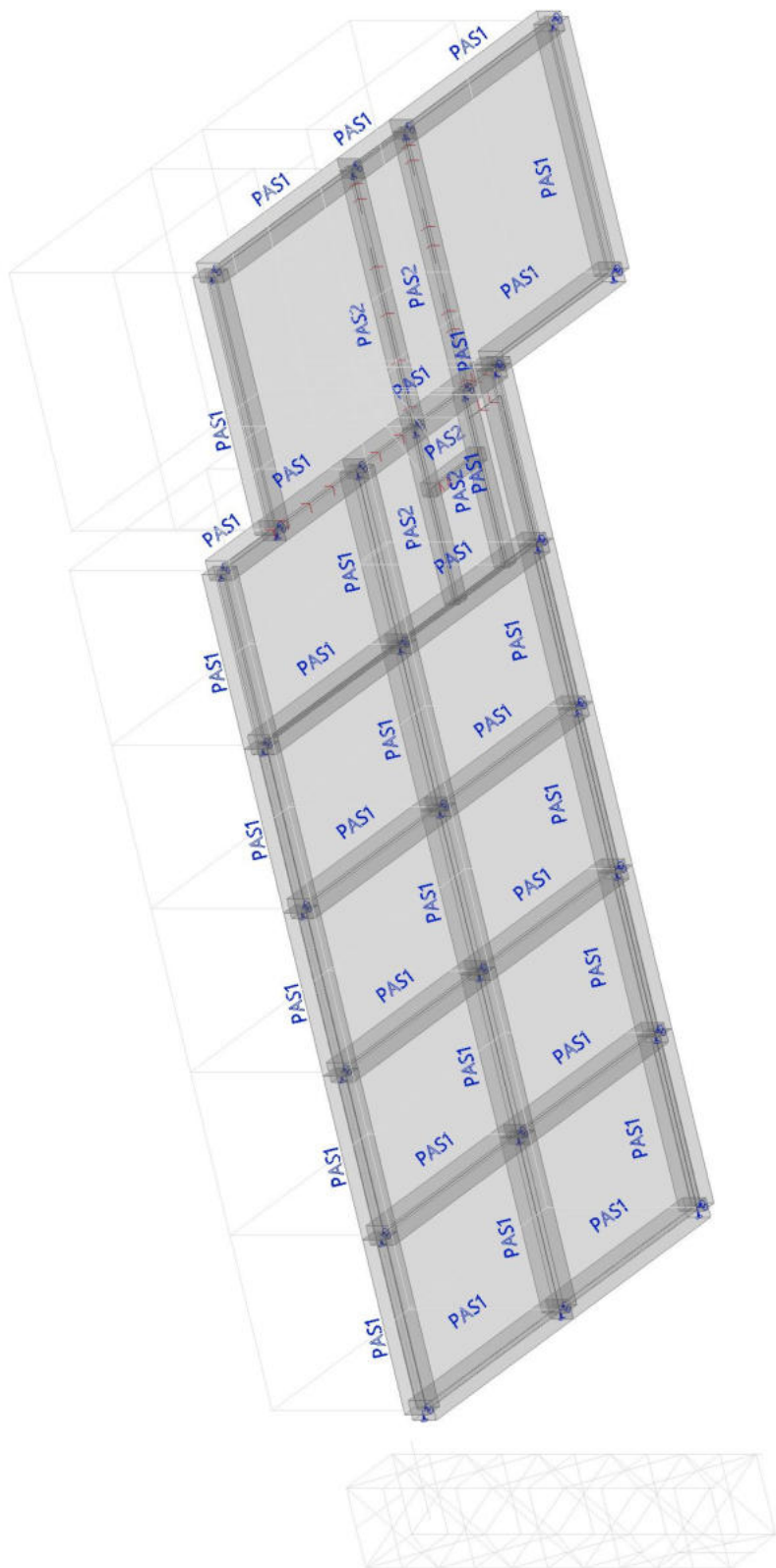
$I_y [m^4], I_z [m^4], I_t [m^4], I_w [m^6]$	3,6100e-07	9,4300e-08	8,6400e-09	1,0721e-41
PAZDIK1				
Výroba, Materiál, Typ, Detailní Obrázek	válcovaný	S 235	UPE100	
				
Posudek rovinného vzpěru y-y, Posudek rovinného vzpěru z-z	c	c		
A [m ²], A _y [m ²], A _z [m ²]	1,2500e-03	7,7560e-04	4,6333e-04	
$I_y [m^4], I_z [m^4], I_t [m^4], I_w [m^6]$	2,0700e-06	3,8200e-07	2,0100e-08	5,6812e-10
Vymena				
Výroba, Materiál, Typ, Detailní Obrázek	válcovaný	S 235	UPE160	
				
Posudek rovinného vzpěru y-y, Posudek rovinného vzpěru z-z	c	c		
A [m ²], A _y [m ²], A _z [m ²]	2,1700e-03	1,2522e-03	8,9769e-04	
$I_y [m^4], I_z [m^4], I_t [m^4], I_w [m^6]$	9,1100e-06	1,0700e-06	5,2000e-08	4,1796e-09

5. Popis konstrukcí

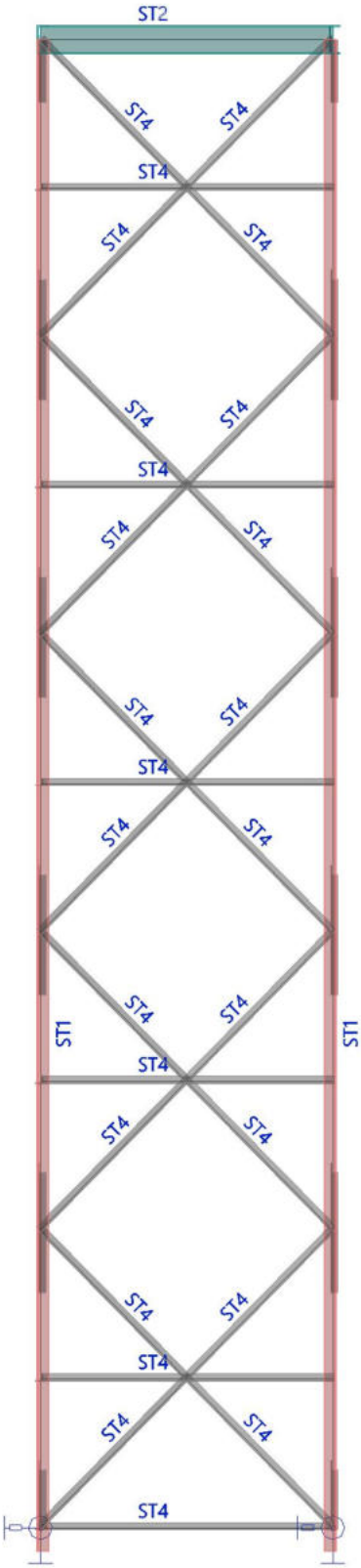
5.3. Výpočtový model - 1NP - garáže



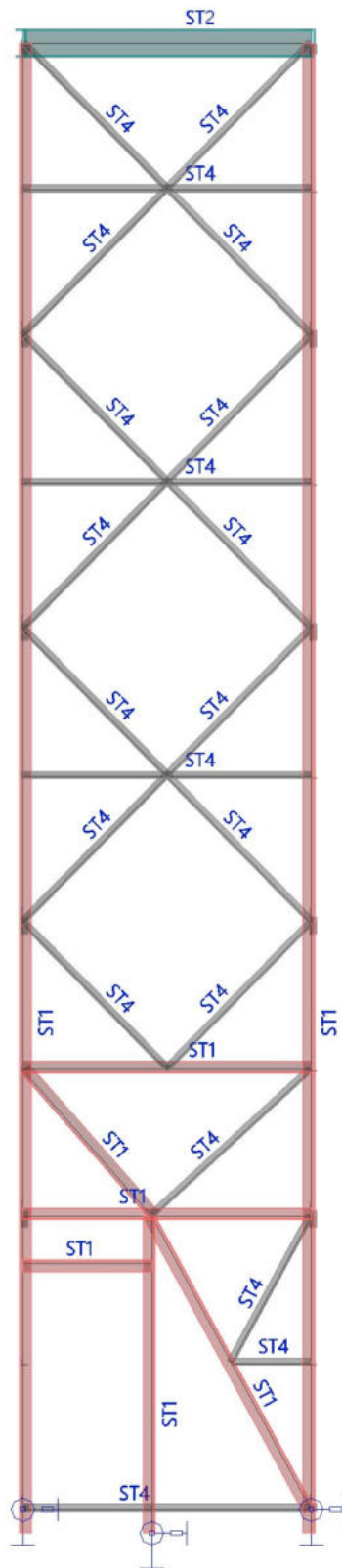
5.4. Výpočtový model - základy



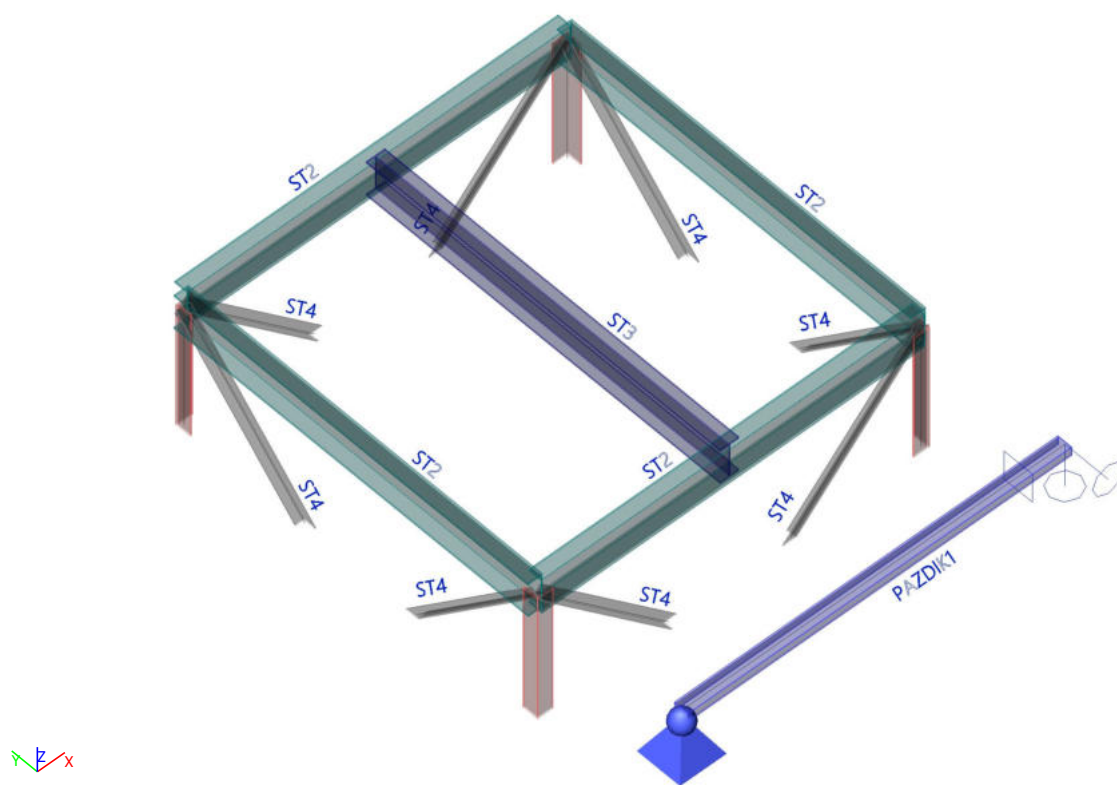
5.5. Výpočtový model - stožár - typická stěna



5.6. Výpočtový model - strožár - stěna s dveřmi



5.7. Výpočtový model - stožár - vrchní rám + typický paždík (paždíky kladený po 1 m)



6. Zatížení

6.1. Zatěžovací stavy

Jméno	Popis Spec	Typ působení Typ zatížení	Skupina zatížení	Směr	Působení	Řídící zat. stav
ZS1	Vlastní tíha	Stálé Vlastní tíha	G	-Z		
ZS2	Stálé 1	Stálé Standard	G			
ZS3	Užitné C Standard	Proměnné Statické	C		Krátkodobé	Žádný
ZS4	Užitné G Standard	Proměnné Statické	Q-G		Krátkodobé	Žádný
ZS5	Užitné H Standard	Proměnné Statické	H		Krátkodobé	Žádný
ZS6	Sníh 1 Sníh	Proměnné Statické	S			Žádný
ZS7	Sníh 2 Sníh	Proměnné Statické	S			Žádný
ZS8	Vítr +X Statický vítr	Proměnné Statické	W			Žádný
ZS9	Vítr -X Statický vítr	Proměnné Statické	W			Žádný
ZS10	Vítr +Y Statický vítr	Proměnné Statické	W			Žádný
ZS11	Vítr -Y Statický vítr	Proměnné Statické	W			Žádný

6.2. Skupiny zatížení

Jméno	Zatížení	Vztah	Typ
G	Stálé		
C	Proměnné	Standard	Kat C : shromáždění
S	Proměnné	Standard	Sníh
W	Proměnné	Výběrová	Vítr
H	Proměnné	Standard	Kat H : střechy
Q-G	Proměnné	Standard	Kat G : vozidlo >30kN

6.3. Kombinace

Jméno	Popis	Typ	Zatěžovací stavy	Souč. [-]
MSÚ-Sada B (auto)		EN-MSÚ (STR/GEO) Soubor B	ZS1 - Vlastní tíha	1,00
			ZS2 - Stálé 1	1,00
			ZS5 - Užitné H	1,00
			ZS6 - Sníh 1	1,00
			ZS7 - Sníh 2	1,00
			ZS8 - Vítr +X	1,00
			ZS9 - Vítr -X	1,00
			ZS10 - Vítr +Y	1,00
			ZS11 - Vítr -Y	1,00
			ZS3 - Užitné C	1,00
			ZS4 - Užitné G	1,00
MSP-Char (auto)		EN-MSP charakteristická	ZS1 - Vlastní tíha	1,00
			ZS2 - Stálé 1	1,00
			ZS5 - Užitné H	1,00
			ZS6 - Sníh 1	1,00
			ZS7 - Sníh 2	1,00
			ZS8 - Vítr +X	1,00
			ZS9 - Vítr -X	1,00
			ZS10 - Vítr +Y	1,00
			ZS11 - Vítr -Y	1,00
			ZS3 - Užitné C	1,00
			ZS4 - Užitné G	1,00
MSP-Kvazi (auto)		EN-MSP kvazistálá	ZS1 - Vlastní tíha	1,00
			ZS2 - Stálé 1	1,00
			ZS5 - Užitné H	1,00
			ZS6 - Sníh 1	1,00
			ZS7 - Sníh 2	1,00
			ZS8 - Vítr +X	1,00
			ZS9 - Vítr -X	1,00
			ZS10 - Vítr +Y	1,00
			ZS11 - Vítr -Y	1,00
			ZS3 - Užitné C	1,00
			ZS4 - Užitné G	1,00

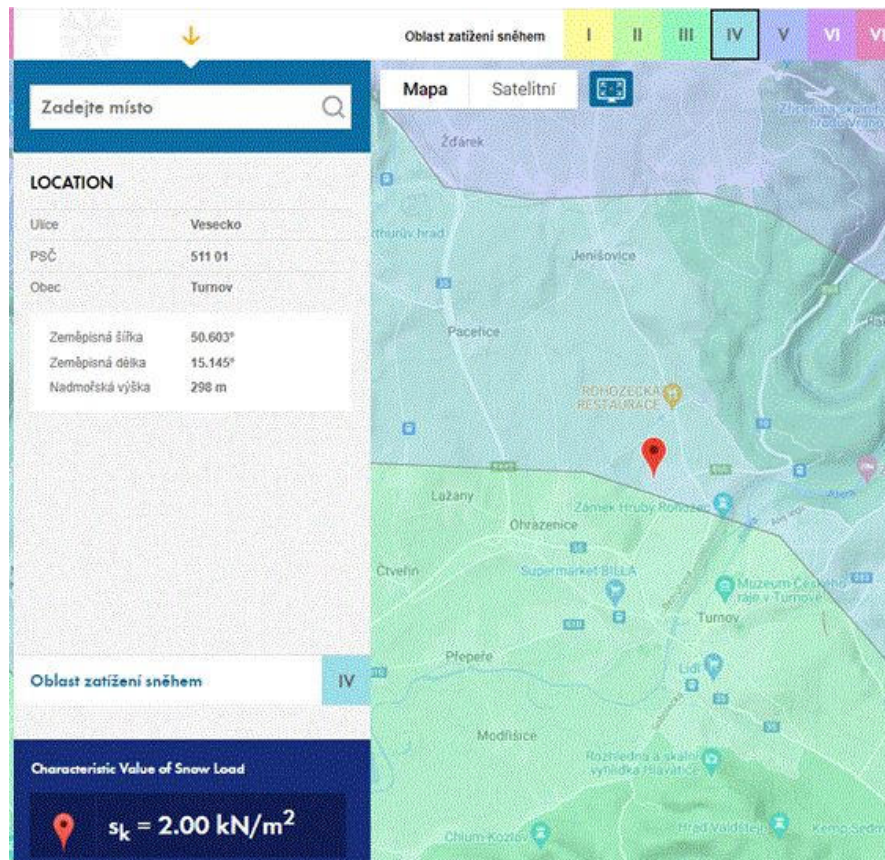
6.4. Rozbor zatížení

<u>Skladba střechy S.1</u>	nad garážemi + 20kg/m ² FVE	F [kN/m ²]
<u>Celkem stálé</u>		<u>0,950</u>
<u>Sníh</u>	. = 2,0 . 0,8	<u>1,600</u>
<u>Užitné na střeše</u>		<u>0,750</u>
<u>Skladba střechy S.2</u>	nad kanceláří	F [kN/m ²]
<u>Celkem stálé bez tíhy Spirollu</u>		<u>6,250</u>
<u>Sníh</u>	. = 2,0 . 0,8	<u>1,600</u>
<u>Užitné na střeše</u>		<u>1,000</u>
<u>Skladba podlahy P.4</u>	podlaha kanceláří	F [kN/m ²]
<u>Celkem stálé bez tíhy Spirollu</u>		<u>1,850</u>
<u>Užitné na stropě (kat C2)</u>		<u>4,000</u>
<u>Skladba podlahy P.6</u>	podlaha na podestě	F [kN/m ²]
<u>Celkem stálé</u>		<u>1,813</u>
<u>Užitné na a schodišti stropě (kat C2)</u>		<u>4,000</u>
<u>Skladba podlahy P.2</u>	podlaha 1NP administrativí části	F [kN/m ²]
<u>Celkem stálé</u>		<u>3,501</u>
<u>Užitné na a schodišti stropě (kat C2)</u>		<u>4,000</u>
<u>Skladba podlahy P.1</u>	podlaha garáže	F [kN/m ²]
<u>Celkem stálé</u>		<u>8,087</u>
<u>Užitné podlaze</u>		<u>7,000</u>
	celková tíha vozidla ≤160 kN (16t) na 2 nápravy	

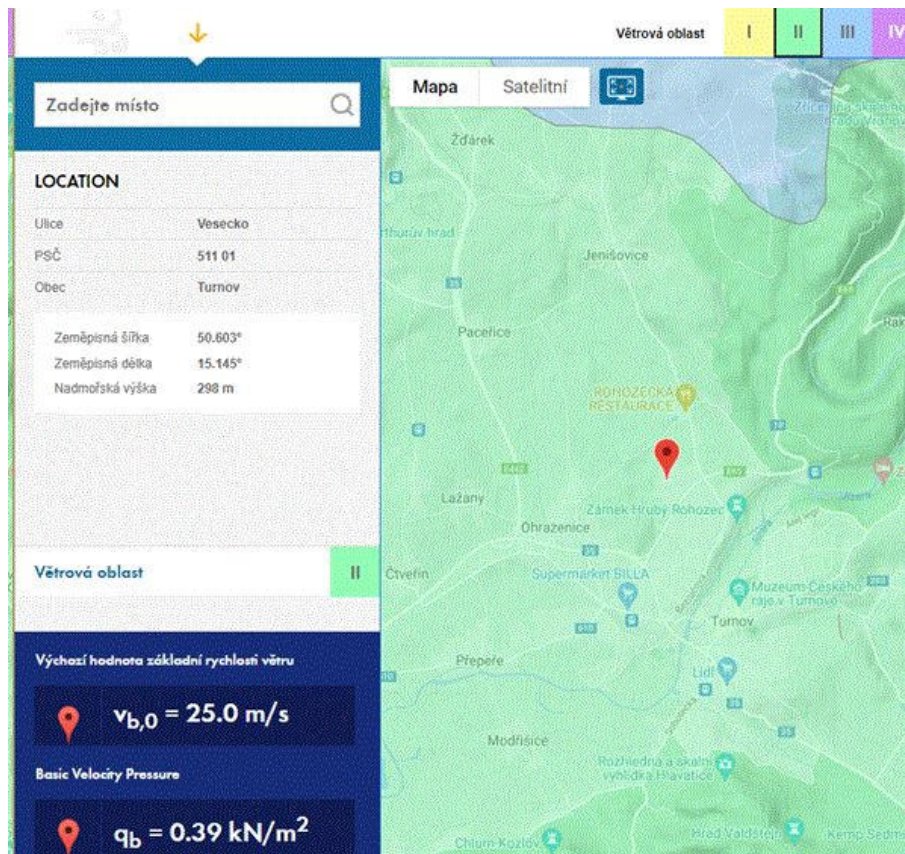
6.5. Klimatická zatížení

Tíhové zrychlení [m/s ²]	9,810
Popis zatížení	<p>Tlak větru podle EC1</p> <p>V bo 25.00 V_{b,0} - základní rychlost větru</p> <p>C dir 1.00 c_{dir} - součinitel směru</p> <p>C sezónní 1.00 c_{season} - součinitel ročního období</p> <p>C or 1.00 c_o - součinitel orografie</p> <p>k l 1.00 k_l - součinitel turbulence</p> <p>C pravd 1.00 c_{prob} - součinitel pravděpodobnosti</p> <p>ro 1.25 ro - hustota vzduchu</p> <p>Pravděpodobnost</p> <p>p 2.00 p</p> <p>K 0.20 K - součinitel tvaru</p> <p>n 0.50 n - exponent</p> <p>Terén - II</p> <p>Kr - součinitel terénu 0.190</p> <p>z₀ - délka nerovnosti 0.050</p> <p>z_{min} - minimální výška 2.00</p> <p>Vnitřní tlak pro 2D vítr - bez vnitřního tlaku</p> <p>hloubka 35.00 b - šířka konstrukce</p> <p>výška z0 0.00 Referenční úroveň terénu</p> <p>Vnější tlak pro 3D vítr - Použit celkové součinitele C_{pe,10}</p> <p>EC popis sněhu</p> <p>Sk 2.00 kN/m² charakteristická hodnota zatížení sněhem</p> <p>Ce 1.00 součinitel expozice</p> <p>Ct 1.00 tepelný součinitel</p> <p>Cesl součinitel výjimečného zatížení sněhem - neuvažuje se</p>

6.6. Zatížení sněhem



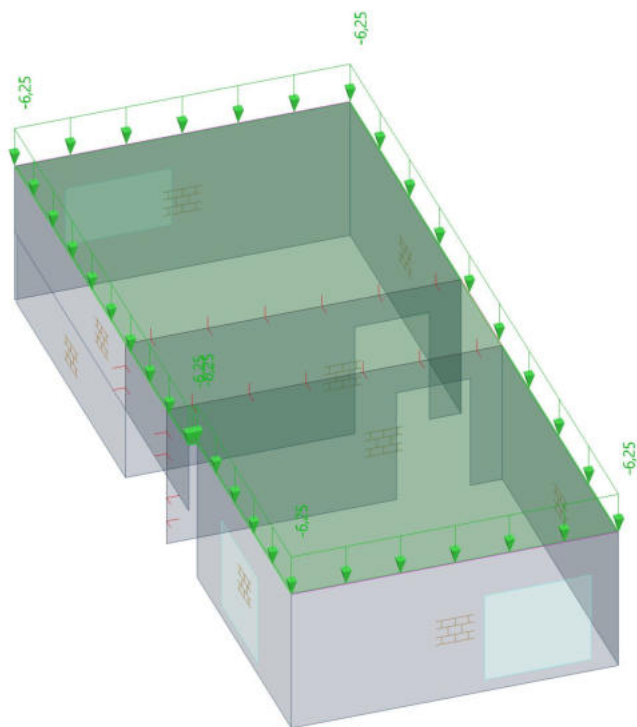
6.7. Zatížení větrem



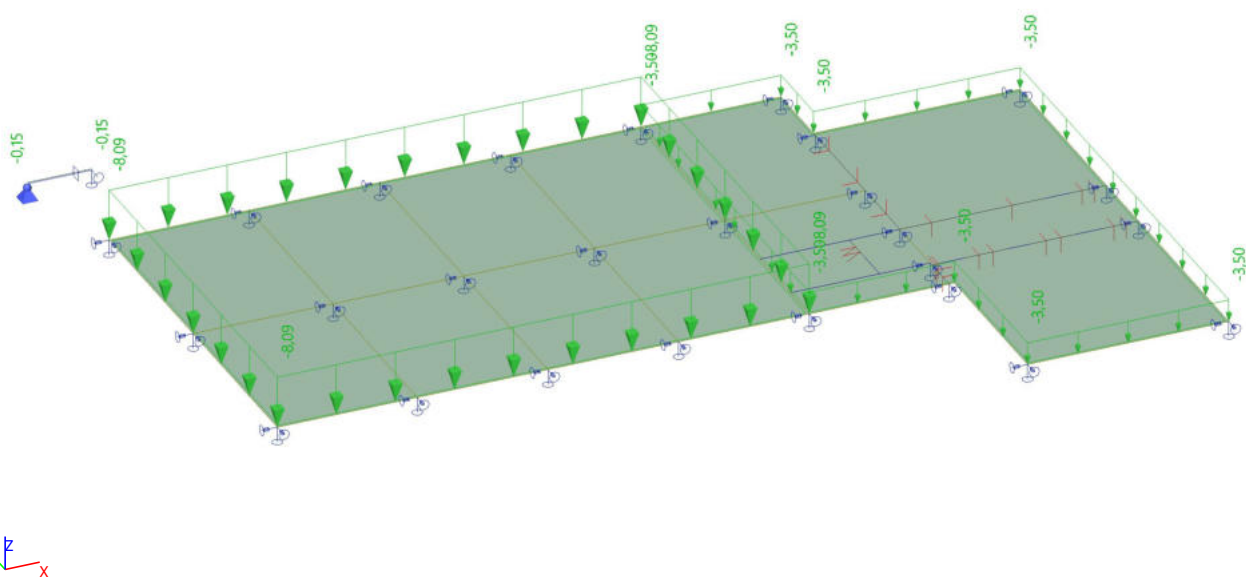
6.8. Schema zatížení

Jméno	Popis
ZS2	Stálé 1

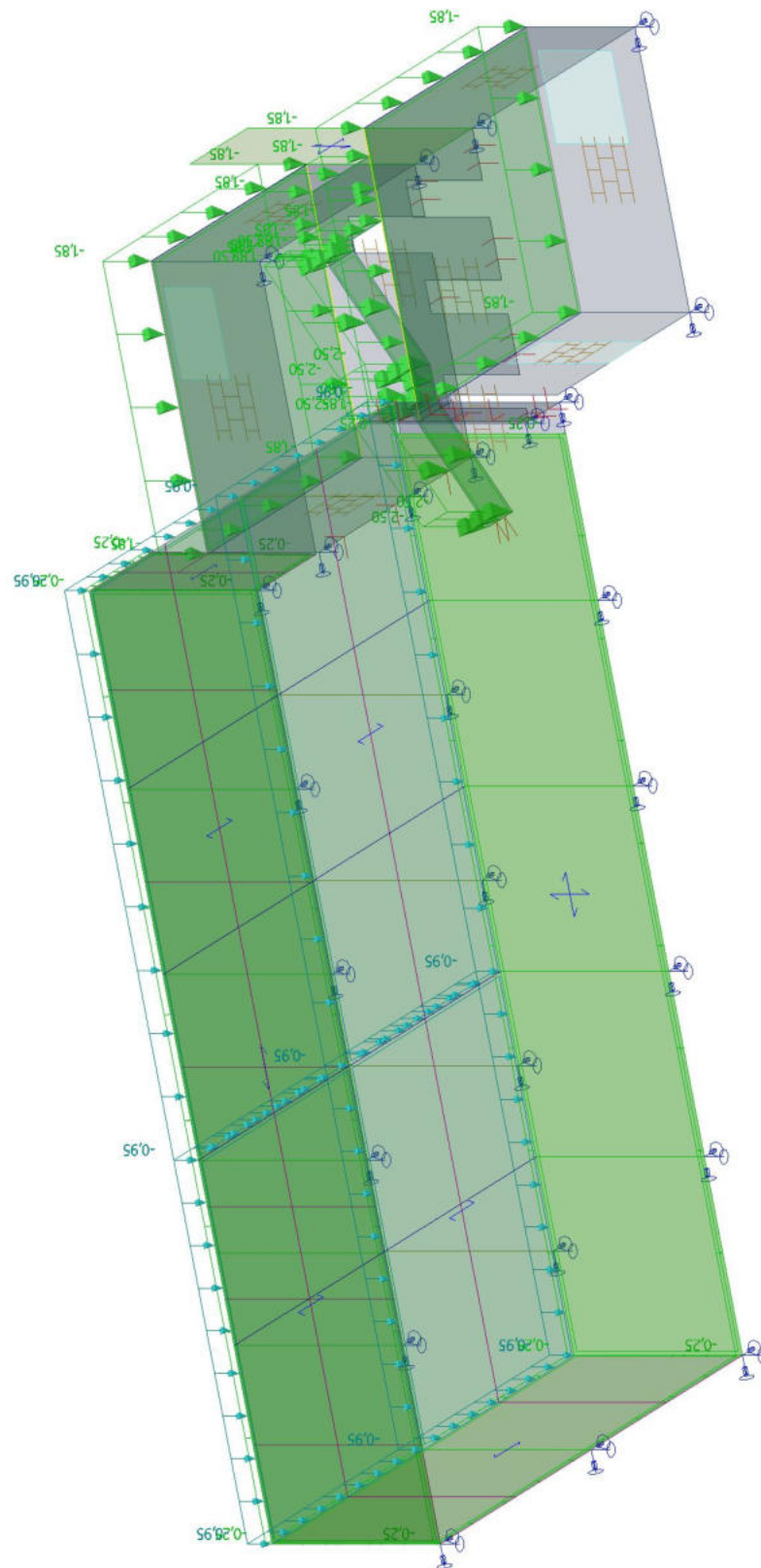
2NP



zklady

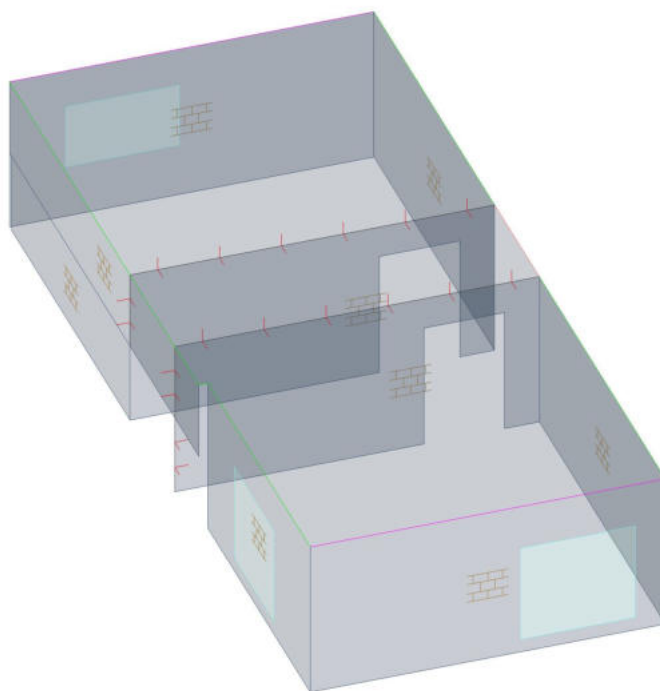


1NP

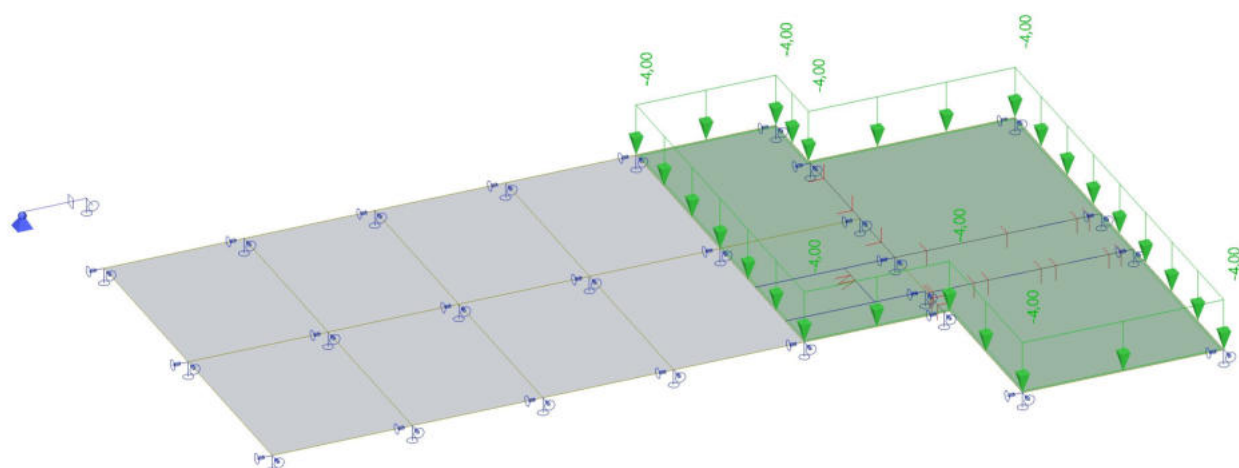


Jméno	Popis
ZS3	Užitné C

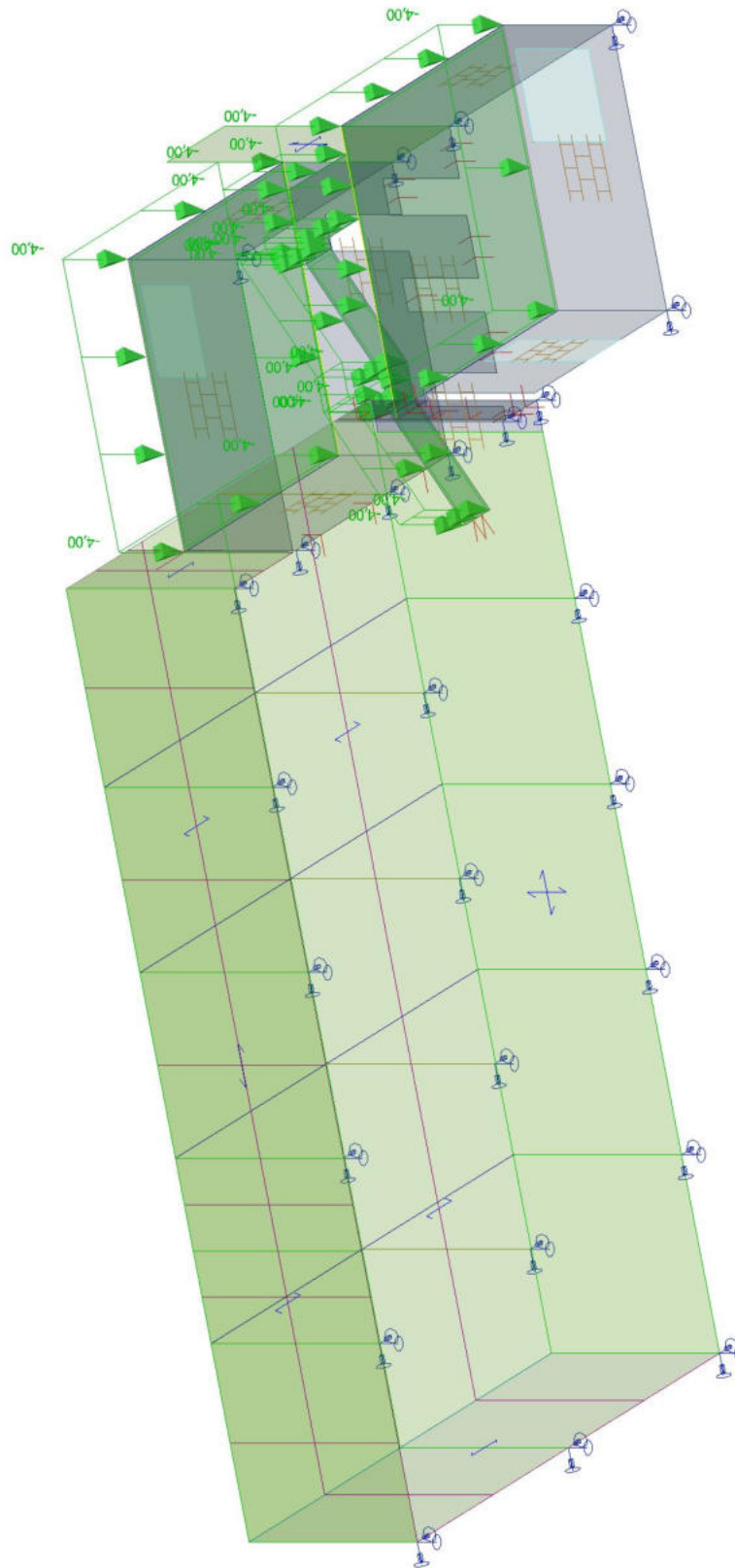
2NP



zklady

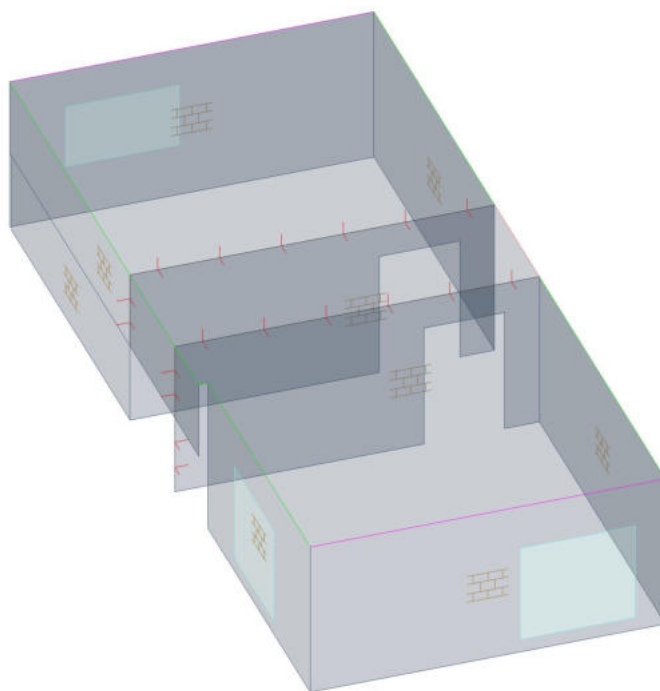


1NP

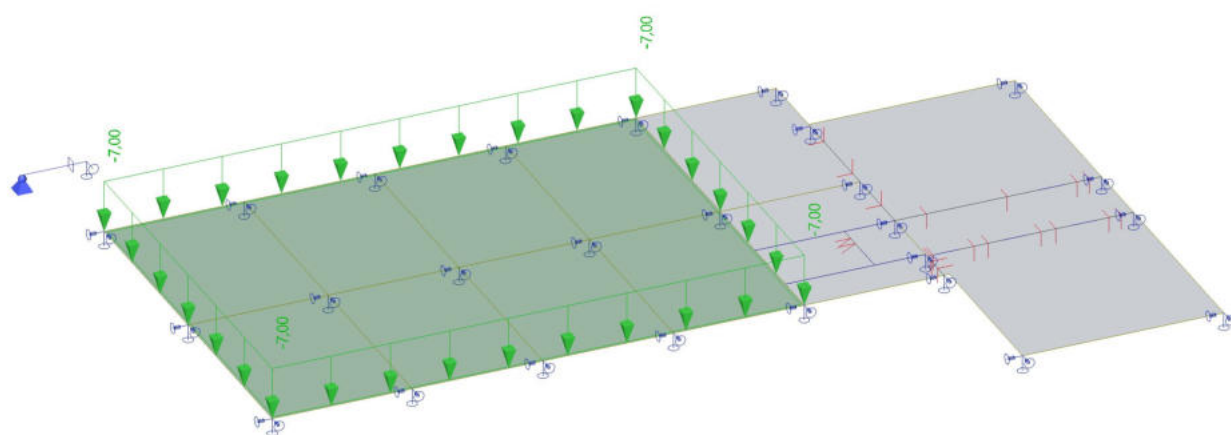


Jméno	Popis
ZS4	Užitné G

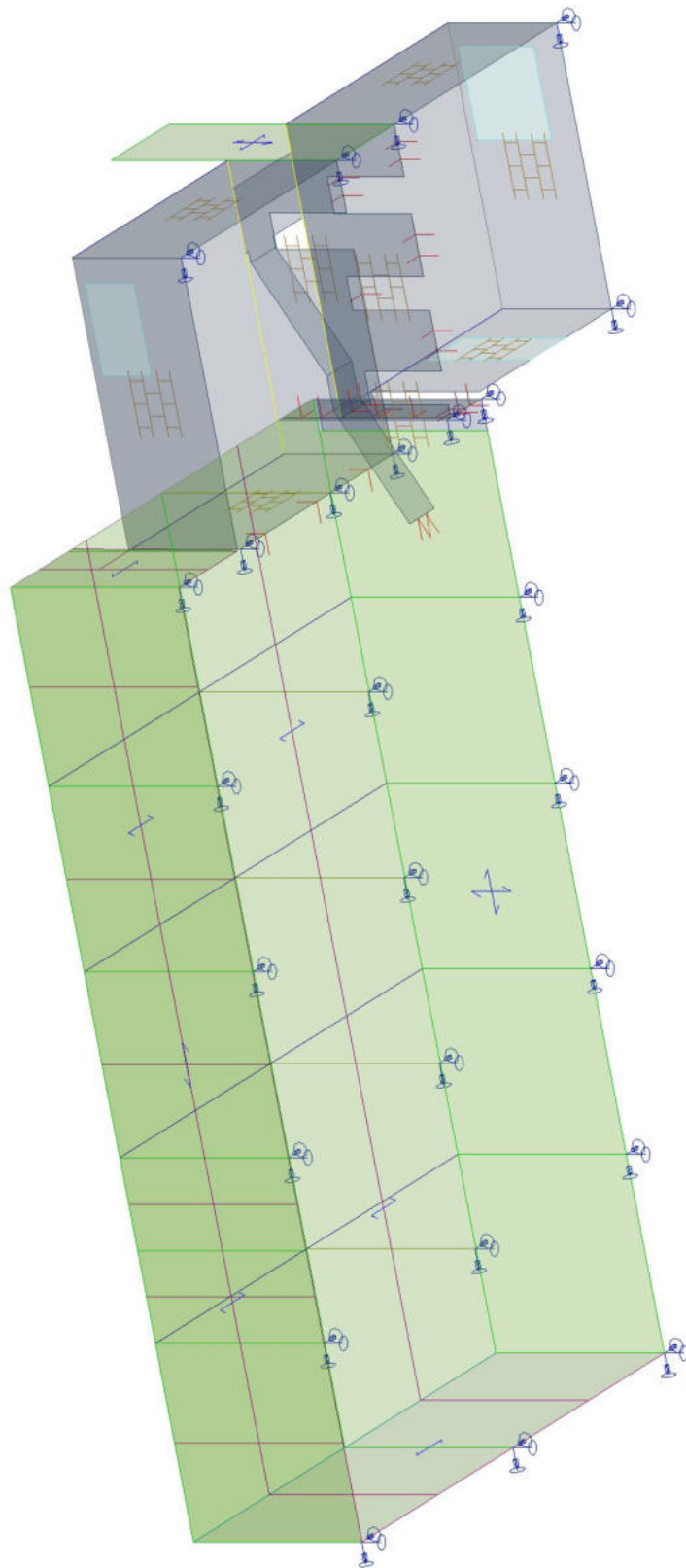
2NP



zaklady

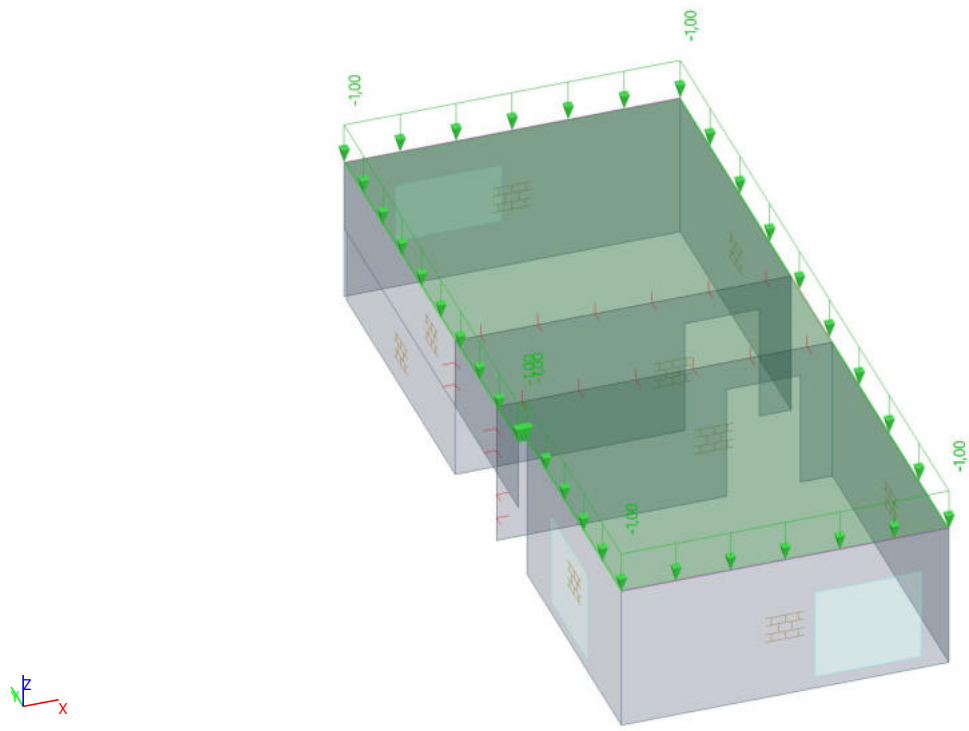


1NP

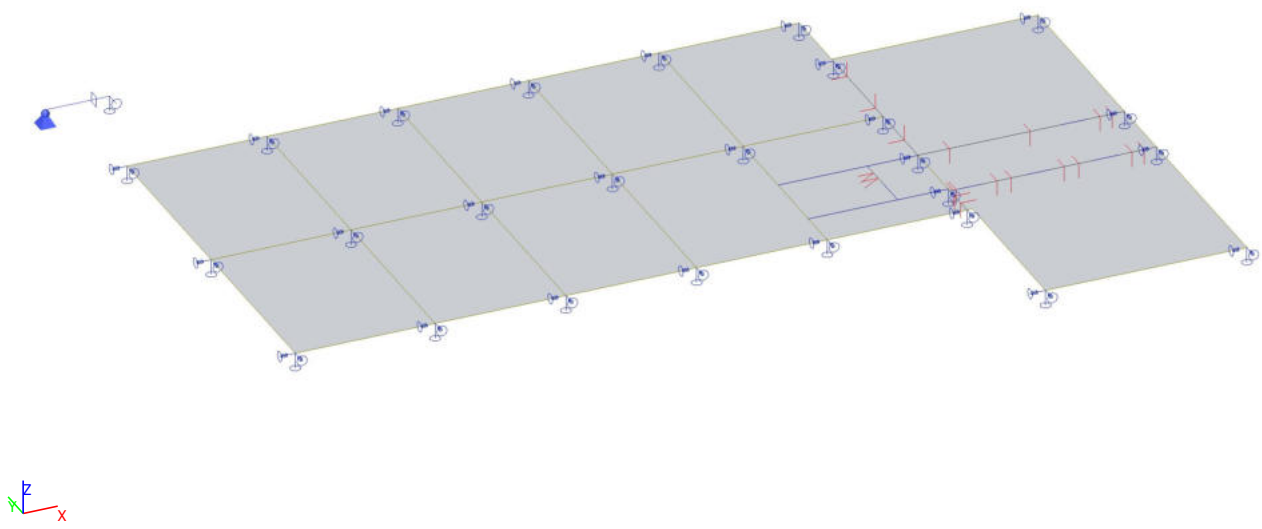


Jméno	Popis
ZS5	Užitné H

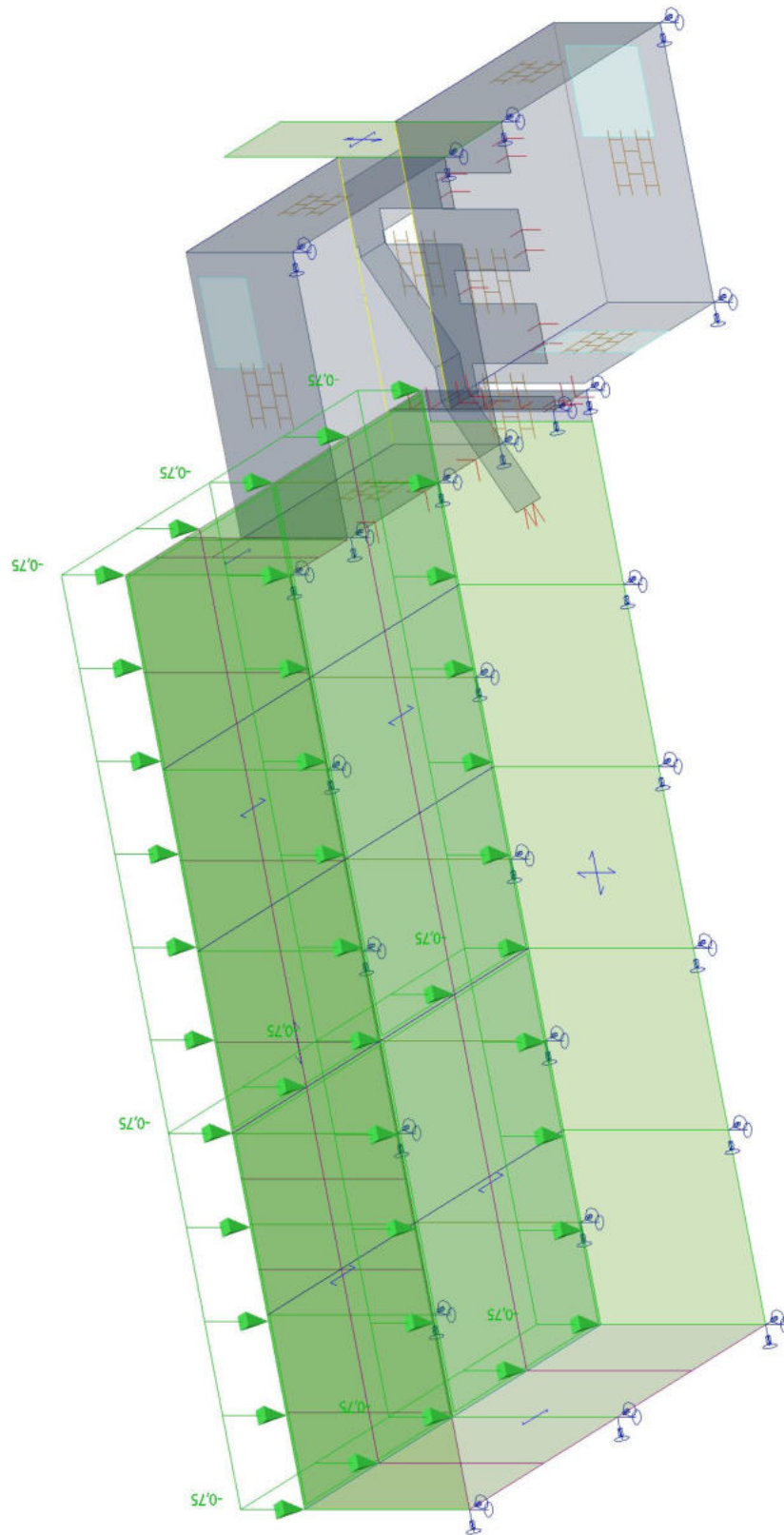
2NP



zaklady

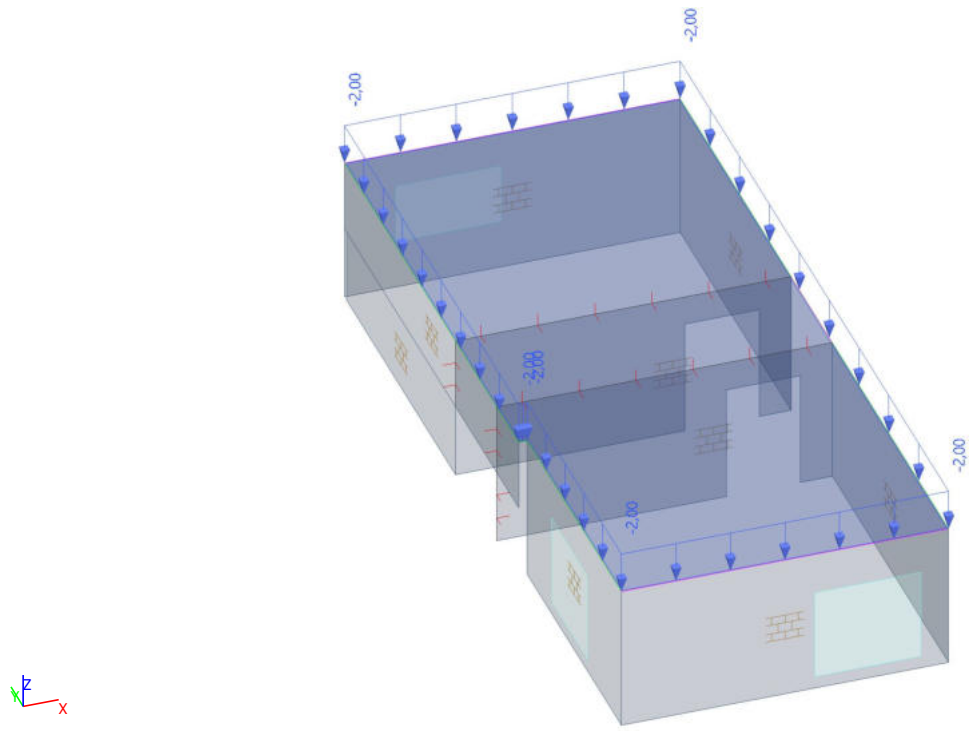


1NP

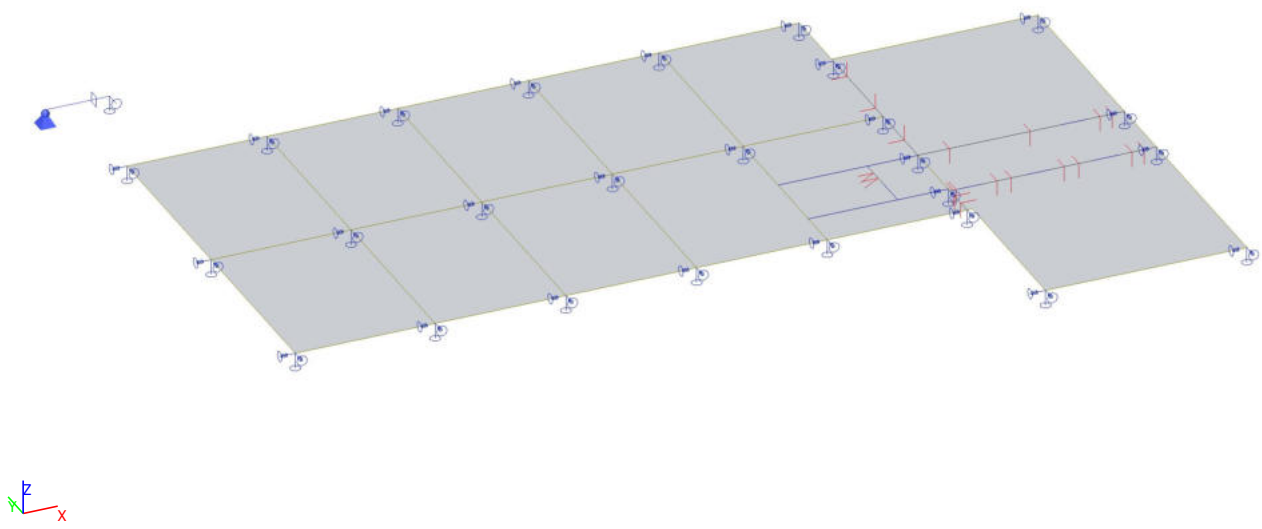


Jméno	Popis
ZS6	Sníh 1

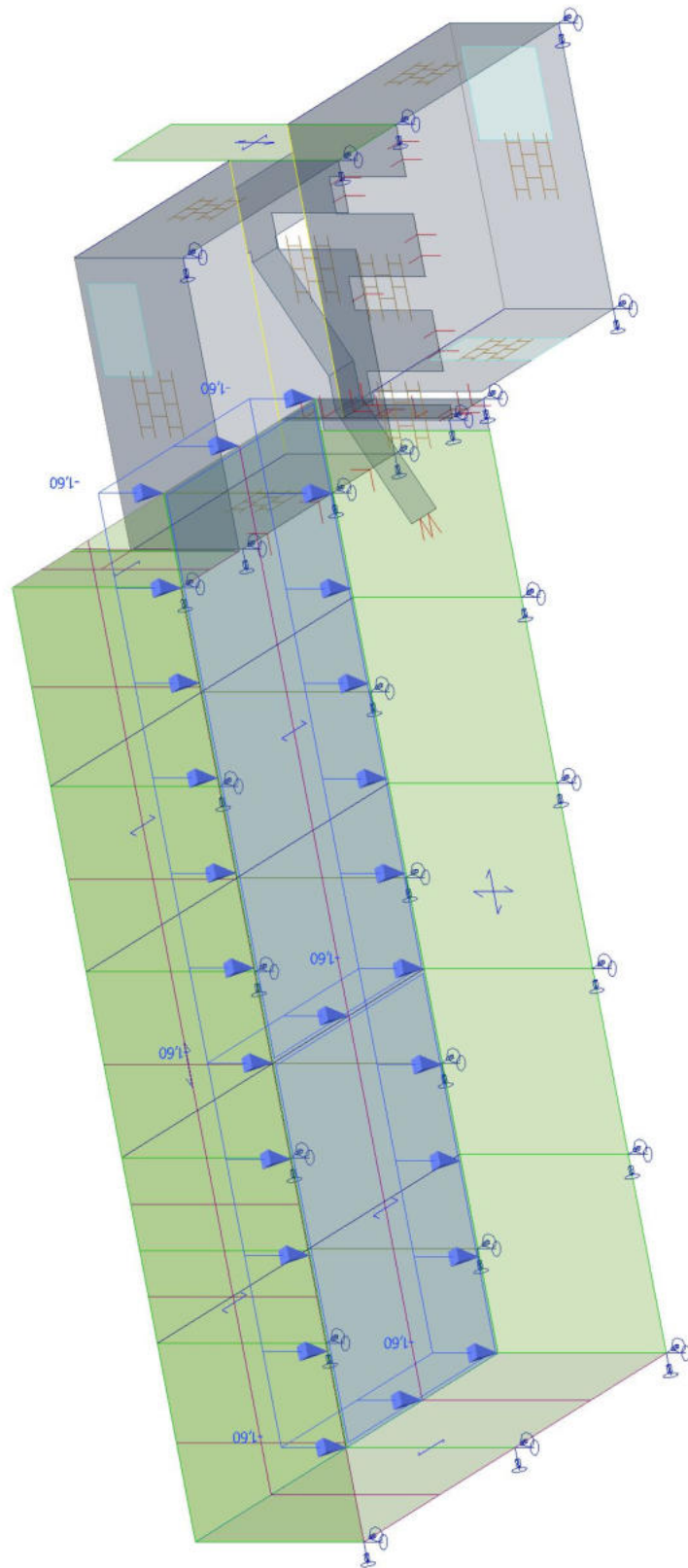
2NP



zaklady

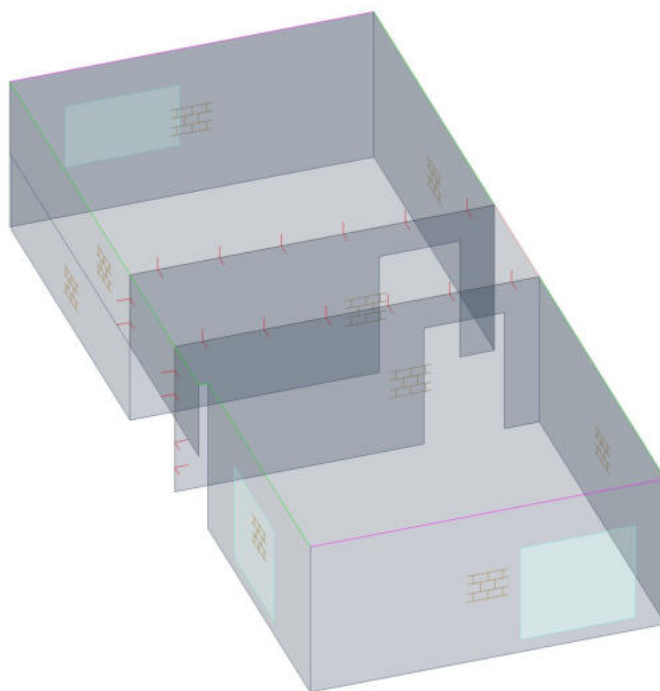


1NP

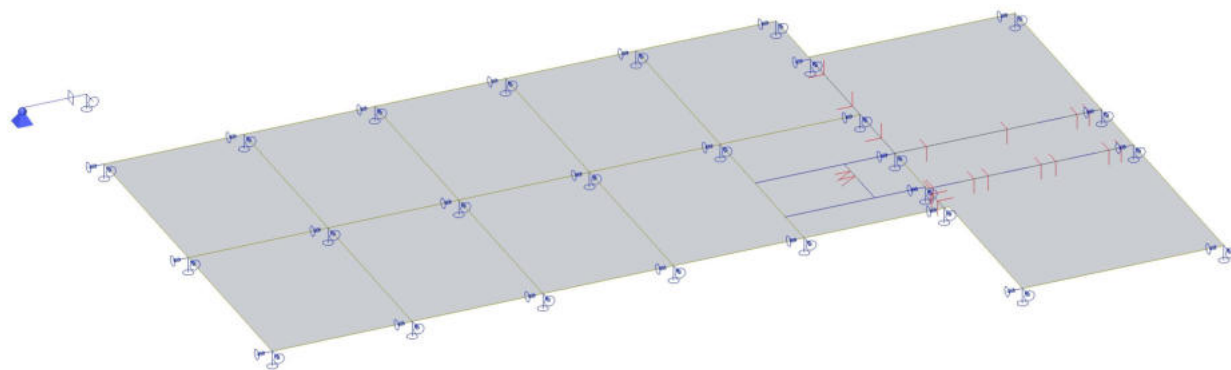


Jméno	Popis
ZS7	Sníh 2

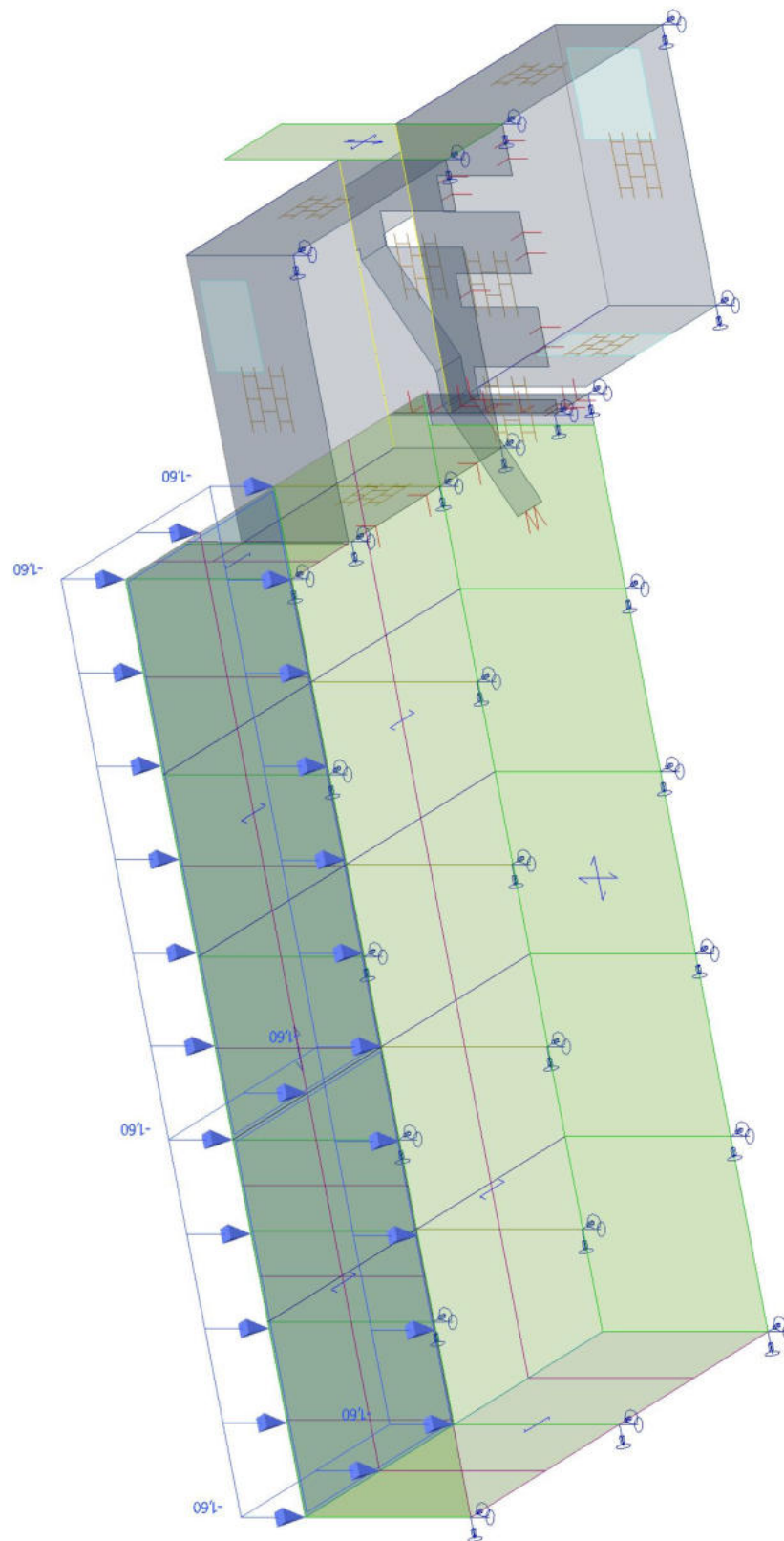
2NP



zaklady

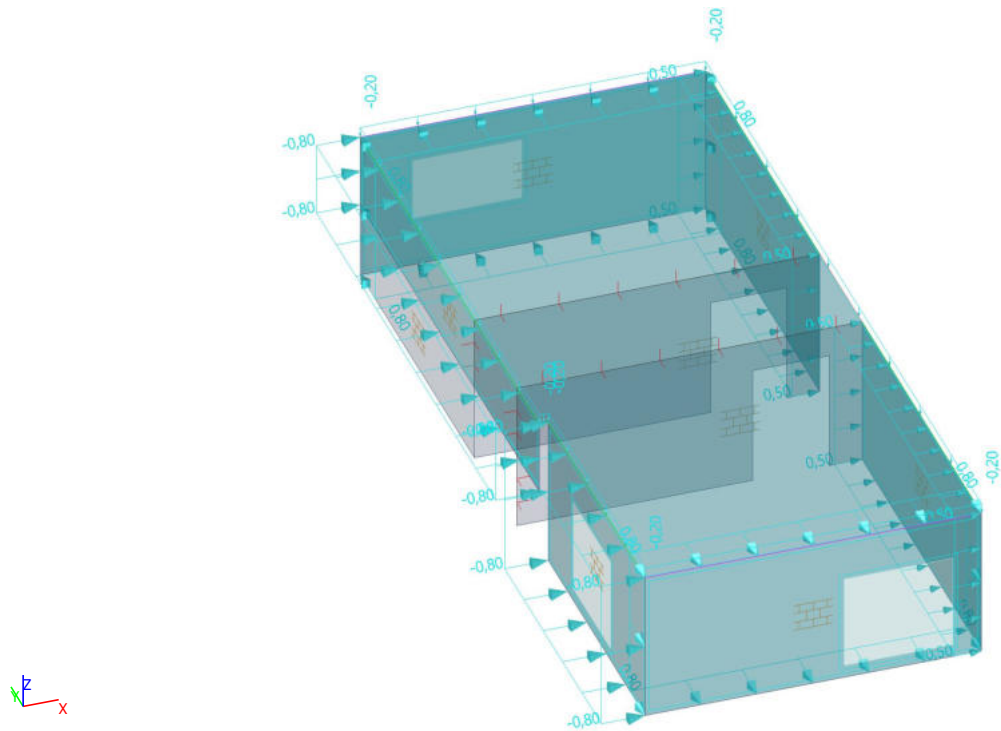


1NP

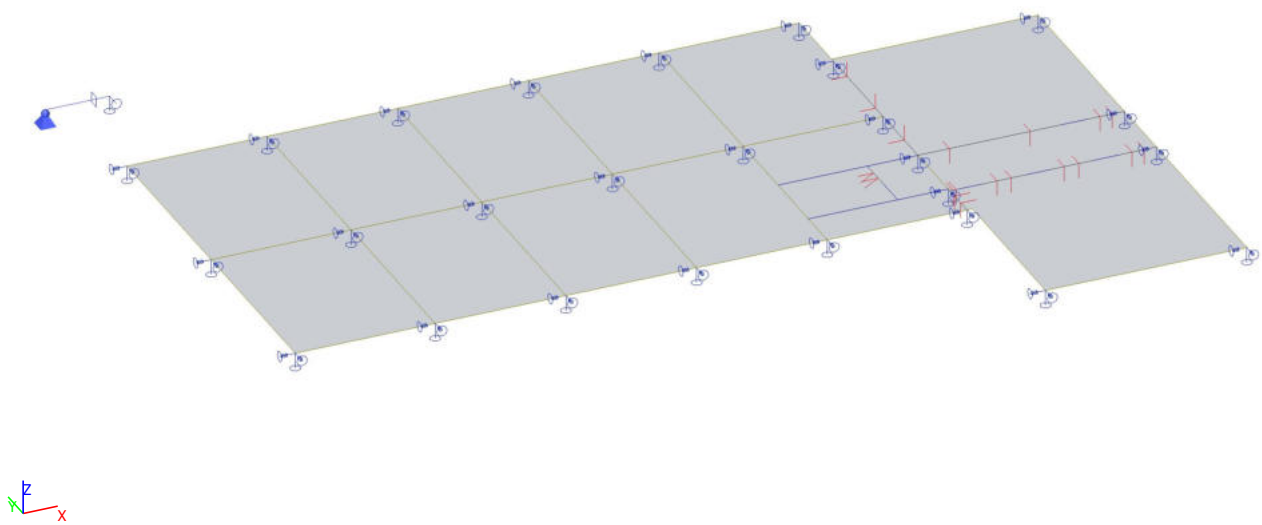


Jméno	Popis
ZS8	Vítr +X

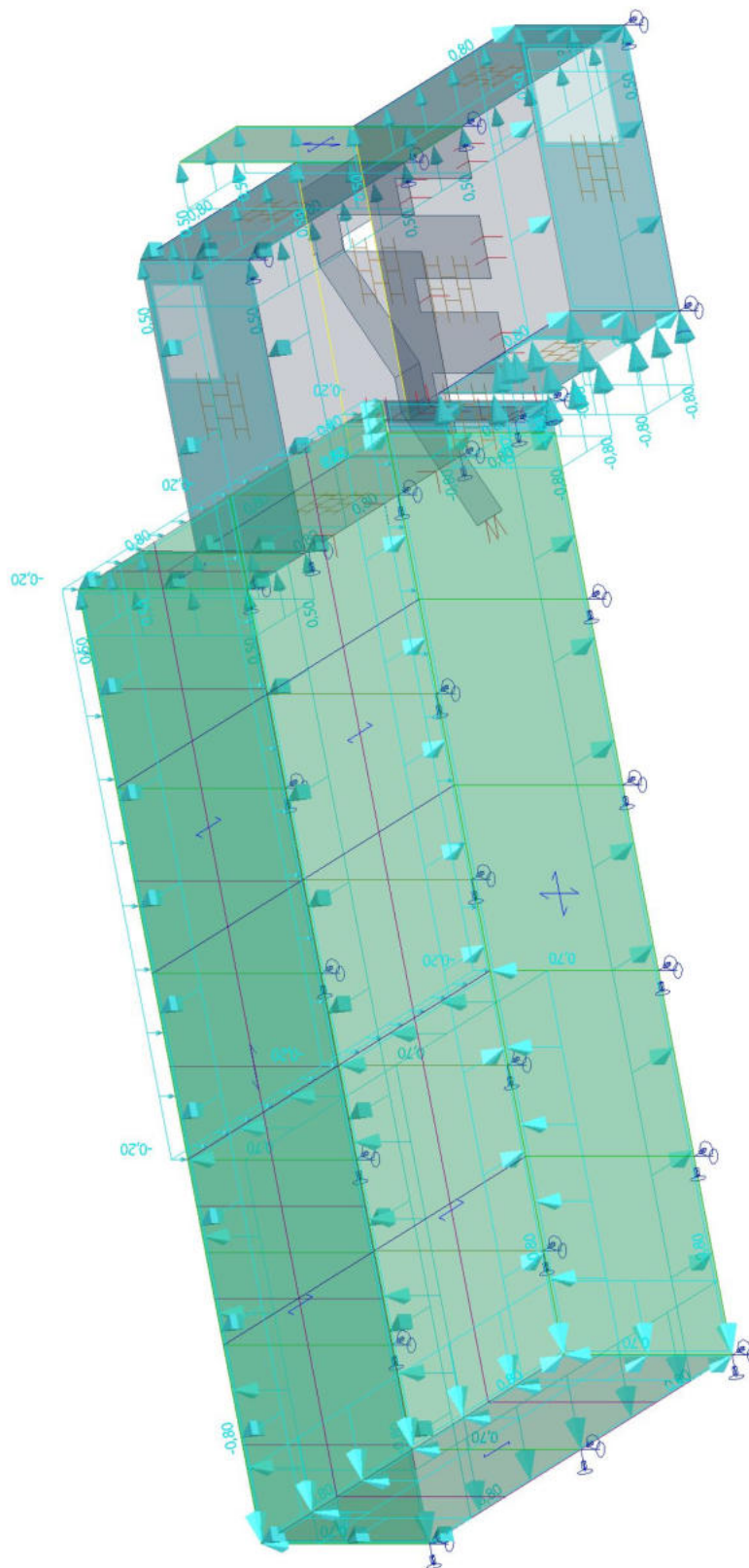
2NP



zaklady

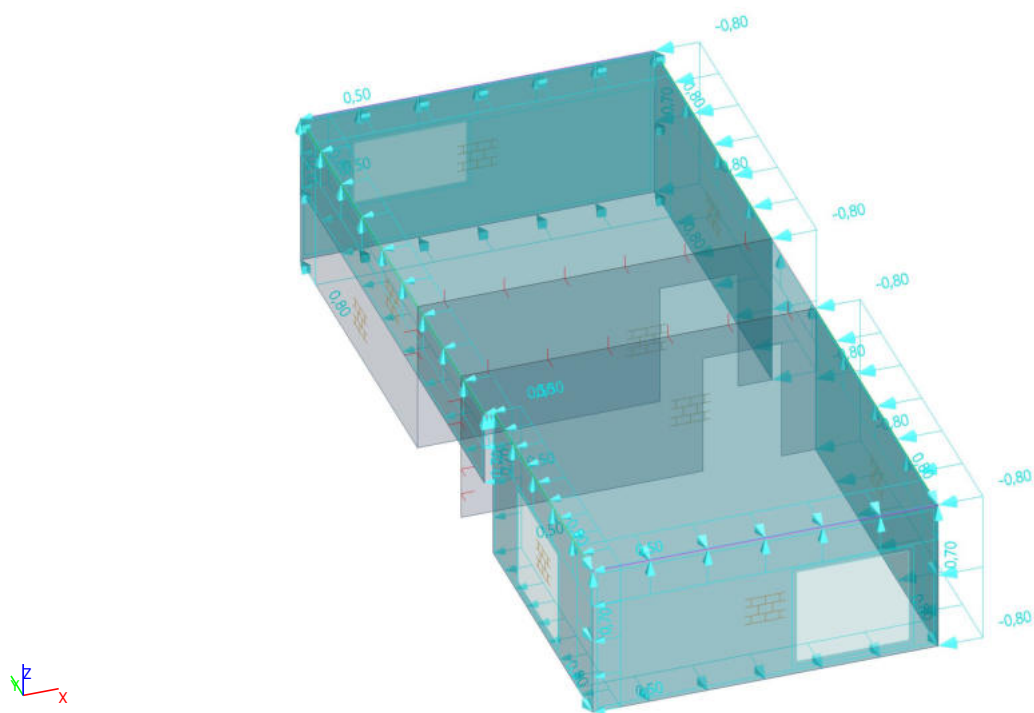


1NP

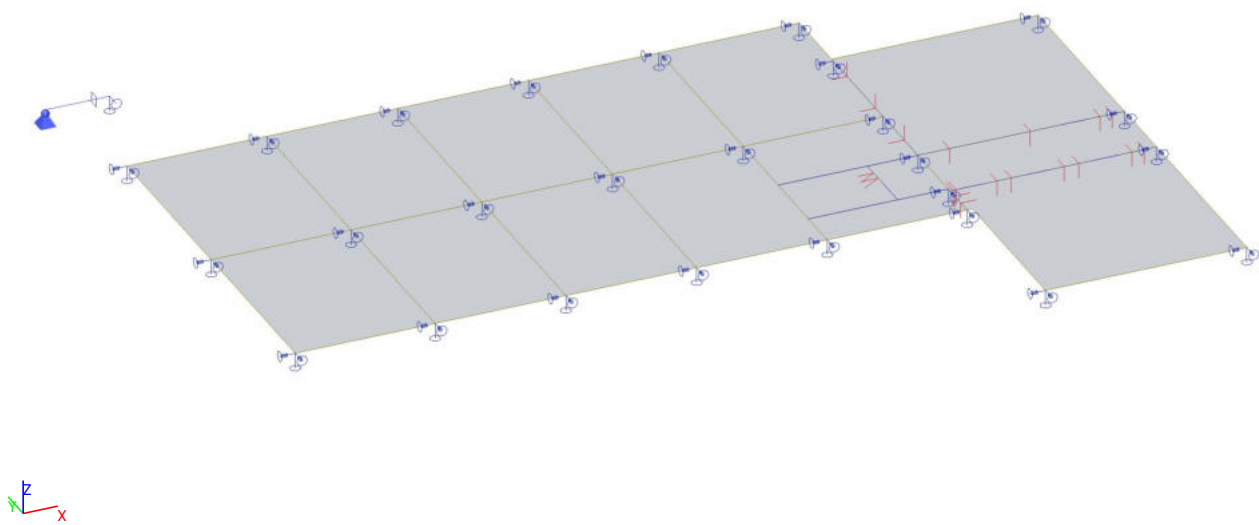


Jméno	Popis
ZS9	Vítr -X

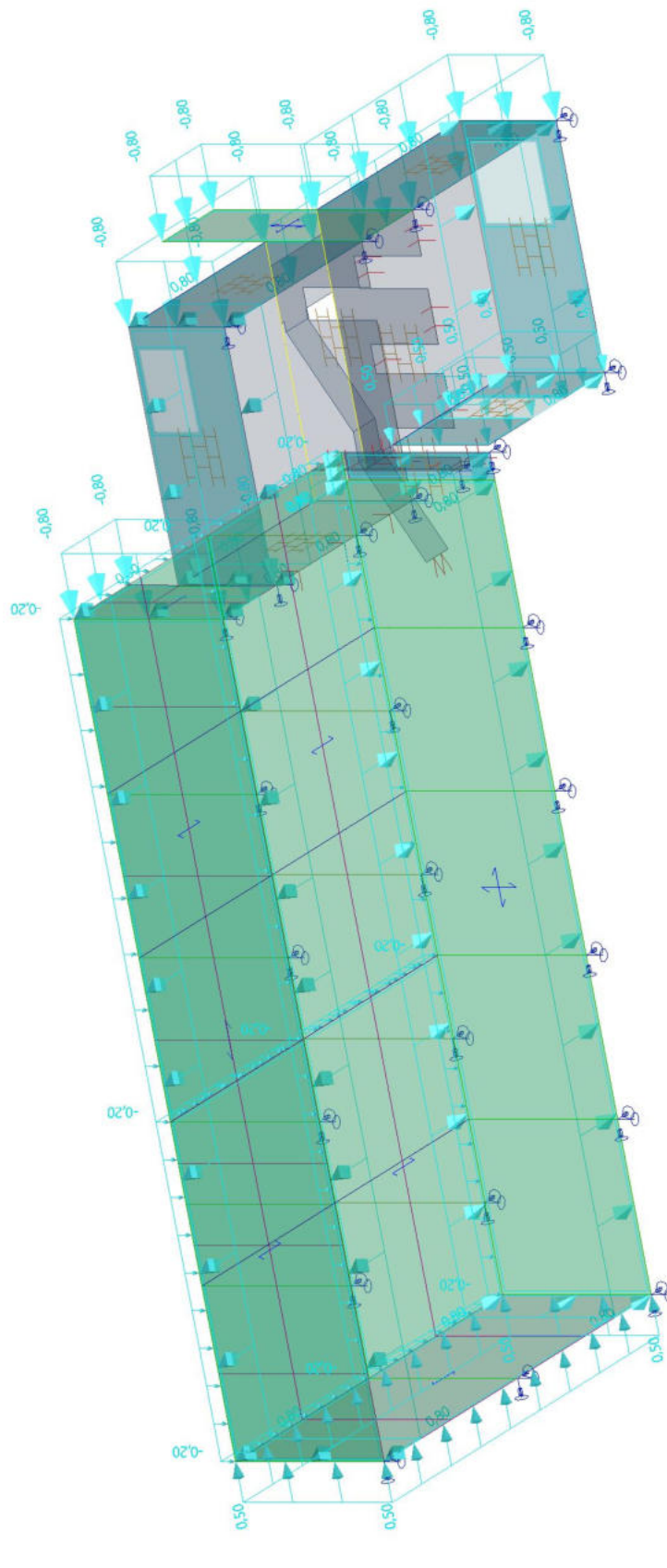
2NP



zaklady

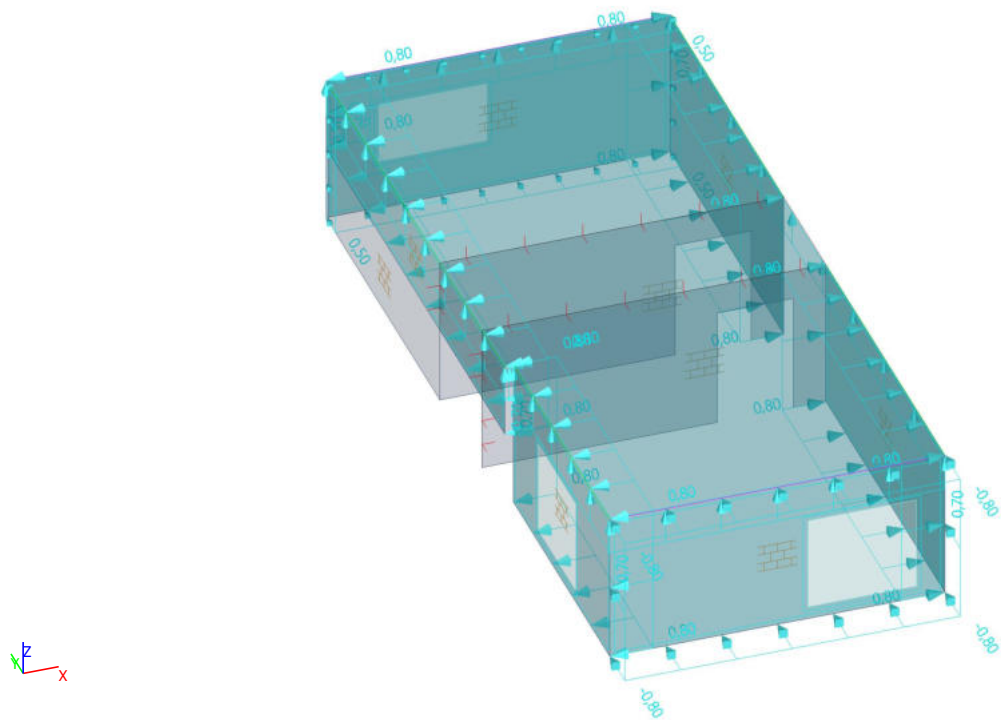


1NP

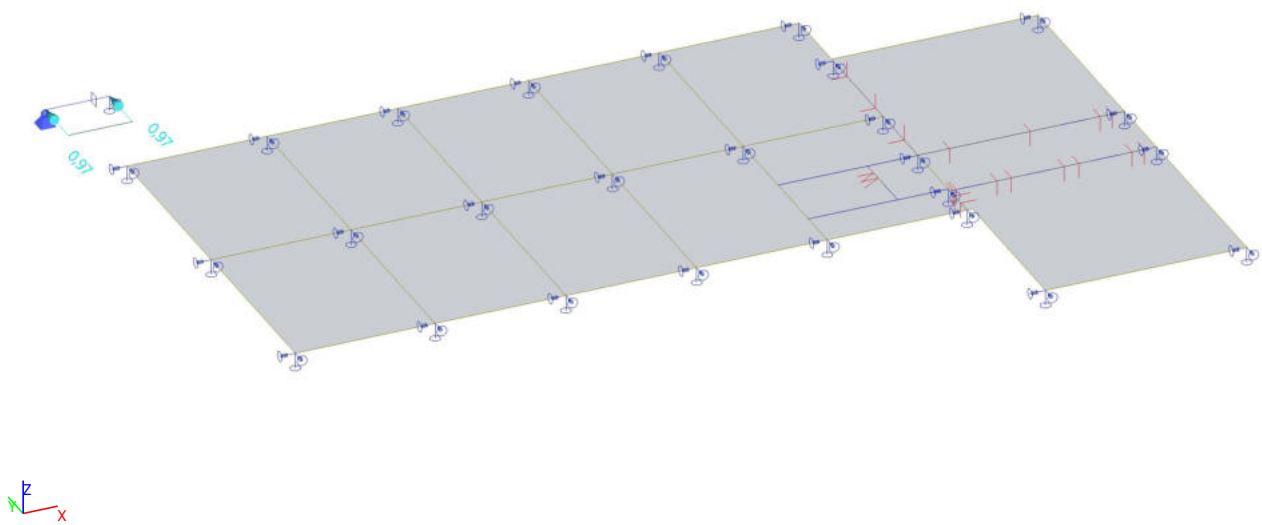


Jméno	Popis
ZS10	Vítr +Y

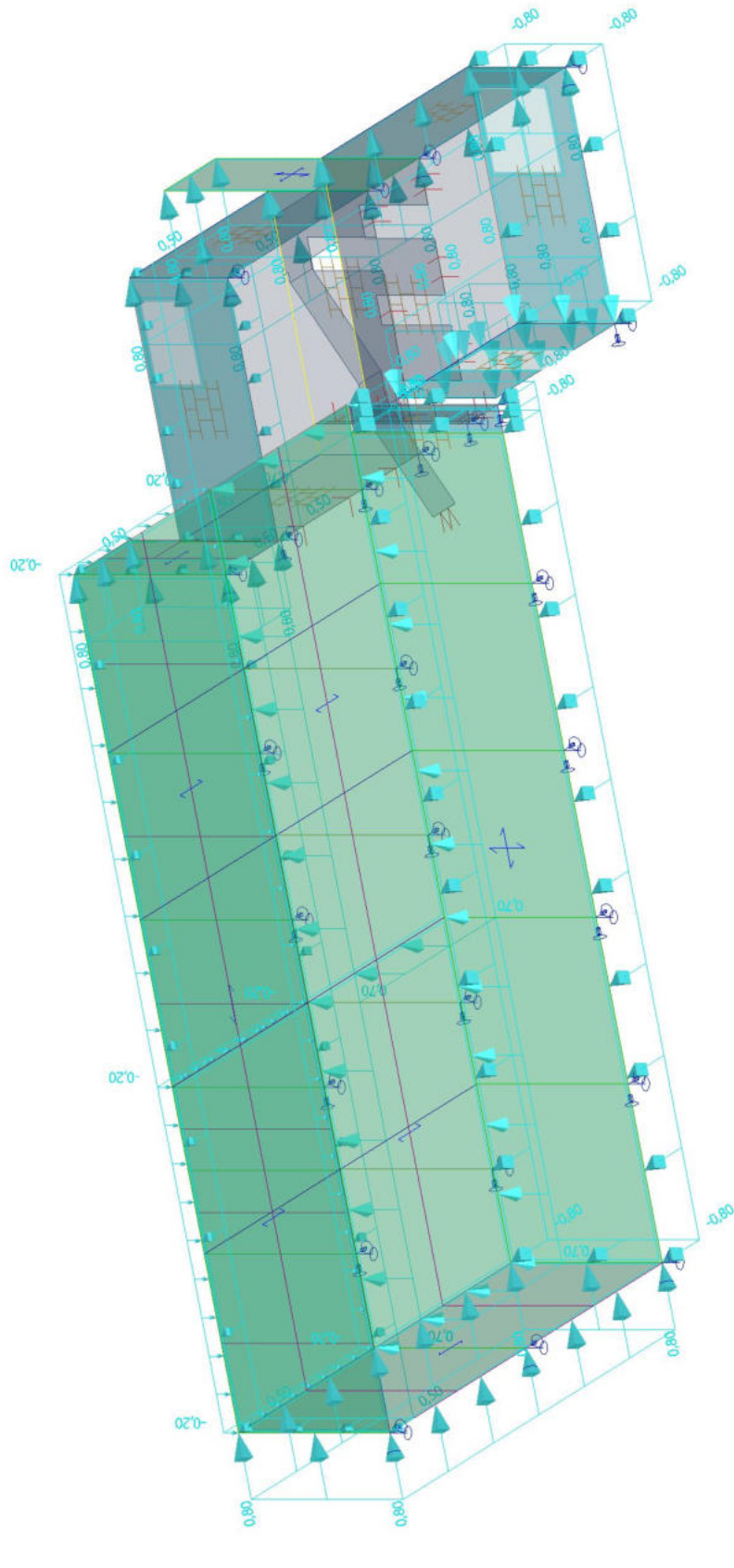
2NP



zaklady

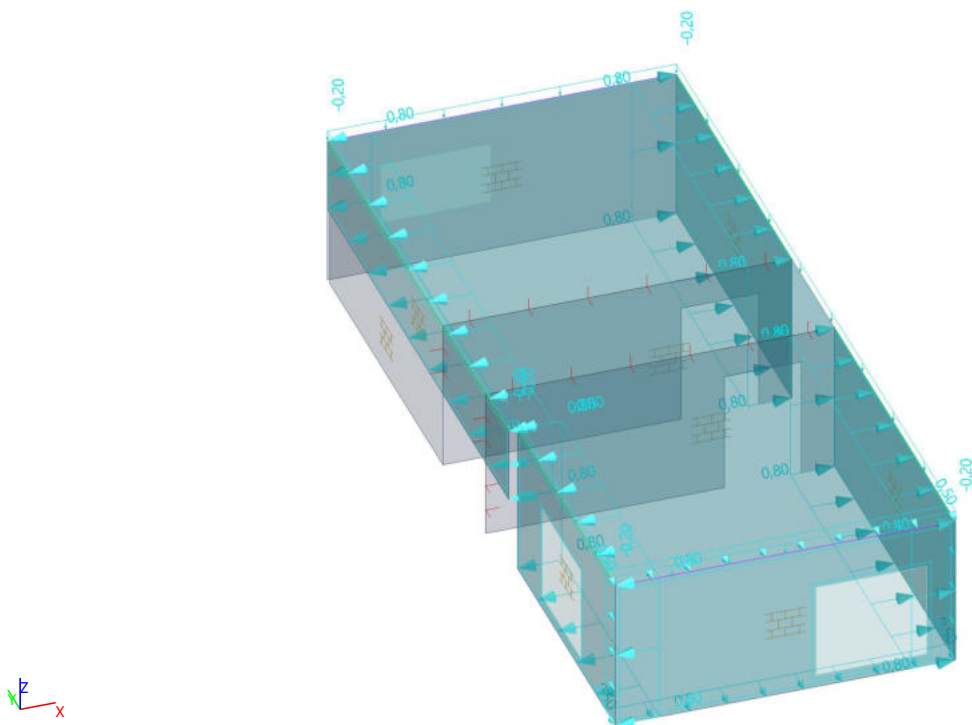


1NP

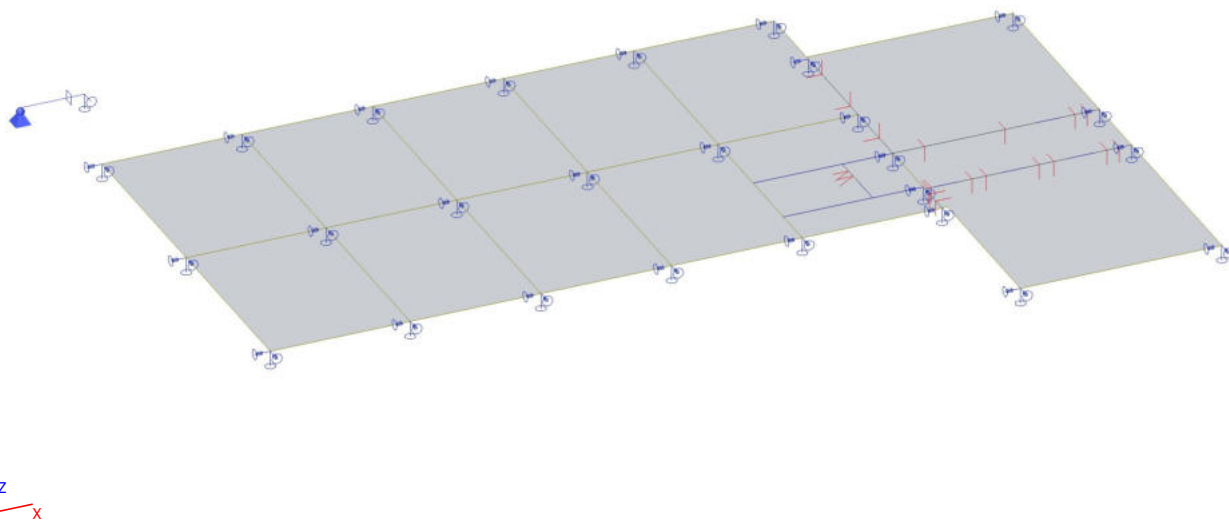


Jméno	Popis
ZS11	Vítr -Y

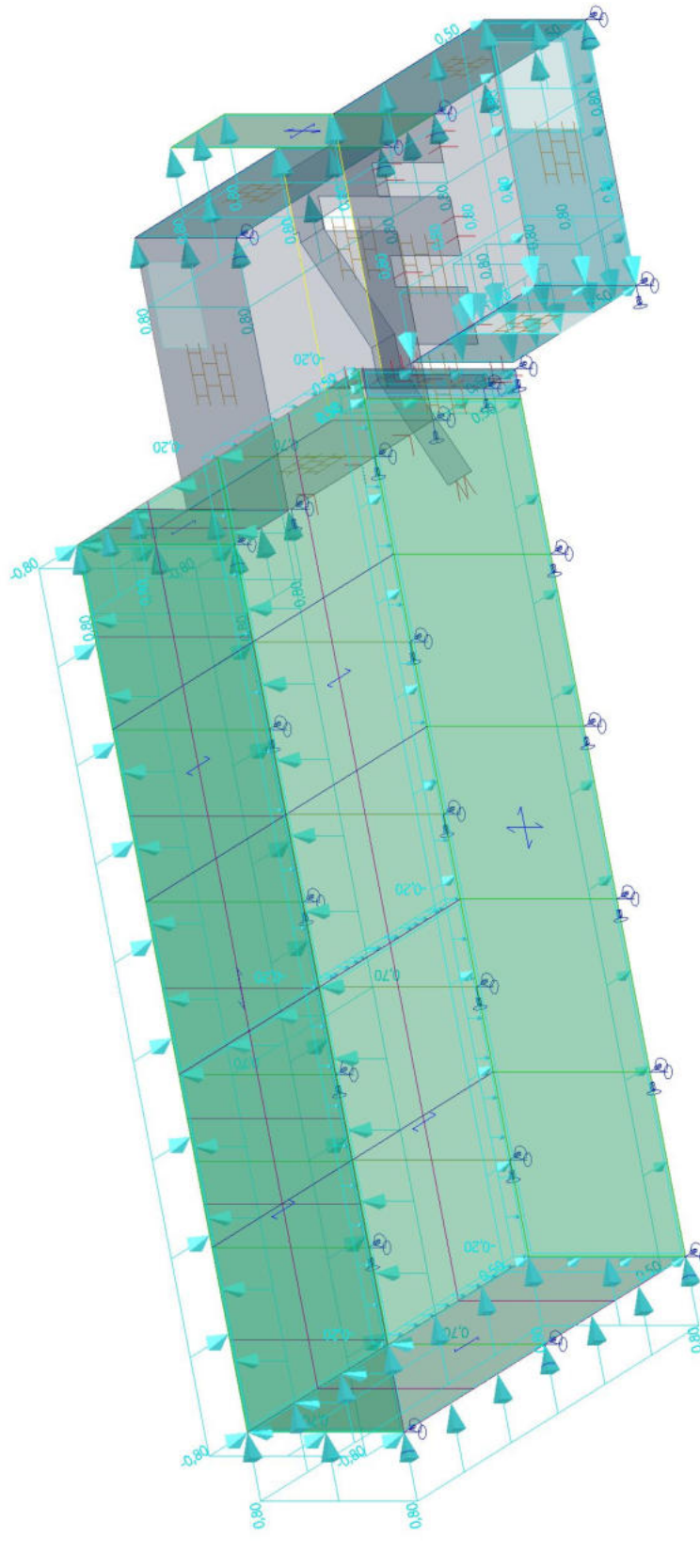
2NP



zaklady



1NP



7. Výsledky a posouzení

7.1. Návrh stropních panelů

Skladba střechy S.2

nad kanceláří

	tl.[mm]	γ [kN/m ³]	F [kN/m ²]
rozchodníky	40	15	0,600
substrát	80	15	1,200
akumulace	20	11	0,220
PVC+gtx	5	14	0,070
EPS	500	0,35	0,175
SBS	4	13	0,052
Spádový beton	150	25	3,750
Panely	250	15	3,750
SDK+rošt	12,5	15	0,188
<u>Celkem</u>			<u>10,005</u>

Sníh . = 2,0 . 0,8 1,600

Užitné na střeše 1,000

Návrh stropních panelů

MSU

Fd 1,35*G + 1,5*S+1,5*Q 17,406

MSP - charakteristická

Fk,ch 1*G+1*S+0,7*Q 12,305

MSP - častá

Fk,co 1*G+0,7*S+0,5*Q 11,625

MSP - kvazi

Fk,kv 1*G+0,2*S+0,3*Q 10,625

Rozpon panelů

L 7,7 m

Výsledky na 1bm

M,Ed	129,0 kNm /m	V,Ed	67,0 kNm /m
M,Ek,ch	91,2 kNm /m	V,Ek,ch	47,4 kNm /m
M,Ek,co	86,2 kNm /m	V,Ek,co	44,8 kNm /m
M,Ek,kv	78,7 kNm /m	V,Ek,kv	40,9 kNm /m

Výsledky na panel 1,2m

M,Ed	154,8 kNm /m	V,Ed	80,4 kNm /m	.-ověření s Mr,d
M,Ek,ch	109,4 kNm /m	V,Ek,ch	56,8 kNm /m	
M,Ek,co	103,4 kNm /m	V,Ek,co	53,7 kNm /m	.-ověření s Mr,0,2
M,Ek,kv	94,5 kNm /m	V,Ek,kv	49,1 kNm /m	.-ověření s Mr,dek

Panely H250 (viz katalog prefa Brno)

STATICKÝ VÝPOČET PPD 252 (LANA – DOLE: 10x12,5 + NAHOŘE: 2x9,3)

L [m]	Sklad. ψ_0 (1,0) $q_k^{e,2}$ [kN/m ²]	ψ_0 (0,7) $q_k^{e,2}$ [kN/m ²]	$M_{r,dek}$ [kNm]	$M_{r,cr}$ [kNm]	$M_{r0,2}$ [kNm]	$M_{r,d}$ [kNm]	ξ [mm]	V_{rdct1} [kN]
2,0	25,00	25,00						
2,5	25,00	25,00						
3,0	25,00	25,00	110,7	118,4	141,5	160,1	-0,91	132,9
3,5	25,00	25,00	109,5	133,4	166,9	188,2	-1,01	132,8
4,0	25,00	25,00	108,6	146,6	190,5	215,7	-1,00	132,7
4,5	25,00	25,00	108,8	146,8	196,1	242,6	-0,84	132,7
5,0	25,00	25,00	109,1	147,1	196,5	243,0	-0,76	132,8
5,5	25,00	25,00	109,4	147,4	196,9	243,0	-0,54	132,9
6,0	21,22	21,88	109,8	147,8	197,4	243,0	-0,14	132,9
6,5	17,40	18,06	110,2	148,2	197,9	243,0	0,48	133,0
7,0	14,39	15,05	110,6	148,6	198,5	243,0	1,38	133,1
7,5	11,97	12,63	111,0	149,0	199,1	243,0	2,60	133,2
8,0	10,00	10,66	111,5	149,5	199,8	243,0	4,20	133,3

$q_d(kN/m^2) = \gamma_G \cdot (g_0 \cdot$
 $q_d(kN/m^2) = \gamma_G \cdot \xi \cdot (g_0 \cdot$
 $\gamma_G (1,35) \dots\dots\dots$
 $\xi (0,85) \dots\dots\dots$
 $g_0 (kN/m^2) \dots\dots\dots$
 $\gamma_Q (1,50) \dots\dots\dots$
 $1,5 (kN/m^2) \dots\dots\dots$
 $q_k (kN/m^2) \dots\dots\dots$
 $\psi_0 (1,0) \dots\dots\dots$
 $\psi_0 (0,7) \dots\dots\dots$
 ECO ČSN EN 1990 rov
 EC2 ČSN EN 1992 -1-
 $M_{r,dek} (kNm/1,2m) \dots\dots\dots$

Skladba podlahy P.4

podlaha kanceláří

	tl.[mm]	γ [kN/m ³]	F [kN/m ²]
Dlažba+lepidlo	15	25	0,375
Mazanina	50	25	1,250
EPS	100	0,35	0,035
Panely	250	15	3,750
SDK+rošt	12,5	15	0,188
<u>Celkem</u>			<u>5,598</u>

Užitné na stropě (kat C2)4,000Návrh stropních panelůMSUFd 1,35*G + 1,5*Q 13,557MSP - charakteristickáFk,ch 1*G+1,0*Q 9,598MSP - častáFk,co 1*G+0,7*Q 8,398MSP - kvaziFk,kv 1*G+0,6*Q 7,998

Rozpon panelů

L 7,7 m

Výsledky na 1bm

M,Ed	100,5 kNm /m	V,Ed	52,2 kNm /m
M,Ek,ch	71,1 kNm /m	V,Ek,ch	37,0 kNm /m
M,Ek,co	62,2 kNm /m	V,Ek,co	32,3 kNm /m
M,Ek,kv	59,3 kNm /m	V,Ek,kv	30,8 kNm /m

Výsledky na panel 1,2m

M,Ed	120,6 kNm /m	V,Ed	62,6 kNm /m	.-ověření s Mr,d
M,Ek,ch	85,4 kNm /m	V,Ek,ch	44,3 kNm /m	
M,Ek,co	74,7 kNm /m	V,Ek,co	38,8 kNm /m	.-ověření s Mr,0,2
M,Ek,kv	71,1 kNm /m	V,Ek,kv	36,9 kNm /m	.-ověření s Mr,dek

Panely H250 (viz katalog prefa Brno)

STATICKÝ VÝPOČET PPD 256 (LANA – DOLE: 6x12,5 +

L [m]	Sklad $\psi_0 (1,0)$ $qk^{0,2}$ [kN/m ²]	$\psi_0 (0,7)$ $qk^{0,2}$ [kN/m ²]	$M_{r,dek}$ [kNm]	$M_{r,cr}$ [kNm]	$M_{r0,2}$ [kNm]	$M_{r,d}$ [kNm]	$^{**}\xi$ [mm]	$^{*}V_{rdct1}$ [kN]
2,0	25,00	25,00						
2,5	25,00	25,00						
3,0	25,00	25,00	70,1	88,3	86,9	98,5	-0,87	128,3
3,5	25,00	25,00	69,7	98,0	103,1	116,7	-1,06	128,2
4,0	25,00	25,00	69,3	106,5	119,1	134,7	-1,13	128,2
4,5	24,51	25,00	69,5	106,7	123,1	151,4	-1,04	128,2
5,0	18,91	19,57	69,7	106,9	123,4	151,4	-1,00	128,3
5,5	14,80	15,46	69,9	107,1	123,7	151,4	-0,82	128,4
6,0	11,70	12,36	70,1	107,3	124,1	151,4	-0,47	128,4
6,5	9,30	9,97	70,4	107,5	124,5	151,4	0,11	128,5
7,0	7,41	8,08	70,6	107,8	124,9	151,4	0,96	128,6
7,5	5,89	6,56	70,9	108,1	125,3	151,4	2,14	128,6
8,0	4,66	5,32	71,2	108,4	125,8	151,4	3,70	128,6

7.2. Návrh střešního trapézového plechu

Návrh Trapézového plechu jako nosné vrstvy na rozpětí 5m uloženo na betonové konstrukci

Strop

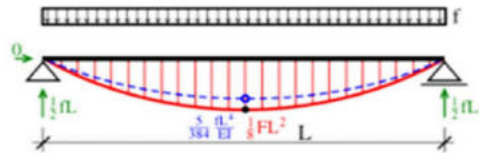
L = 5000 mm

Mezní průhyb

$$\delta_{\text{lim}} = 1 / 250$$

$$\delta_{\text{max}} = L \cdot \delta_{\text{lim}} = 20,0 \text{ mm}$$

Výpočty provedeny jako prostý nosník zatížený spojitým zatížením



Položka	kN/m3	tl [mm]	kN/m2	zat. š. [m]	Char. hodnoty				Návrh. hodnoty	
					kN/m	kN	γ_G	γ_Q	kN/m	kN
1 x										
Skladba + FVE			0,80	1,0	0,8			1,35		1,1
Sníh + vítr			1,80	1,0	1,8			1,50		2,7

Součet účinků v kombinaci:

$$f_k = 2,6 \text{ kN/m}$$

$$f_d = 3,8 \text{ kN/m}$$

Reakce

$$V_{z,k} = f_k \cdot (L / 1000) / 2 = 2,6 \cdot (5000 / 1000) / 2 = 6,5 \text{ kN}$$

$$V_{z,d} = f_d \cdot (L / 1000) / 2 = 3,8 \cdot (5000 / 1000) / 2 = 9,5 \text{ kN}$$

Moment

$$M_{Ed} = (1 / 8 \cdot f_d \cdot L^2) / 1000000 =$$

$$= (1 / 8 \cdot 3,8 \cdot 5000^2) / 1000000 = 11,81 \text{ kNm}$$

Průhyb

$$\delta = (5 \cdot f_k \cdot L^4 / (384 \cdot E \cdot I_{y,prov,1})) =$$

$$= (5 \cdot 2,6 \cdot 5000^4 / (384 \cdot 210000 \cdot 5120000)) =$$

$$= 19,7 \text{ mm}$$

Návrh na základě MSP

$$I_{y,min} = (5 \cdot f_k \cdot L^4 / (384 \cdot E \cdot \delta_{\text{max}})) =$$

$$= (5 \cdot 2,6 \cdot 5000^4 / (384 \cdot 210000 \cdot 20,0)) =$$

$$= 5037822 \text{ mm}^4$$

Návrh na základě MSU

$$W_{pl,y,min} = 1 / f_y \cdot (1 / 8 \cdot f_d \cdot L^2) =$$

$$= 1 / 235 \cdot (1 / 8 \cdot 3,8 \cdot 5000^2) =$$

$$= 50266 \text{ mm}^3$$



Minimální profil plechu

1 x TR 160/260x0,88 - úzkou vlnou dolů - pozitivní orientace - S235

bráno ze sortimentu Satjam

$$W_{y,eff,prov,1} = 57100 \text{ mm}^3$$

88 %

$$I_{y,prov,1} = 5120000 \text{ mm}^4$$

98 %

Vyhoví

7.3. Věnce 2NP

7.3.1. 1D vnitřní síly; N

Hodnoty: N

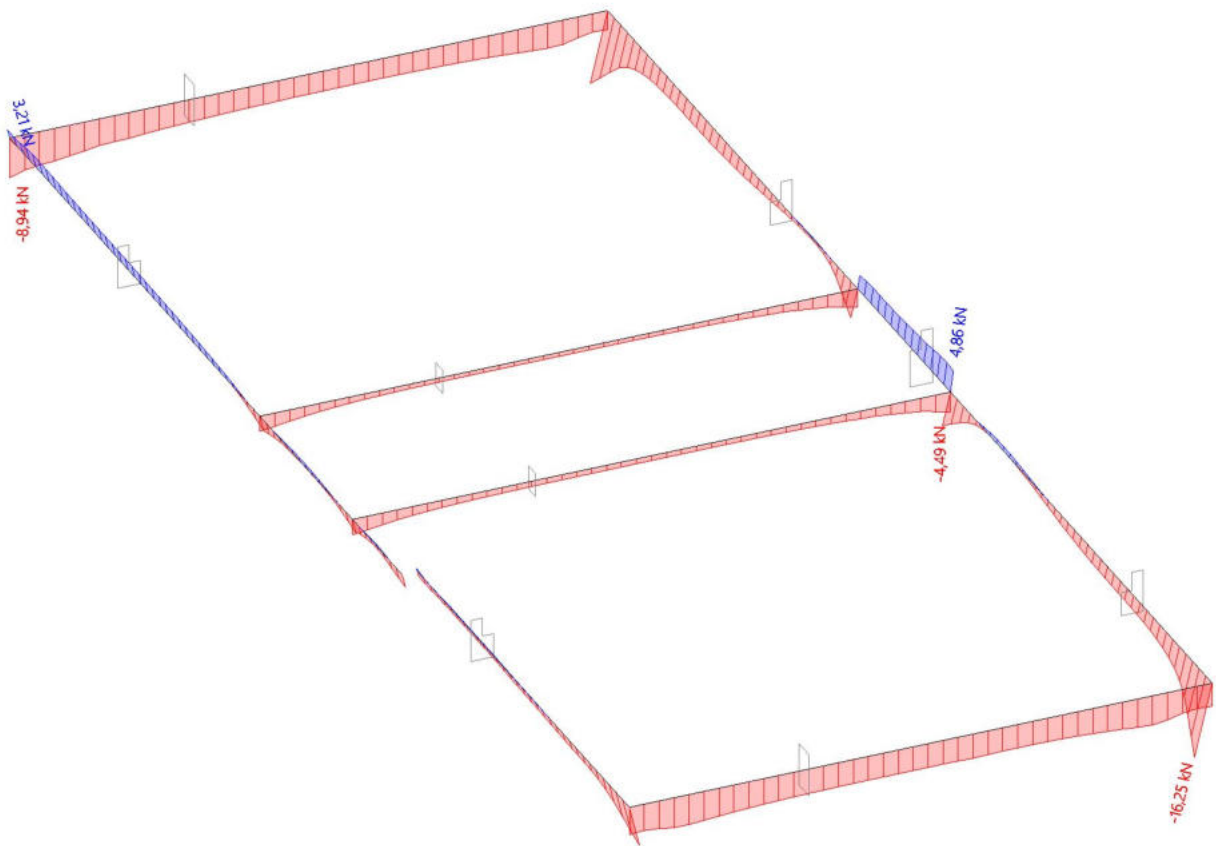
Lineární výpočet

Třída: Všechny MSU

Souřadný systém: Hlavní

Extrém 1D: Průřez

Výběr: Vše



7.3.2. 1D vnitřní síly; V_z

Hodnoty: V_z

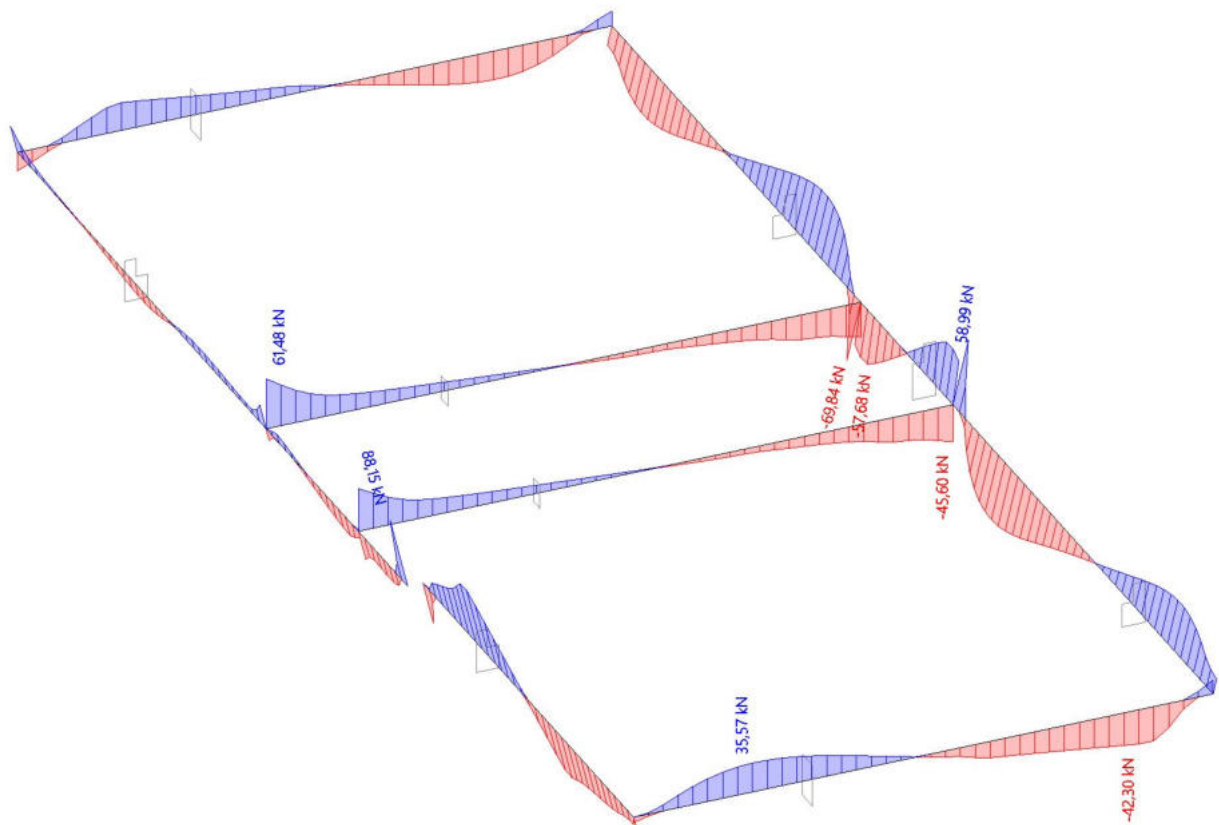
Lineární výpočet

Třída: Všechny MSU

Souřadný systém: Hlavní

Extrém 1D: Průřez

Výběr: Vše



7.3.3. 1D vnitřní síly; M_y

Hodnoty: M_y

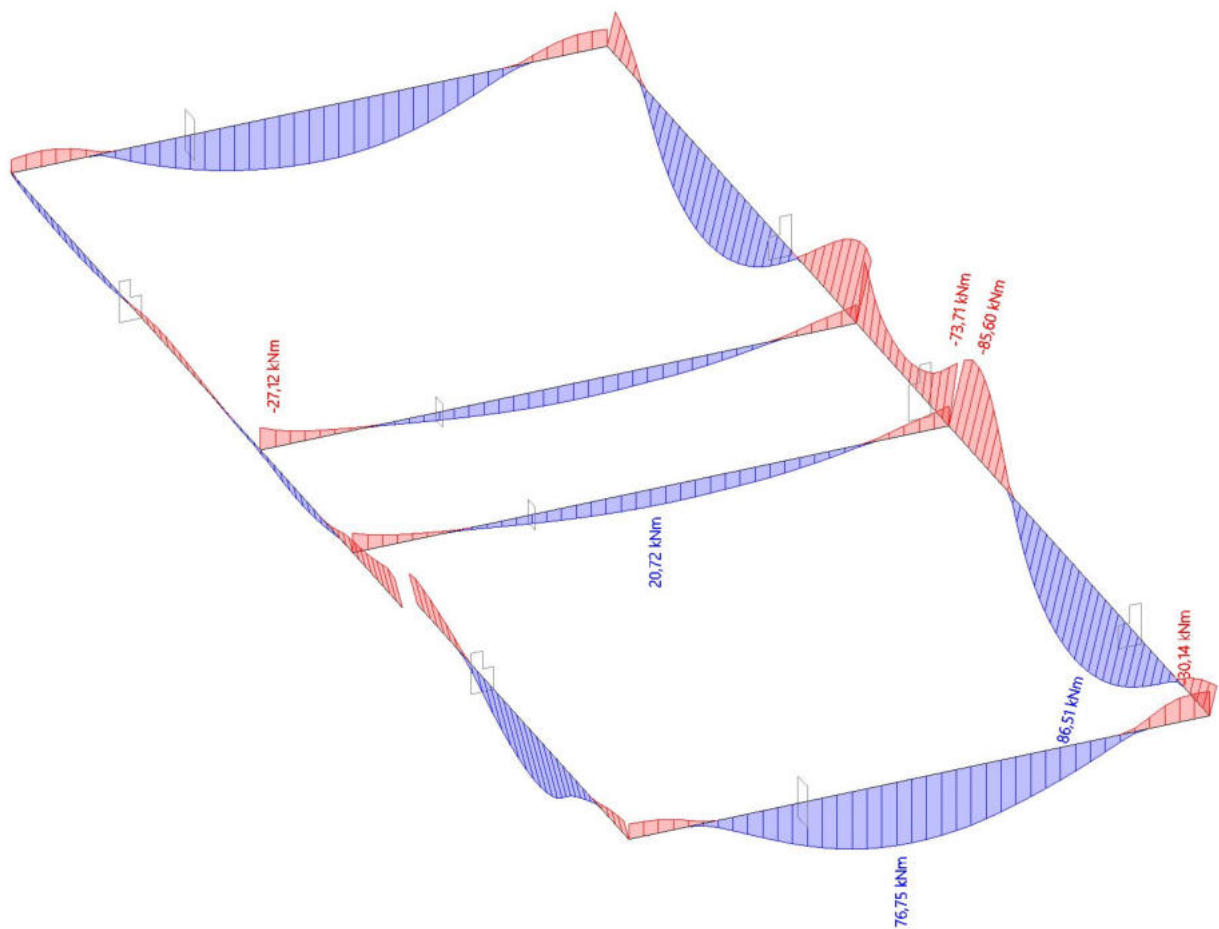
Lineární výpočet

Třída: Všechny MSU

Souřadný systém: Hlavní

Extrém 1D: Průřez

Výběr: Vše



7.4. Věnce 1NP

7.4.1. 1D vnitřní síly; N

Hodnoty: N

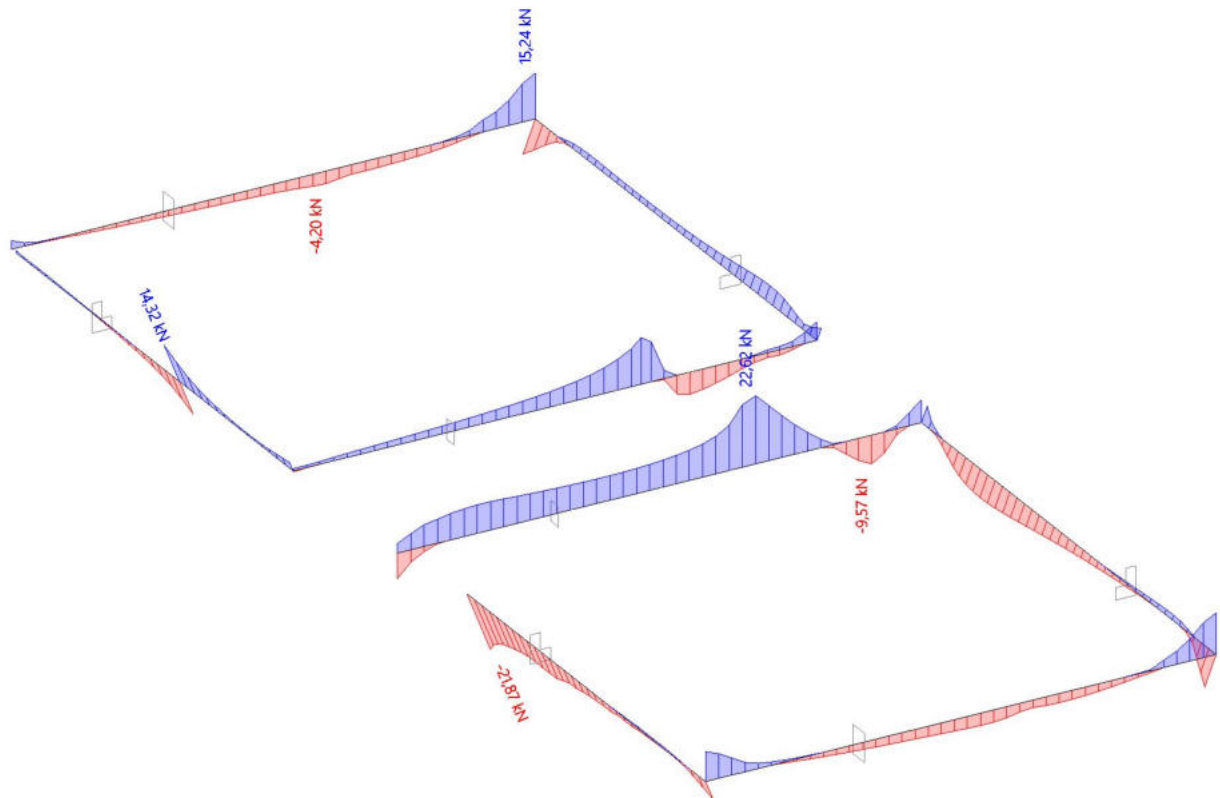
Lineární výpočet

Třída: Všechny MSU

Souřadný systém: Hlavní

Extrém 1D: Průřez

Výběr: Vše



7.4.2. 1D vnitřní síly; V_z

Hodnoty: V_z

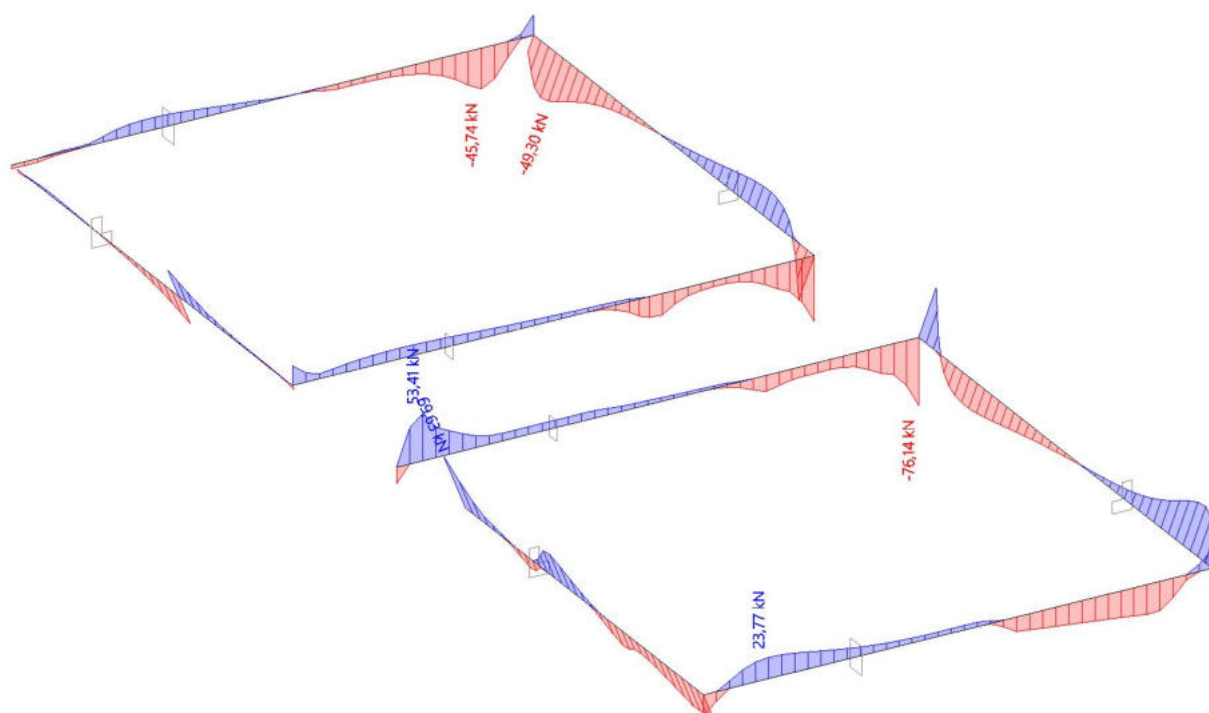
Lineární výpočet

Třída: Všechny MSU

Souřadný systém: Hlavní

Extrém 1D: Průřez

Výběr: Vše



7.4.3. 1D vnitřní síly; M_y

Hodnoty: M_y

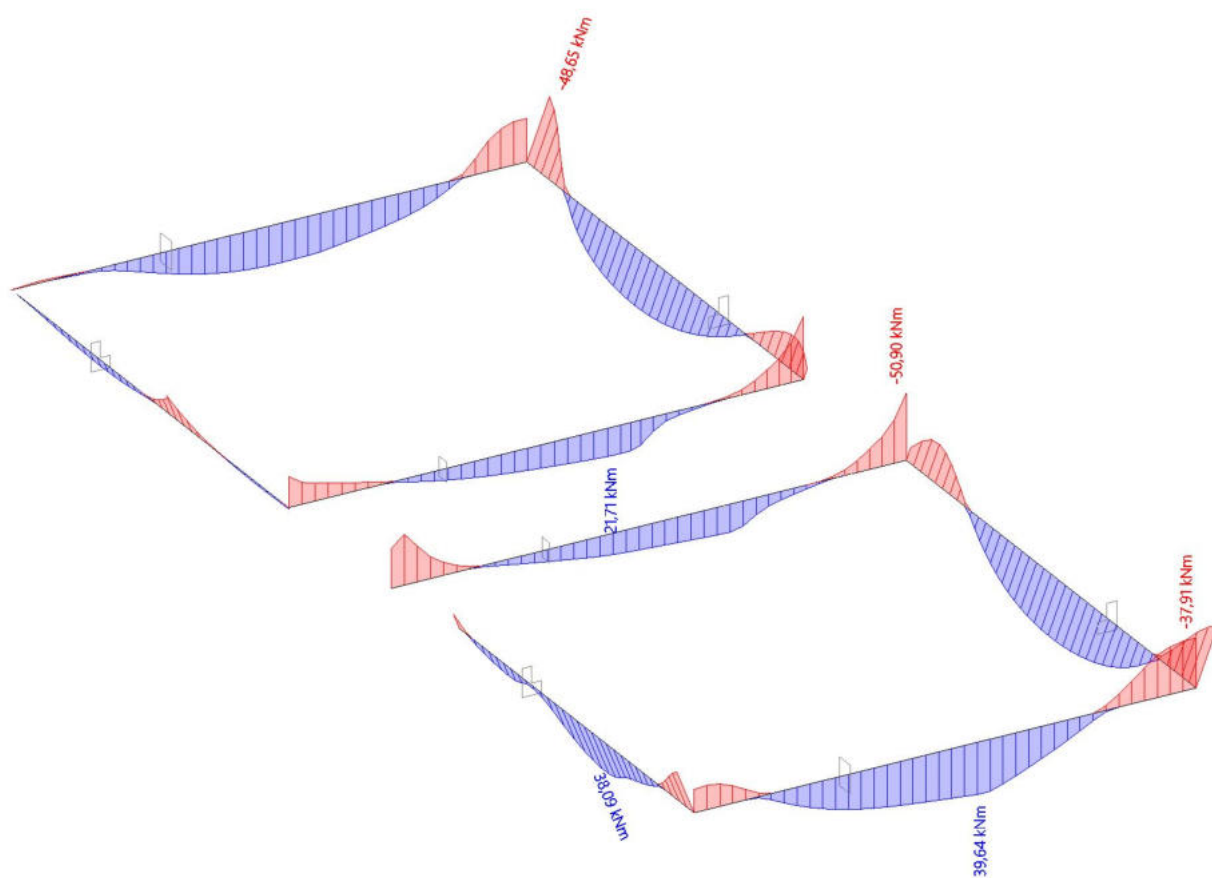
Lineární výpočet

Třída: Všechny MSU

Souřadný systém: Hlavní

Extrém 1D: Průřez

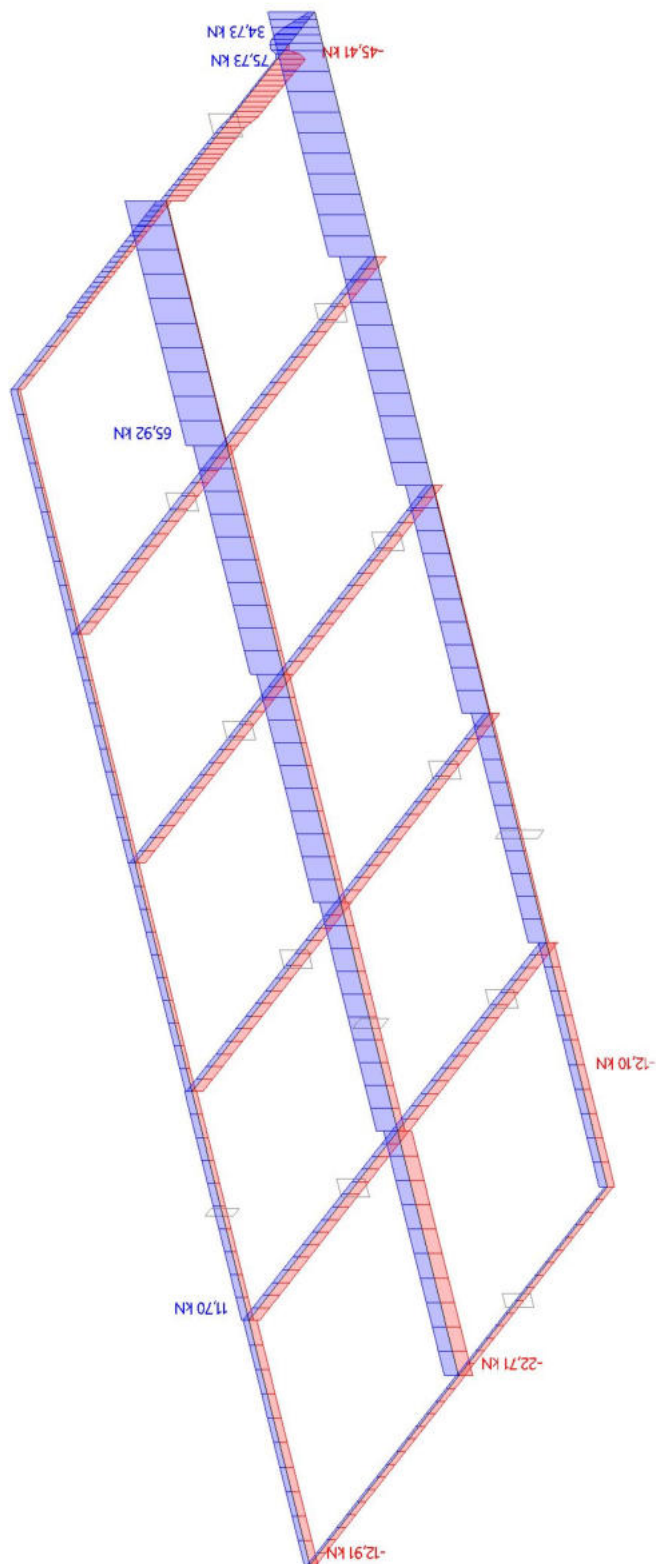
Výběr: Vše



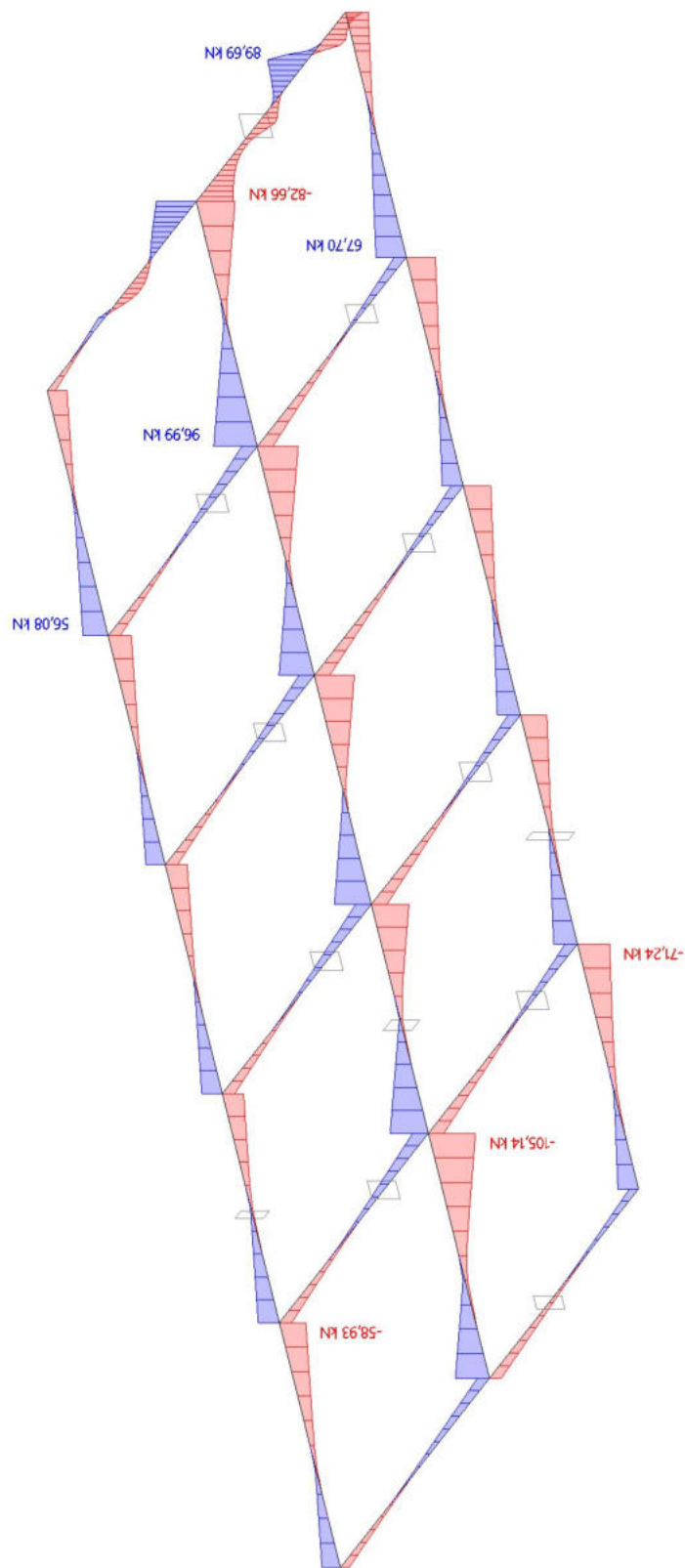
7.5. Průvlaky 1NP

7.5.1. 1D vnitřní síly; N

Hodnoty: **N**
Lineární výpočet
Třída: Všechny MSU
Souřadný systém: Hlavní
Extrém 1D: Průřez
Výběr: Vše

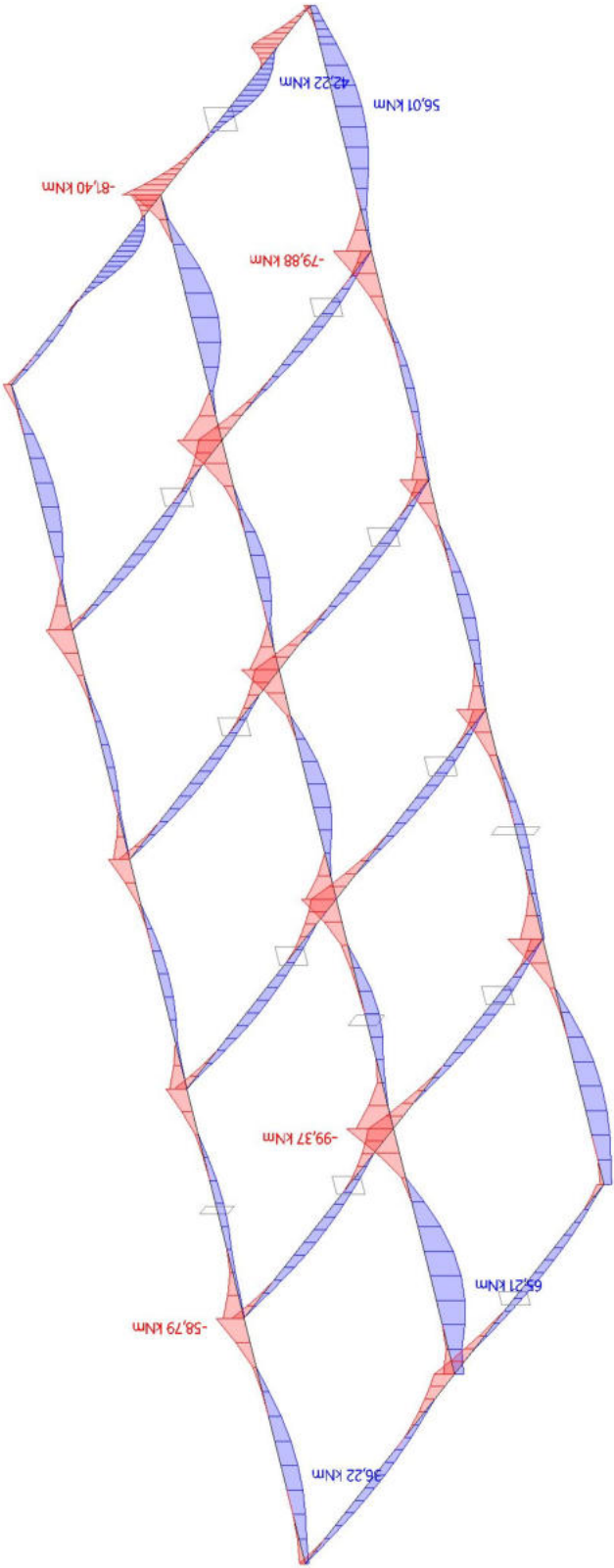


7.5.2. 1D vnitřní síly; V_z



Hodnoty: V_z
 Lineární výpočet
 Třída: Všechny MSU
 Souřadný systém: Hlavní
 Extrém 1D: Průřez
 Výběr: Vše

7.5.3. 1D vnitřní síly; M_y



Hodnoty: M_y
Lineární výpočet
Třída: Všechny MSU
Souřadný systém: Hlavní
Extrém 1D: Průřez
Výběr: Vše



7.6. Strop 1NP (schodiště H300, podesta H230)

7.6.1. Návrh výztuže (MSÚ+MSP); $A_{s,req,1-}$

Hodnoty: $A_{s,req,1-}$

Lineární výpočet

Třída: Všechny MSU

Extrém: Globální

Výběr: Vše

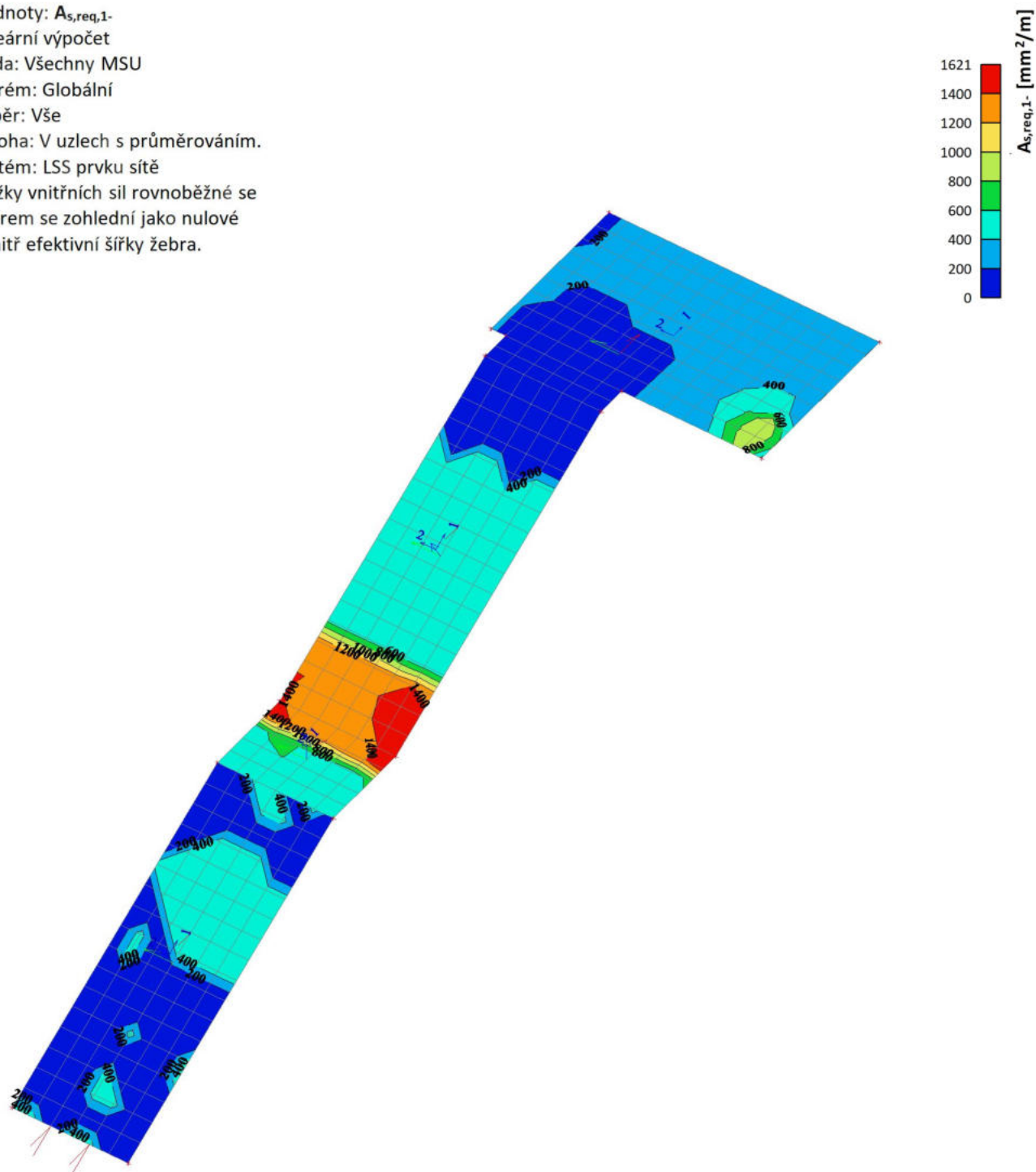
Poloha: V uzlech s průměrováním.

Systém: LSS prvku sítě

Složky vnitřních sil rovnoběžné se

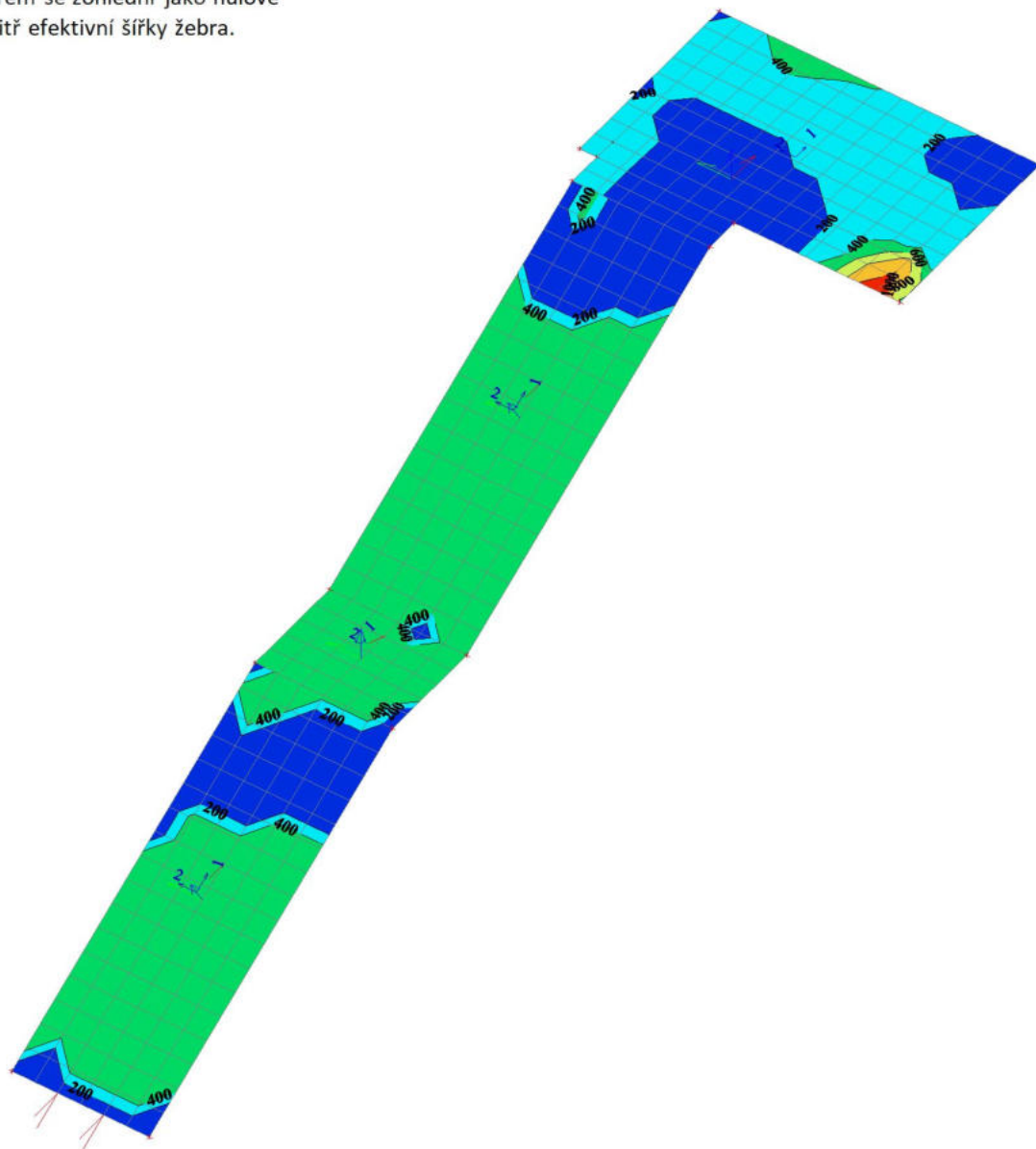
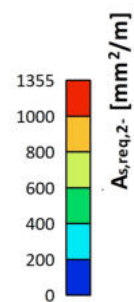
žebrem se zohlední jako nulové

uvnitř efektivní šířky žebra.



7.6.2. Návrh výztuže (MSÚ+MSP); $A_{s,req,2-}$

Hodnoty: $A_{s,req,2-}$
Lineární výpočet
Třída: Všechny MSU
Extrém: Globální
Výběr: Vše
Poloha: V uzlech s průměrováním.
Systém: LSS prvku sítě
Složky vnitřních sil rovnoběžné se
žebrem se zohlední jako nulové
uvnitř efektivní šířky žebra.



7.6.3. Návrh výztuže (MSÚ+MSP); $A_{s,req,1+}$

Hodnoty: $A_{s,req,1+}$

Lineární výpočet

Třída: Všechny MSU

Extrém: Globální

Výběr: Vše

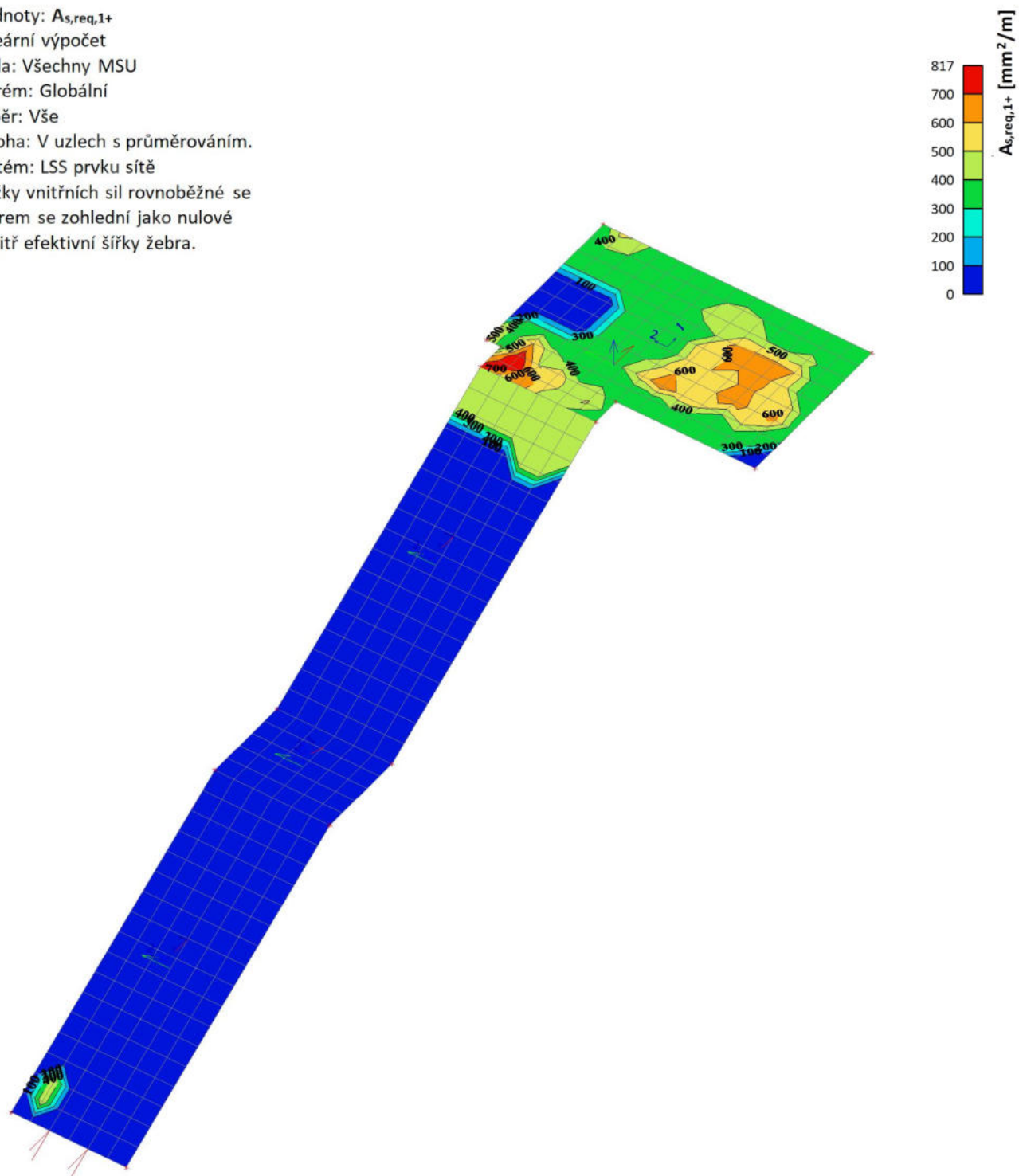
Poloha: V uzlech s průměrováním.

Systém: LSS prvku síť

Složky vnitřních sil rovnoběžné se

žebrem se zohlední jako nulové

uvnitř efektivní šířky žebra.



7.6.4. Návrh výztuže (MSÚ+MSP); $A_{s,req,2+}$

Hodnoty: $A_{s,req,2+}$

Lineární výpočet

Třída: Všechny MSU

Extrém: Globální

Výběr: Vše

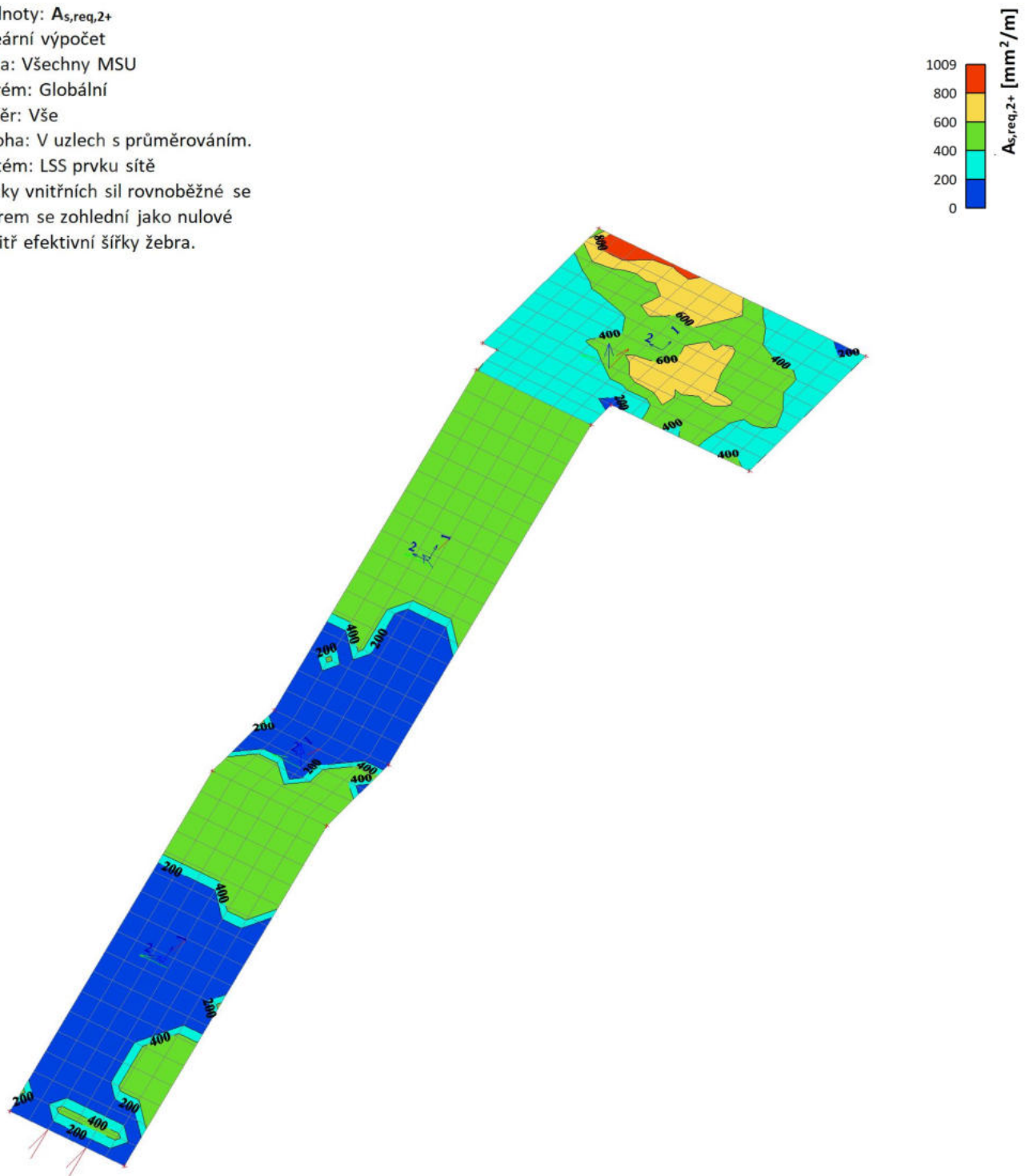
Poloha: V uzlech s průměrováním.

Systém: LSS prvku sítě

Složky vnitřních sil rovnoběžné se

žebrem se zohlední jako nulové

uvnitř efektivní šířky žebra.



x/y/z

7.7. Sloupy

7.7.1. 1D vnitřní síly; N

Hodnoty: N

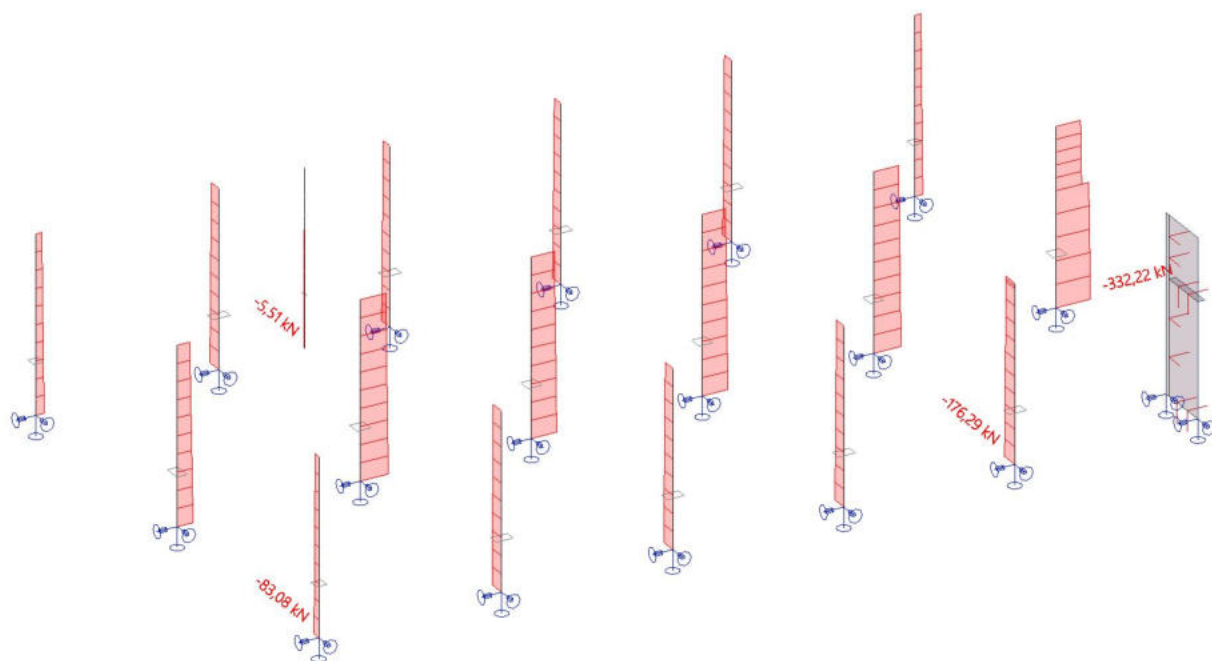
Lineární výpočet

Třída: Všechny MSU

Souřadný systém: Hlavní

Extrém 1D: Průřez

Výběr: Vše



7.7.2. 1D vnitřní síly; V_y

Hodnoty: V_y

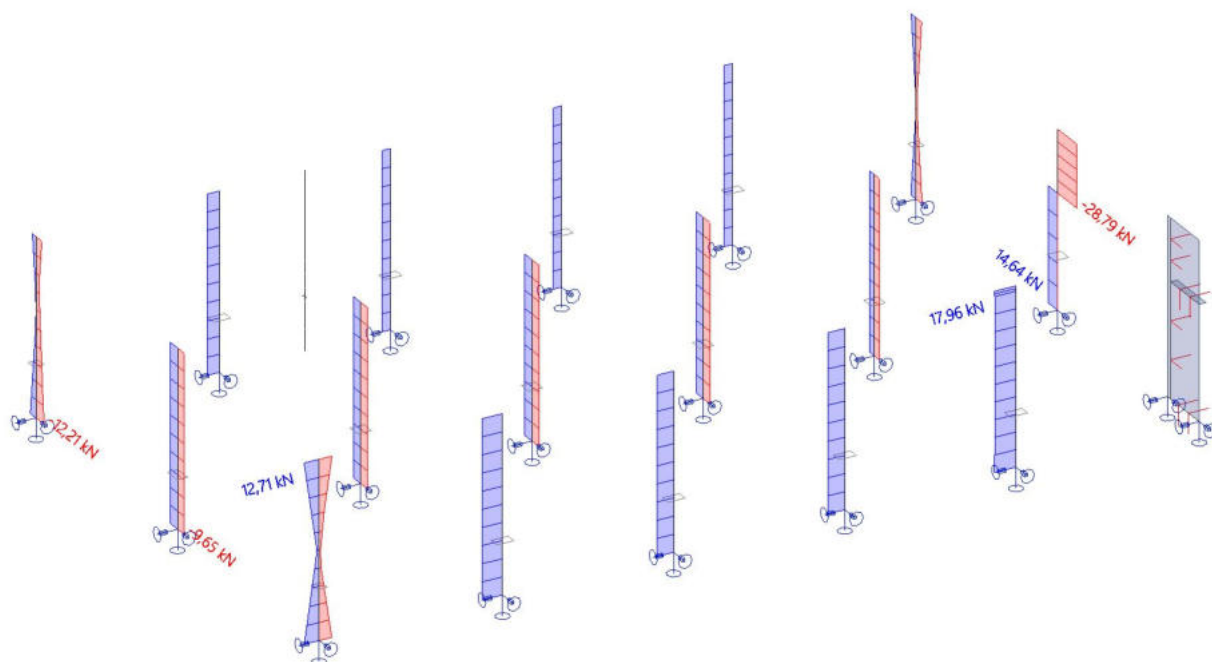
Lineární výpočet

Třída: Všechny MSU

Souřadný systém: Hlavní

Extrém 1D: Průřez

Výběr: Vše



7.7.3. 1D vnitřní síly; V_z

Hodnoty: V_z

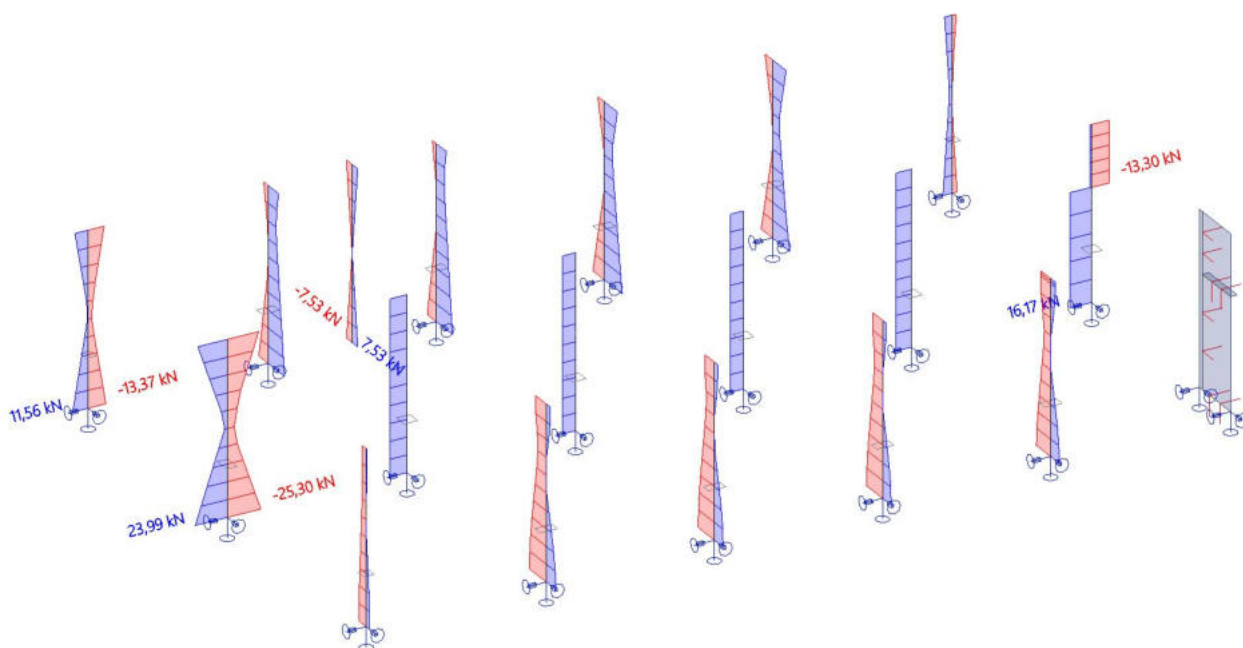
Lineární výpočet

Třída: Všechny MSU

Souřadný systém: Hlavní

Extrém 1D: Průřez

Výběr: Vše



7.7.4. 1D vnitřní síly; M_y

Hodnoty: M_y

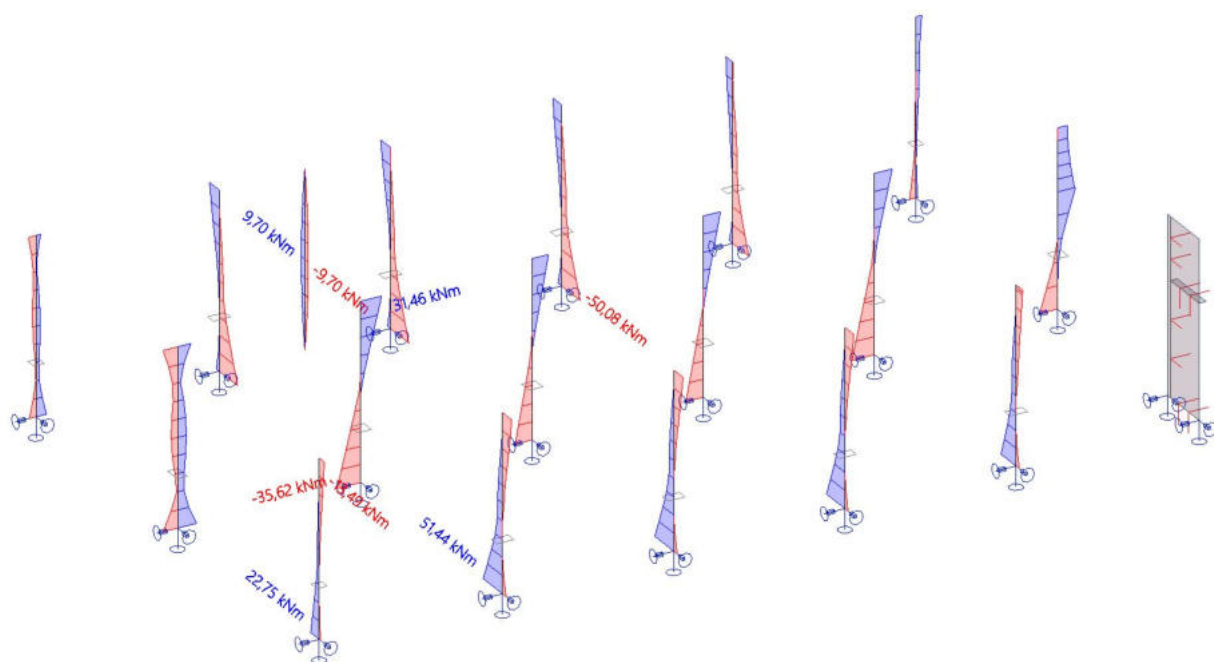
Lineární výpočet

Třída: Všechny MSU

Souřadný systém: Hlavní

Extrém 1D: Průřez

Výběr: Vše



7.7.5. 1D vnitřní síly; M_z

Hodnoty: M_z

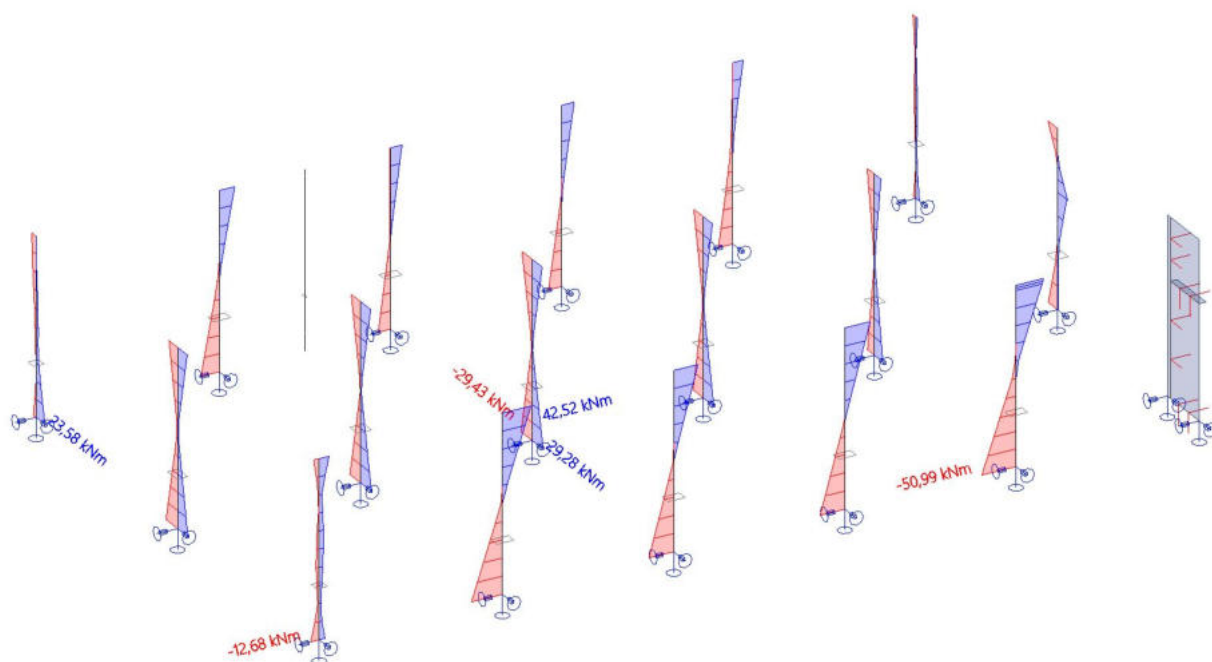
Lineární výpočet

Třída: Všechny MSU

Souřadný systém: Hlavní

Extrém 1D: Průřez

Výběr: Vše



7.8. Stěny 1NP

7.8.1. Návrh výztuže (MSÚ+MSP); $A_{s,req,2}$ -

Hodnoty: $A_{s,req,2}$ -

Lineární výpočet

Třída: Všechny MSU

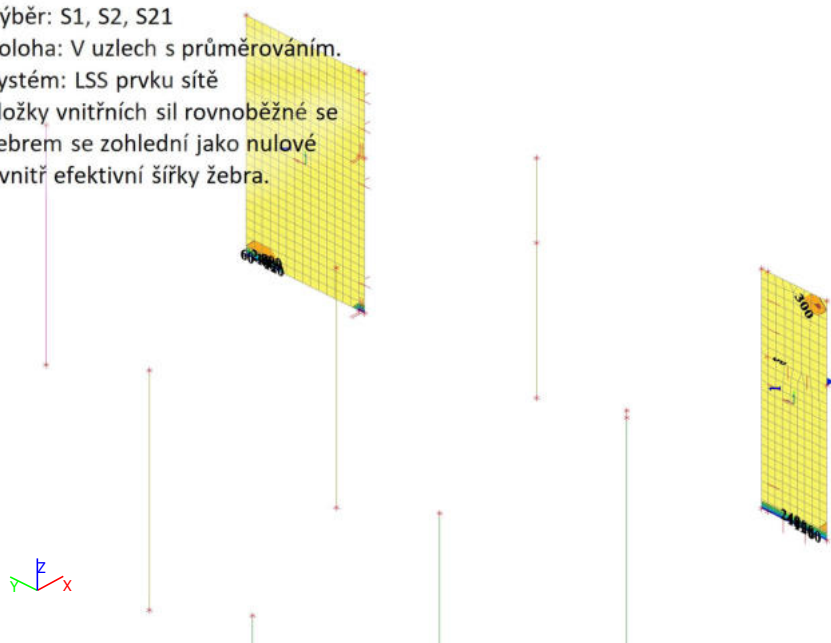
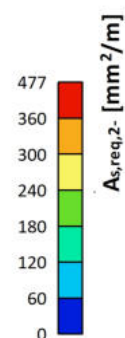
Extrém: Globální

Výběr: S1, S2, S21

Poloha: V uzlech s průměrováním.

Systém: LSS prvku sítě

Složky vnitřních sil rovnoběžné se žebrem se zohlední jako nulové uvnitř efektivní šířky žebra.



7.8.2. Návrh výztuže (MSÚ+MSP); $A_{s,req,1}$ -

Hodnoty: $A_{s,req,1}$ -

Lineární výpočet

Třída: Všechny MSU

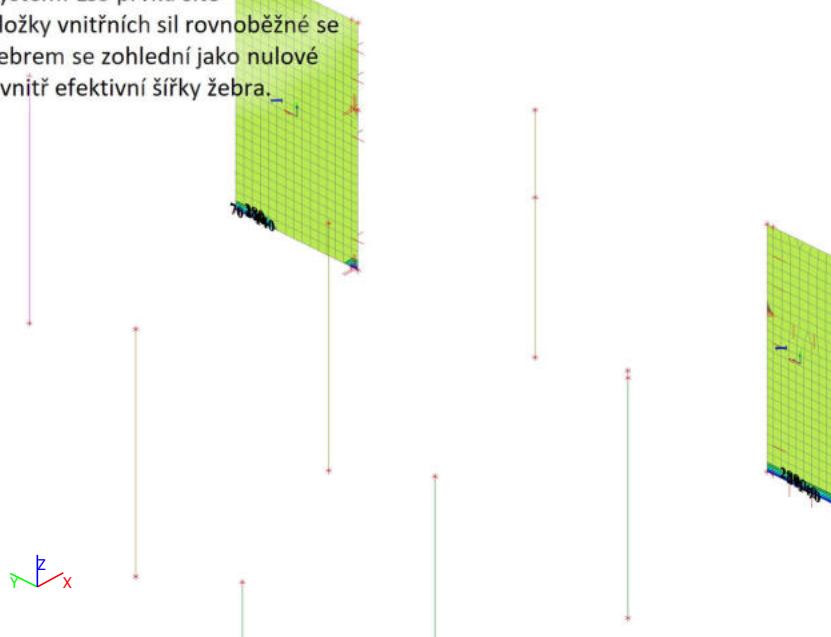
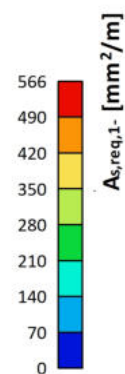
Extrém: Globální

Výběr: S1, S2, S21

Poloha: V uzlech s průměrováním.

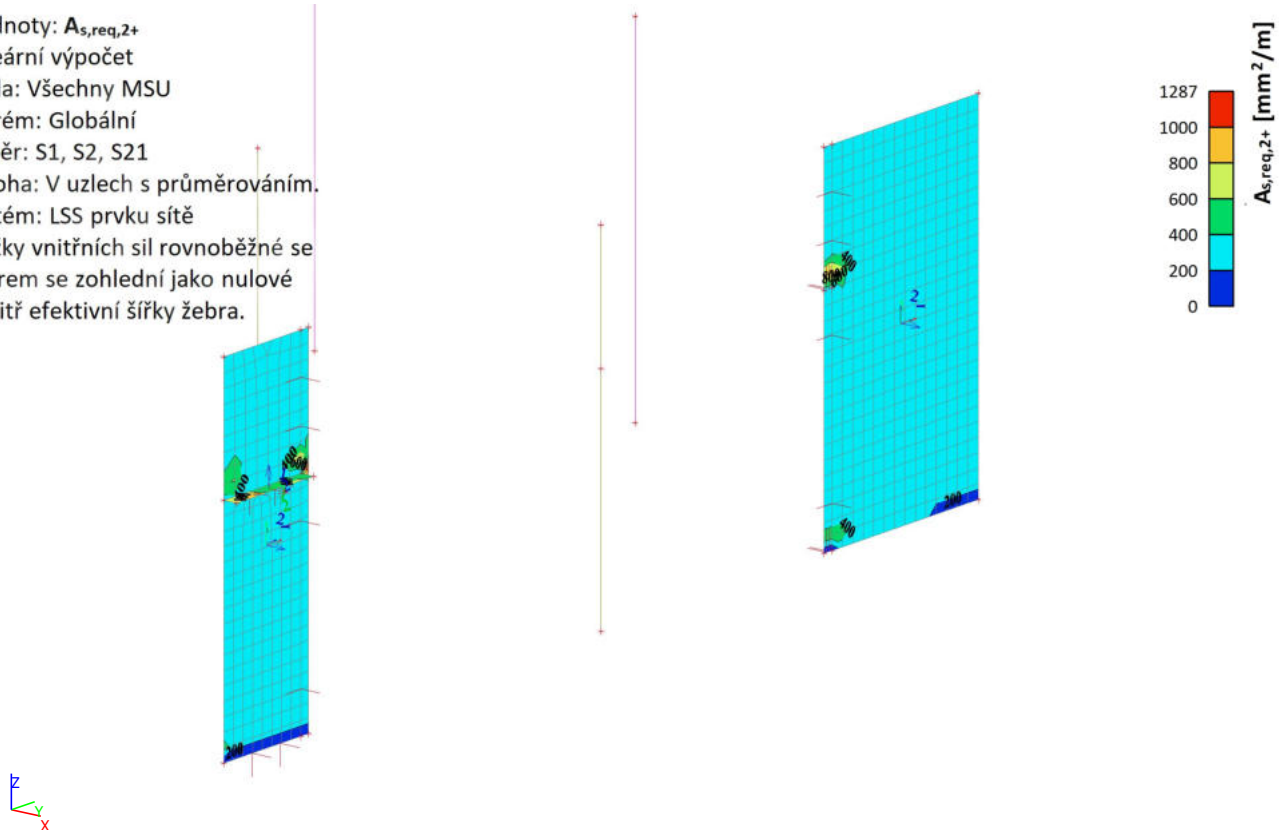
Systém: LSS prvku sítě

Složky vnitřních sil rovnoběžné se žebrem se zohlední jako nulové uvnitř efektivní šířky žebra.



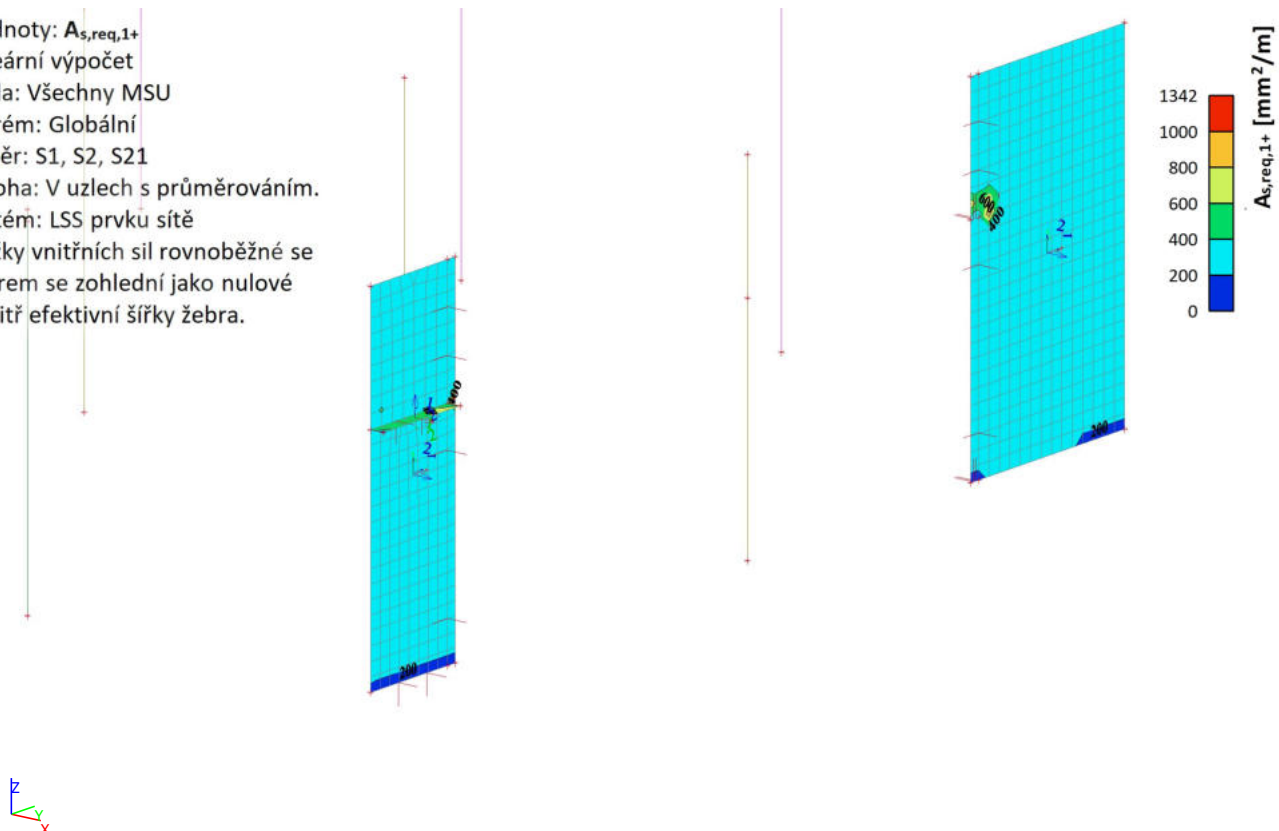
7.8.3. Návrh výztuže (MSÚ+MSP); $A_{s,req,2+}$

Hodnoty: $A_{s,req,2+}$
 Lineární výpočet
 Třída: Všechny MSU
 Extrém: Globální
 Výběr: S1, S2, S21
 Poloha: V uzlech s průměrováním.
 Systém: LSS prvku síť
 Složky vnitřních sil rovnoběžné se
 žebrem se zohlední jako nulové
 uvnitř efektivní šířky žebra.



7.8.4. Návrh výztuže (MSÚ+MSP); $A_{s,req,1+}$

Hodnoty: $A_{s,req,1+}$
 Lineární výpočet
 Třída: Všechny MSU
 Extrém: Globální
 Výběr: S1, S2, S21
 Poloha: V uzlech s průměrováním.
 Systém: LSS prvku síť
 Složky vnitřních sil rovnoběžné se
 žebrem se zohlední jako nulové
 uvnitř efektivní šířky žebra.



7.9. Základová deska

7.9.1. Návrh výztuže (MSÚ+MSP); $A_{s,req,1+}$

Hodnoty: $A_{s,req,1+}$

Lineární výpočet

Třída: Všechny MSU

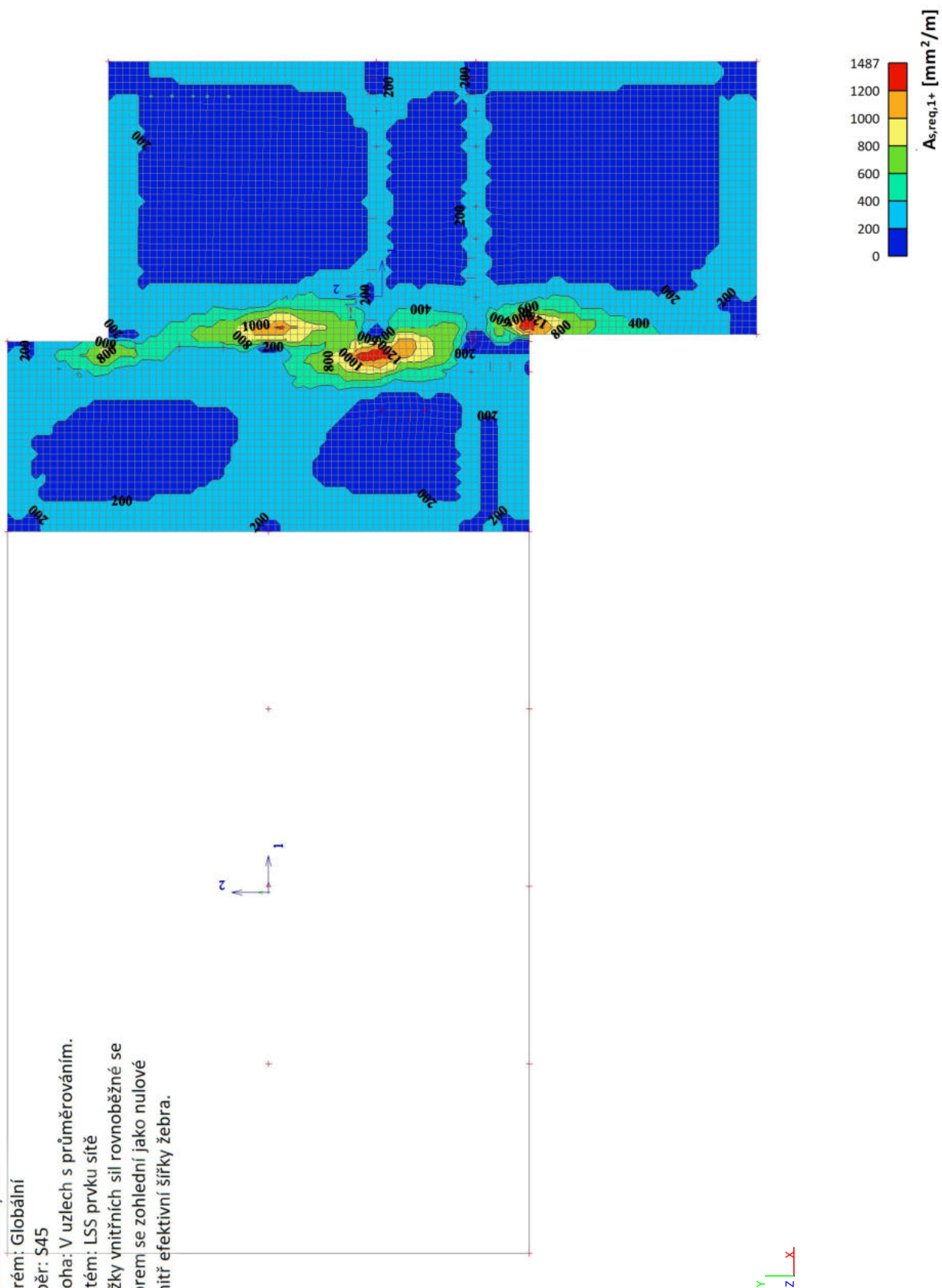
Extrém: Globální

Výběr: S45

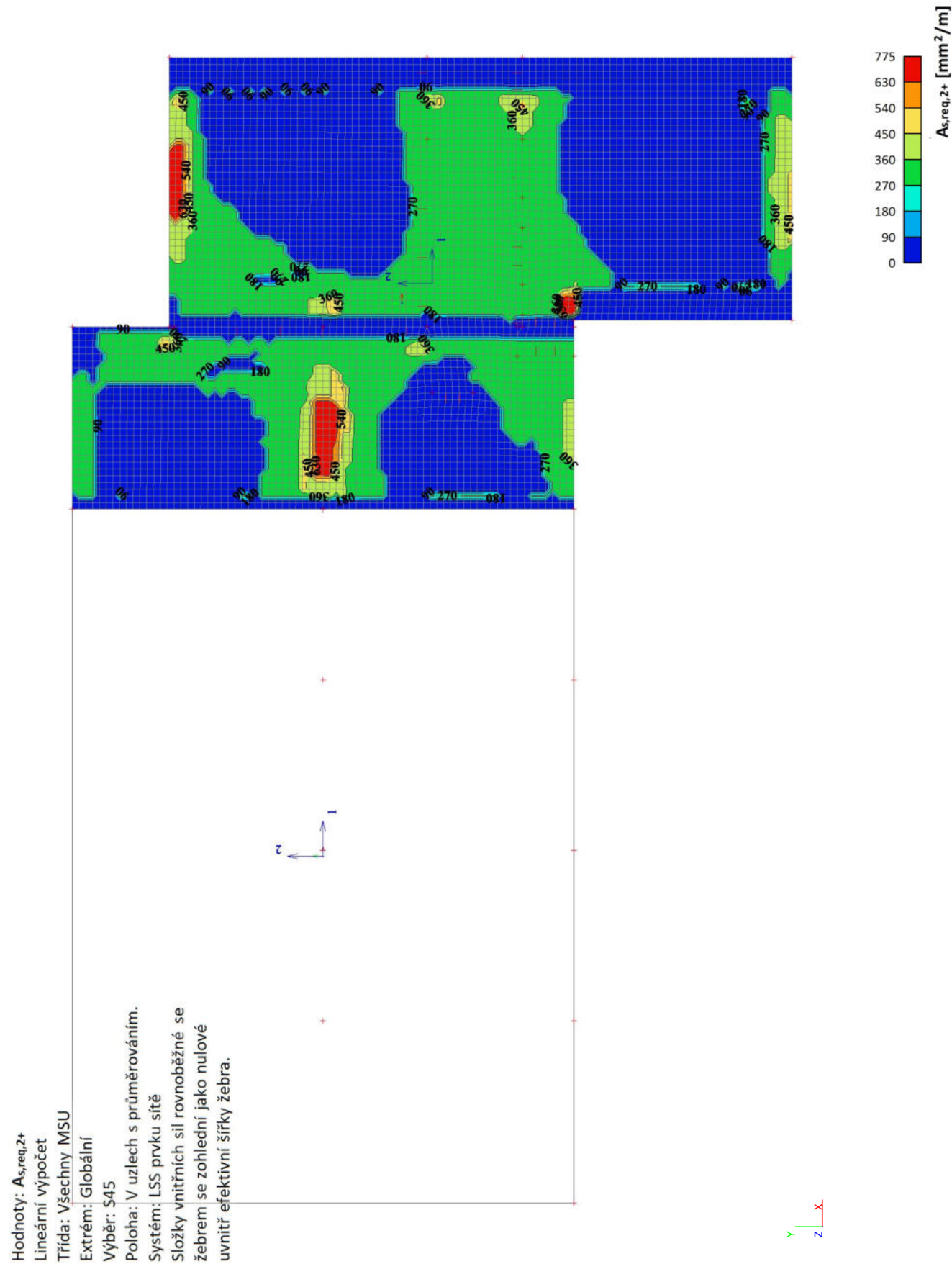
Poloha: V uzlech s průměrováním.

Systém: LSS prvku síť

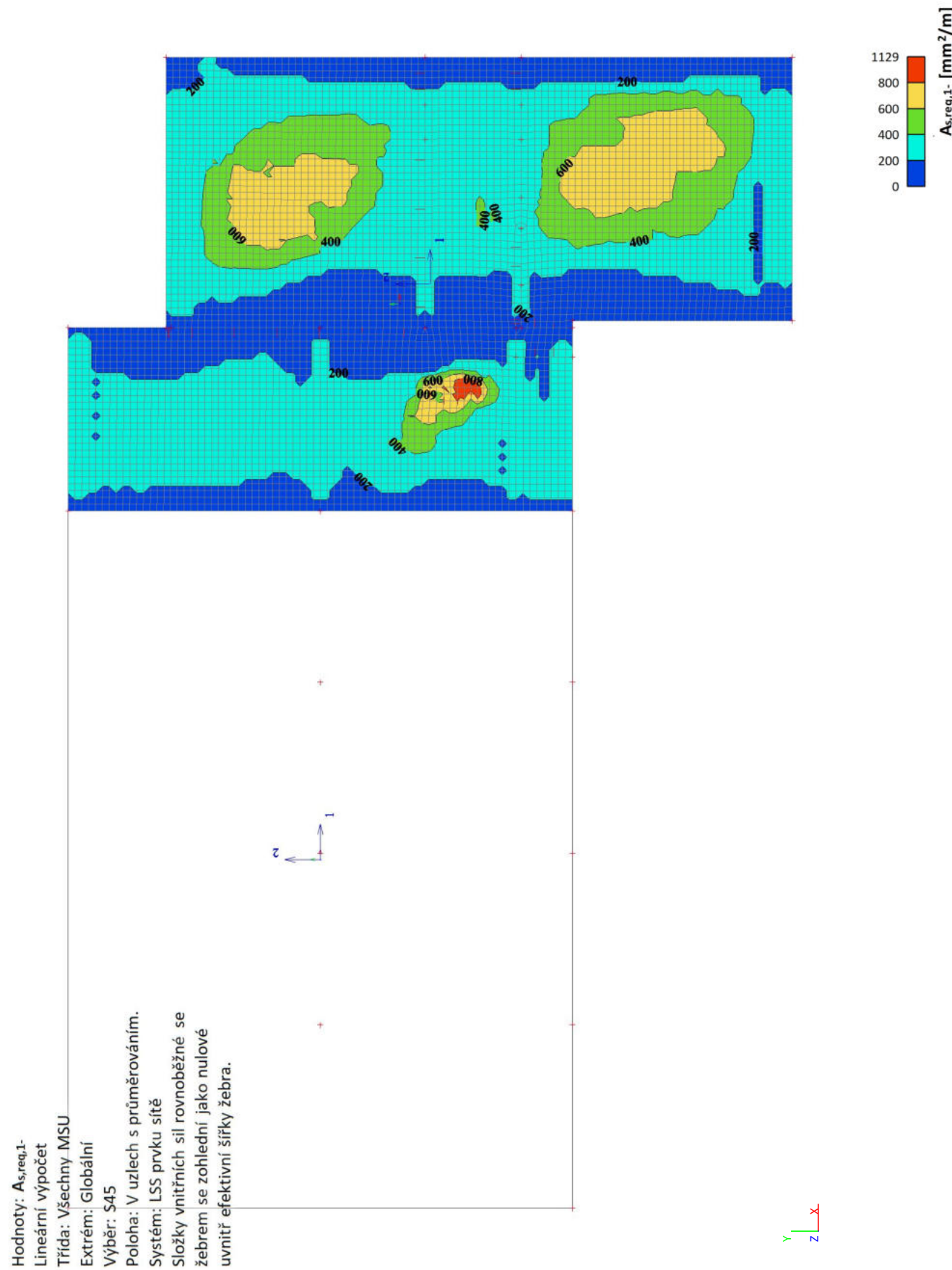
Složky vnitřních sil rovnoběžné se
žebrem se zohlední jako nulové
uvnitř efektivní šířky žebra.



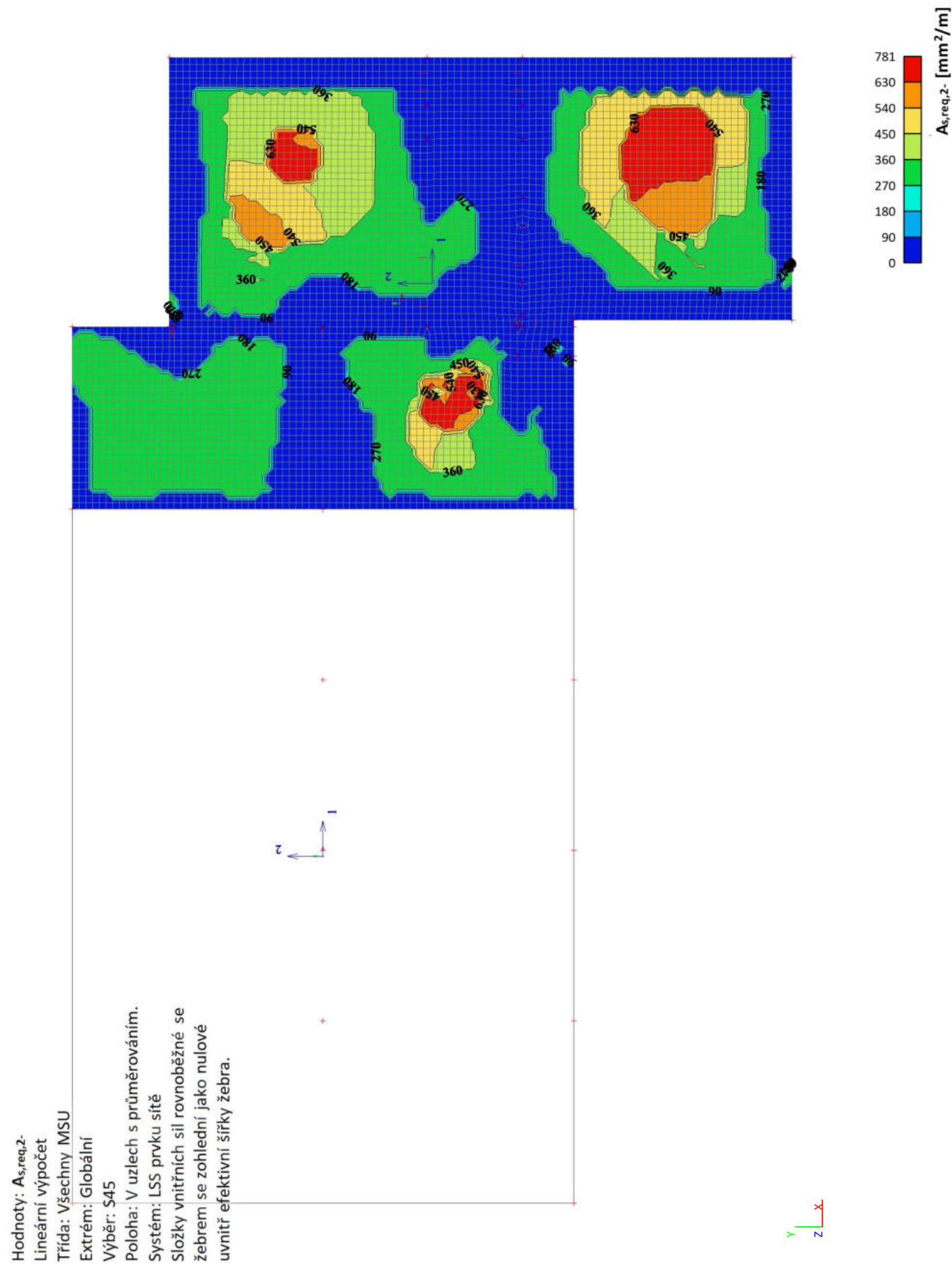
7.9.2. Návrh výztuže (MSÚ+MSP); $A_{s,req,2+}$



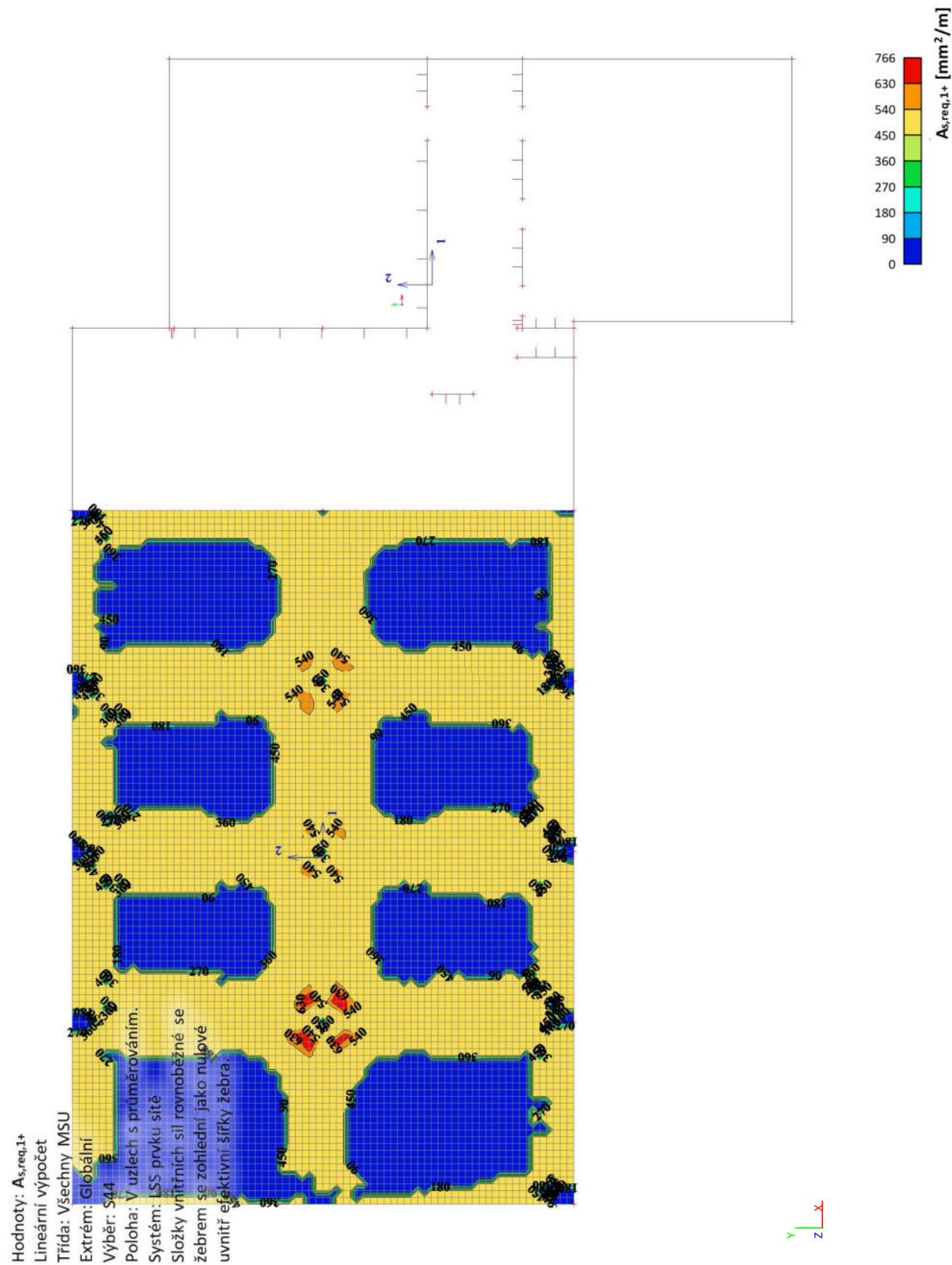
7.9.3. Návrh výztuže (MSÚ+MSP); $A_{s,req,1}$ -



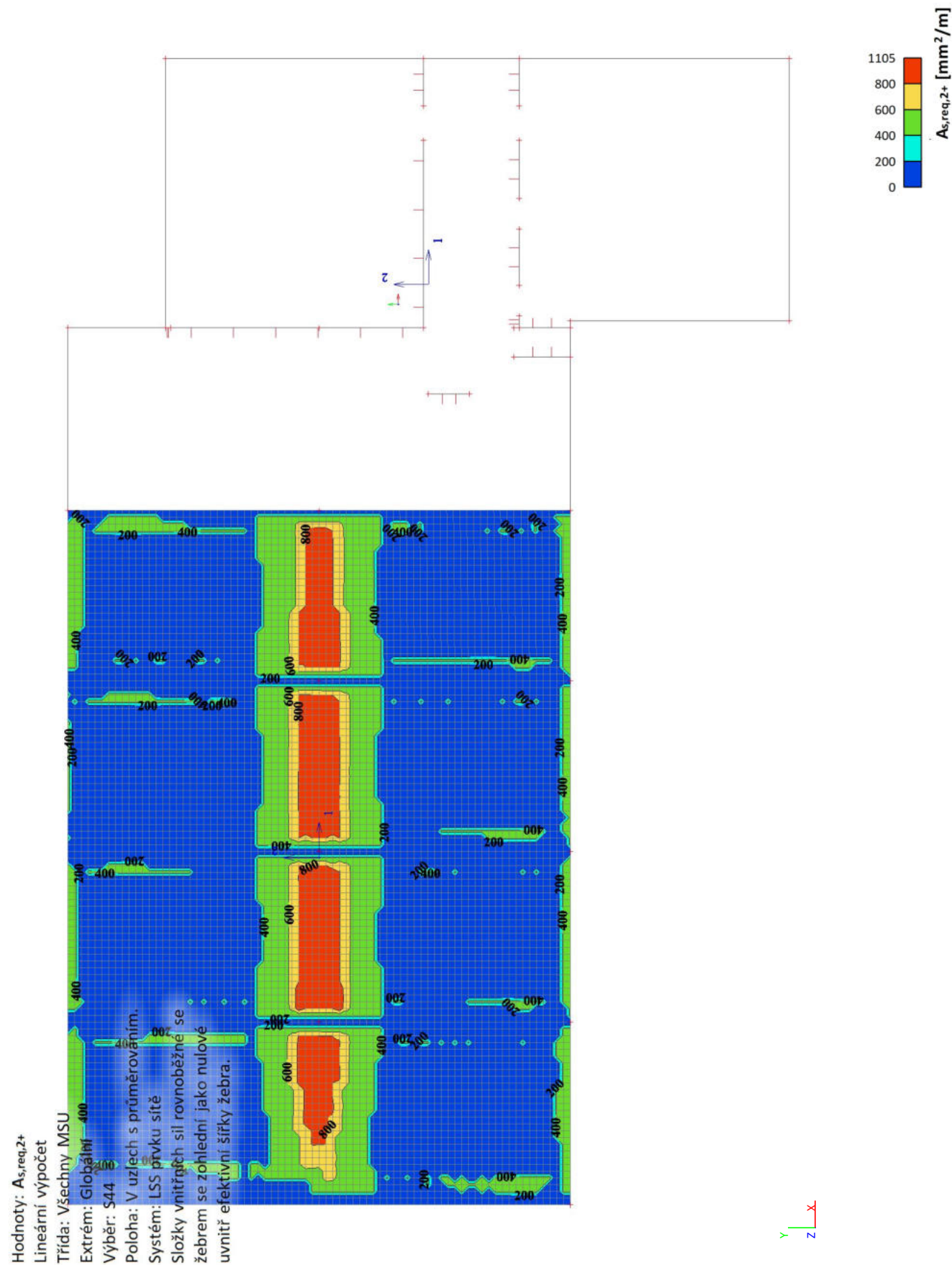
7.9.4. Návrh výztuže (MSÚ+MSP); $A_{s,req,2}$ -



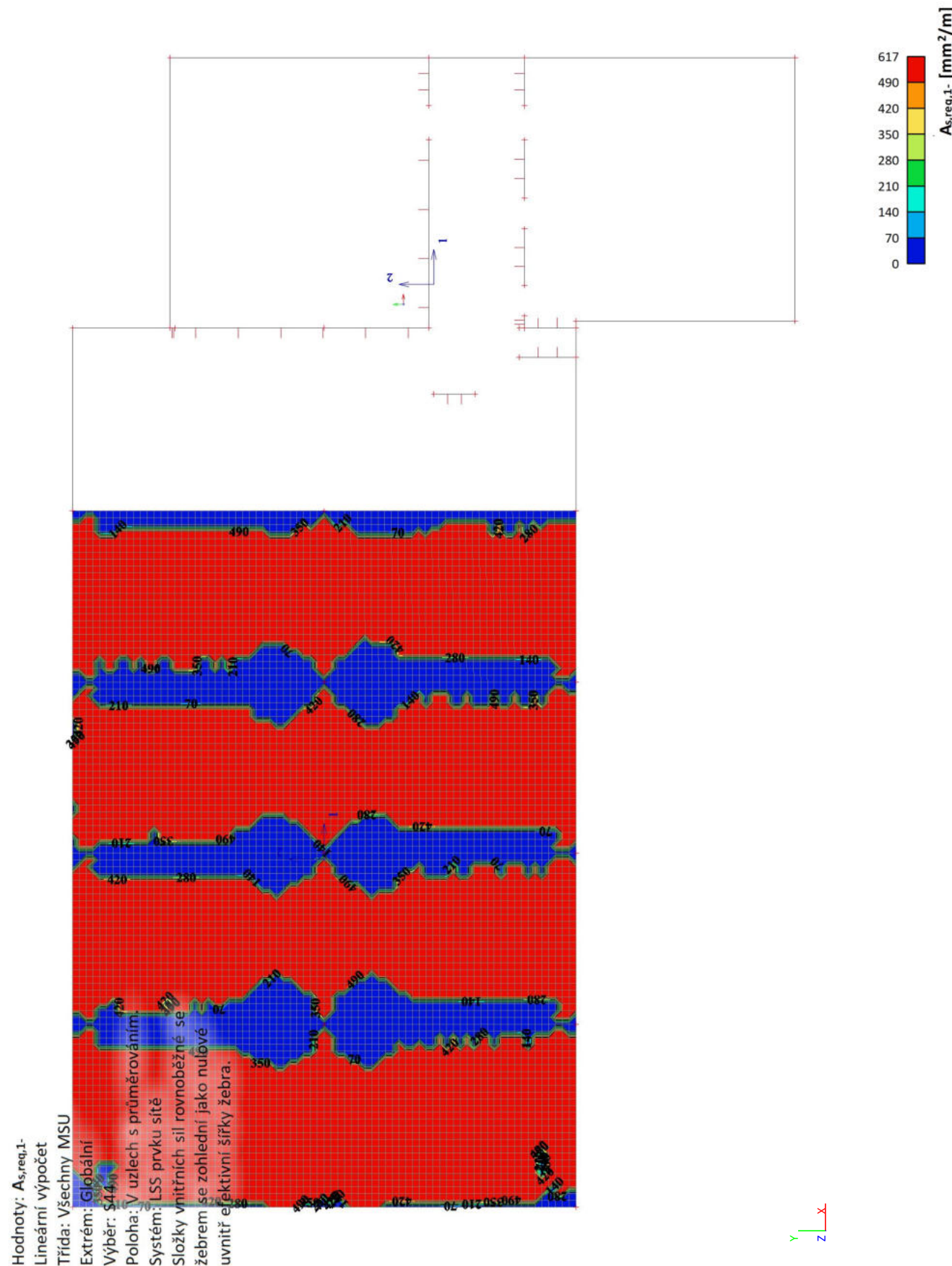
7.9.5. Návrh výztuže (MSÚ+MSP); $A_{s,req,1+}$



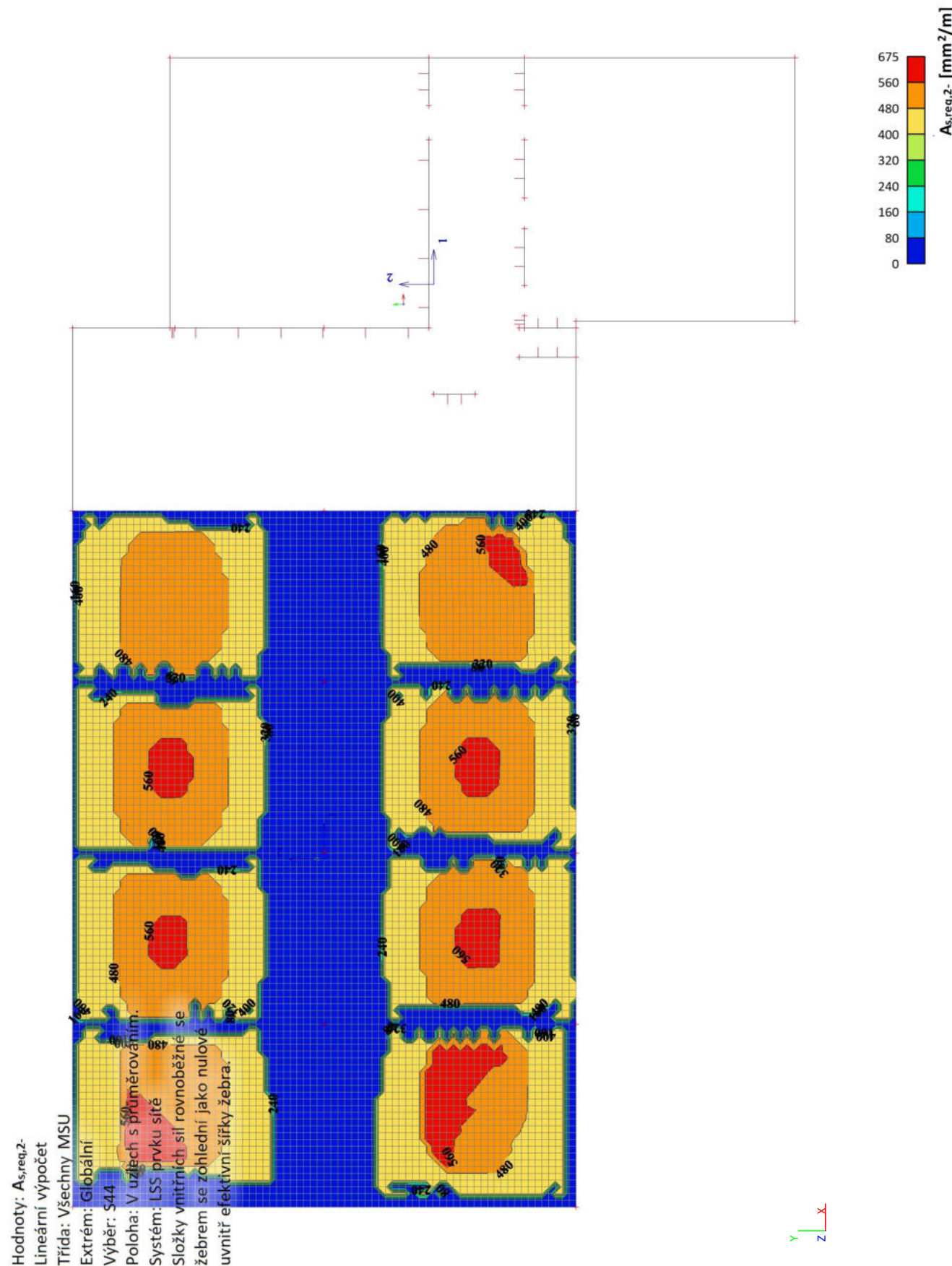
7.9.6. Návrh výztuže (MSÚ+MSP); $A_{s,req,2+}$



7.9.7. Návrh výztuže (MSÚ+MSP); $A_{s,req,1}$ -

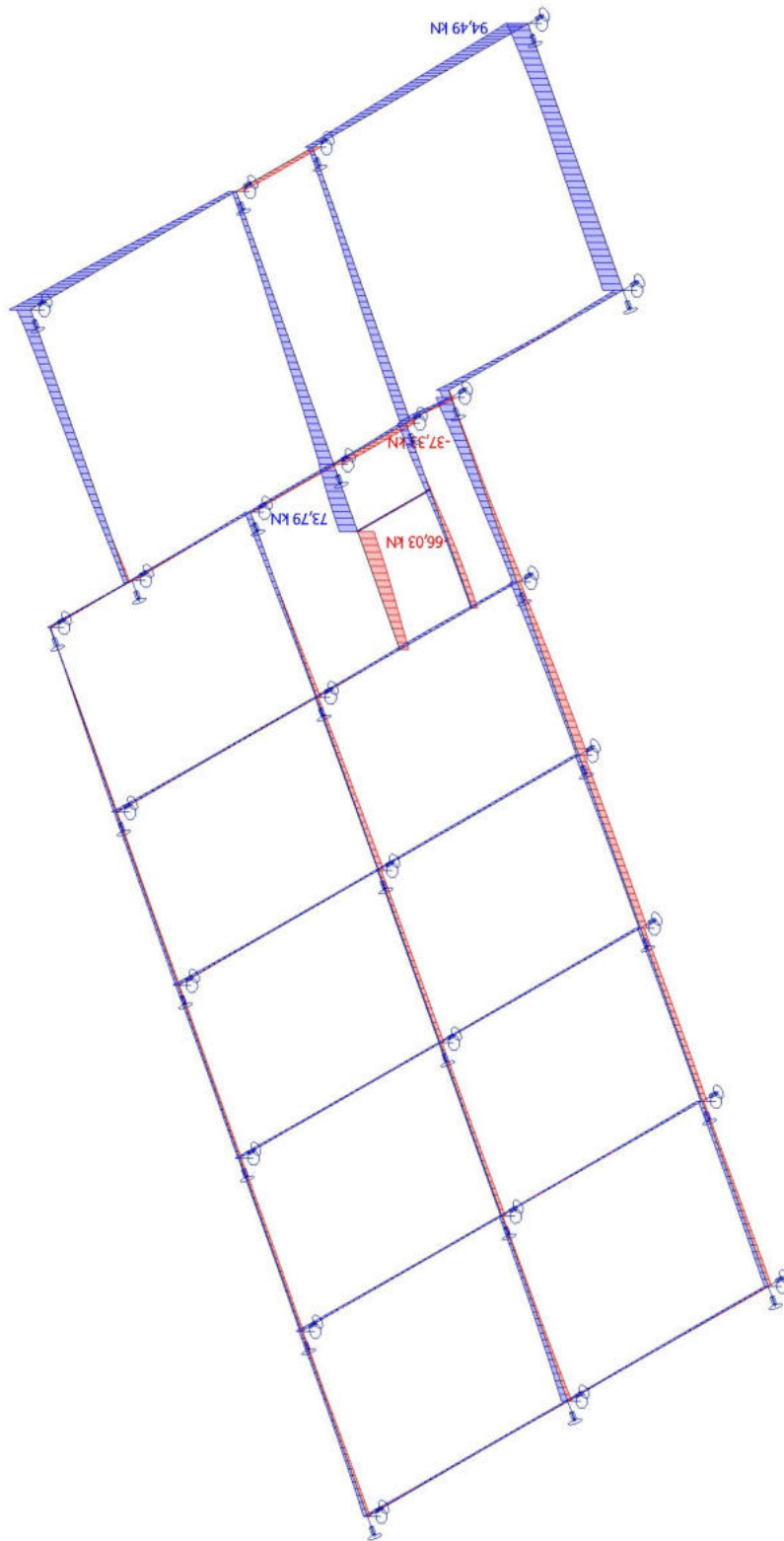


7.9.8. Návrh výztuže (MSÚ+MSP); $A_{s,req,2}$ -



7.10. Pasy

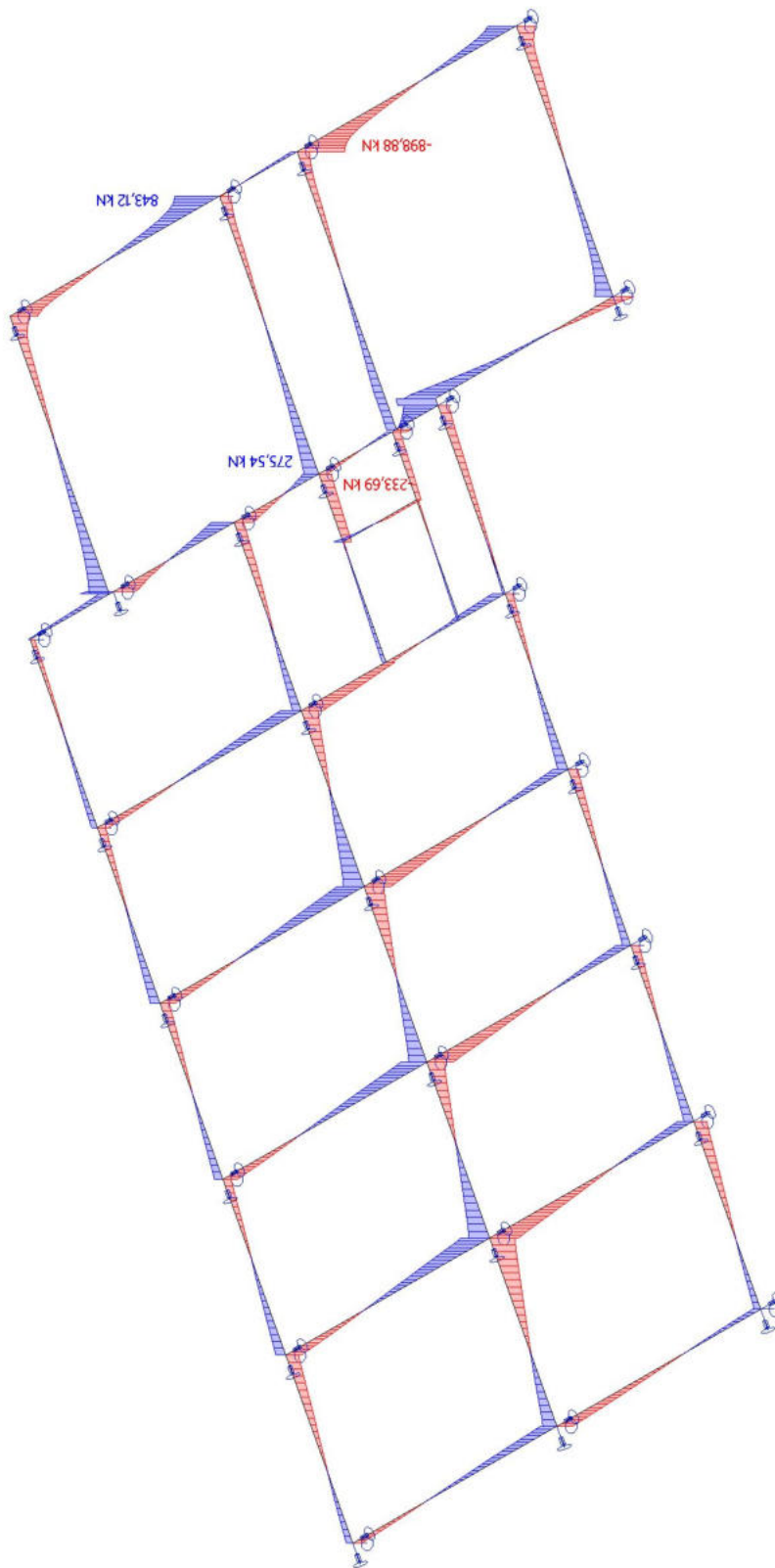
7.10.1. 1D vnitřní síly; N



Hodnoty: N
Lineární výpočet
Třída: Všechny MSU
Souřadný systém: Hlavní
Extrém 1D: Průřez
Výběr: Vše



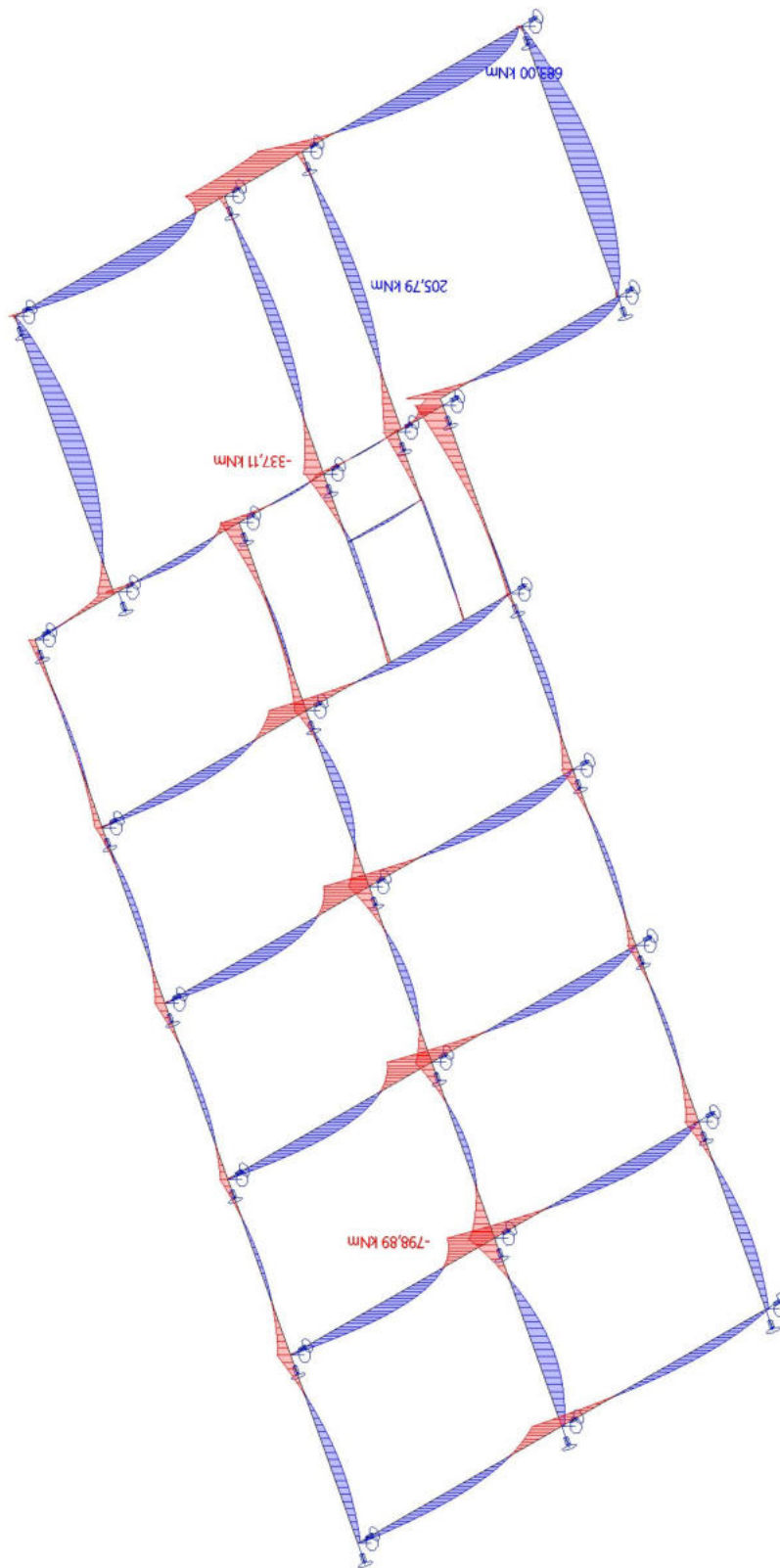
7.10.2. 1D vnitřní síly; V_z



Hodnoty: V_z
 Lineární výpočet
 Třída: Všechny MSU
 Souřadný systém: Hlavní
 Extrém 1D: Průřez
 Výběr: Vše

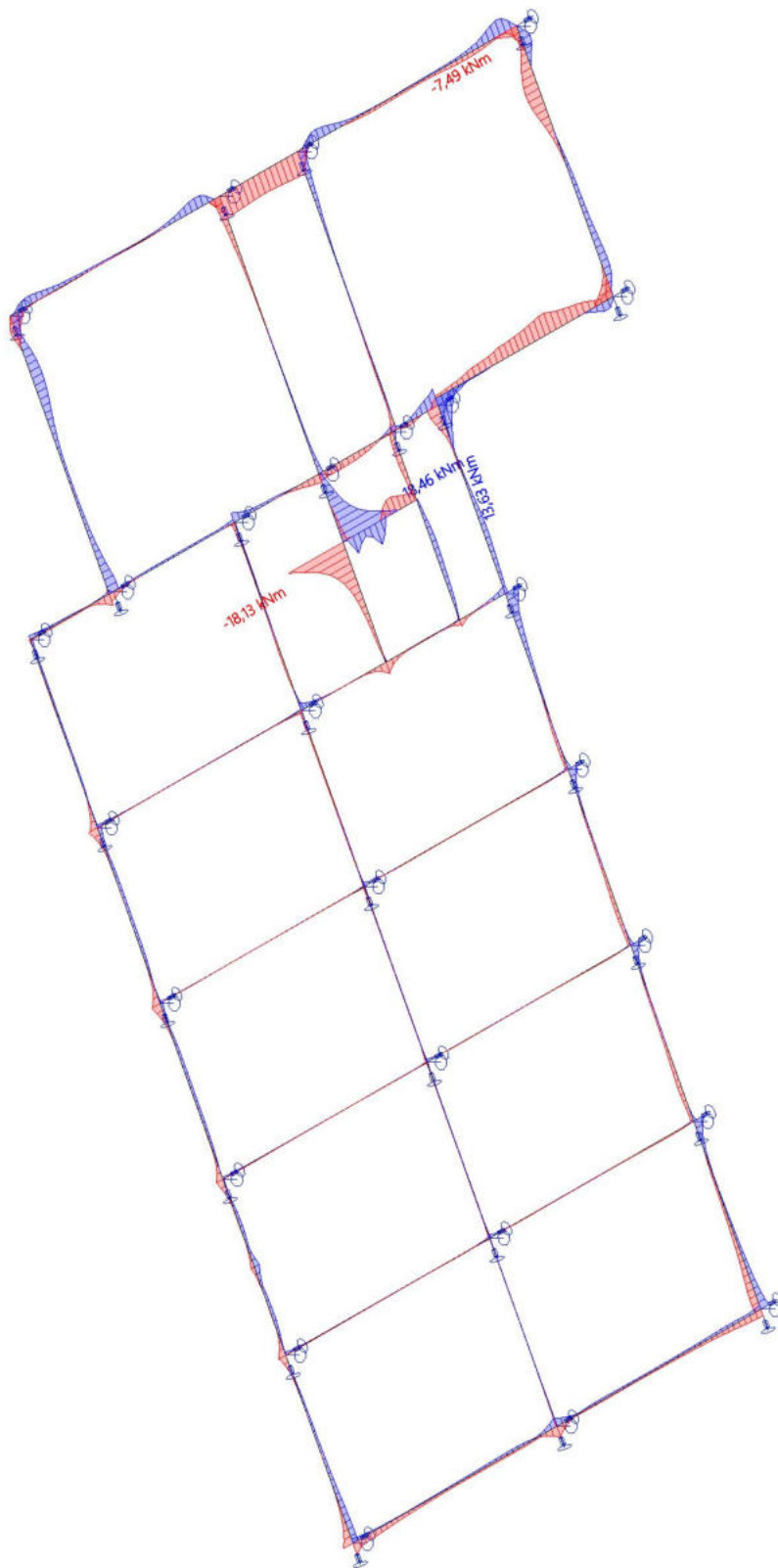
7.10.3. 1D vnitřní síly; M_y

Hodnoty: M_y
 Lineární výpočet
 Třída: Všechny MSU
 Souřadný systém: Hlavní
 Extrém 1D: Průřez
 Výběr: Vše



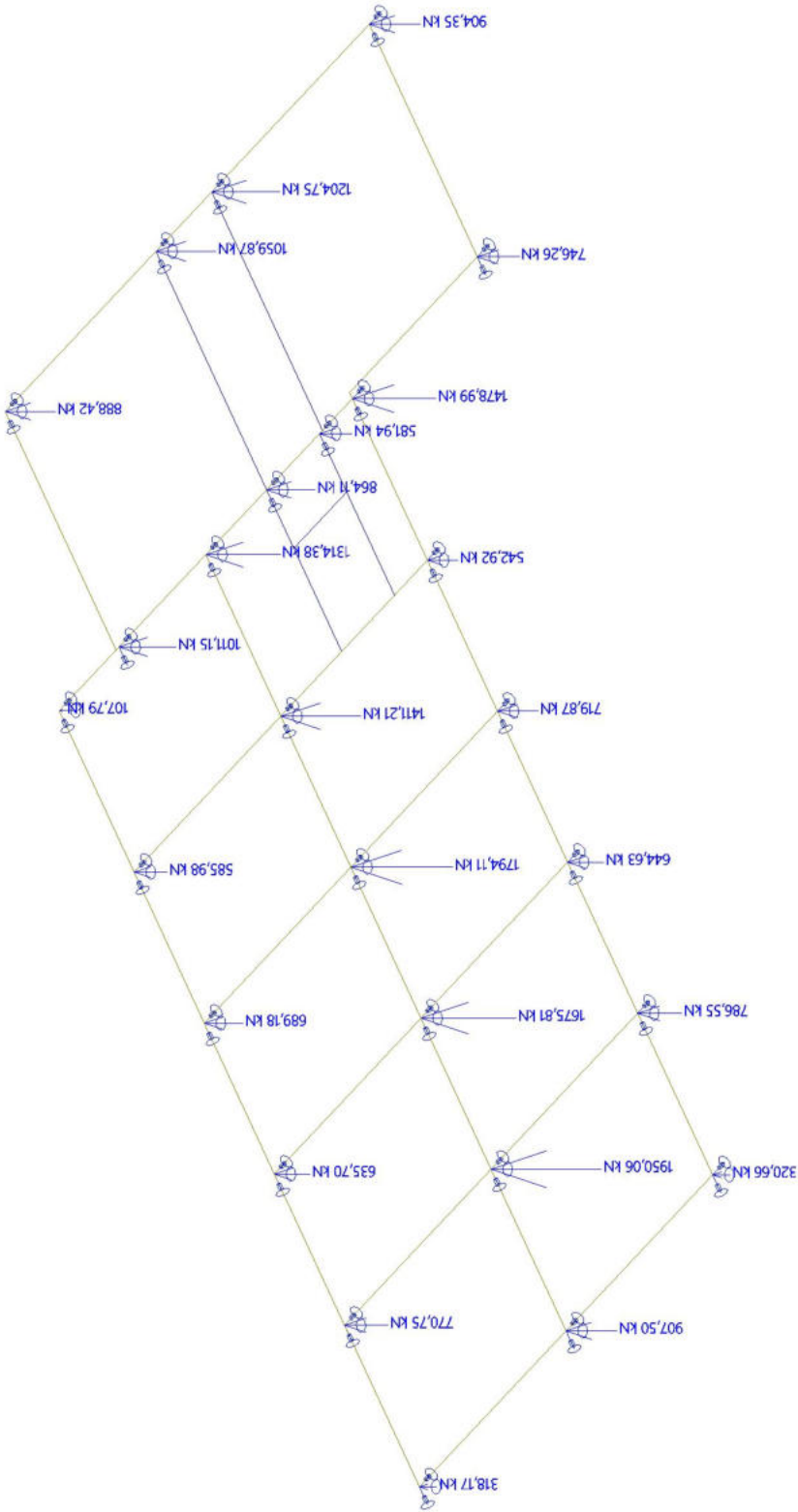
7.10.4. 1D vnitřní síly; M_z

Hodnoty: M_z
 Lineární výpočet
 Třída: Všechny MSU
 Souřadný systém: Hlavní
 Extrém 1D: Průřez
 Výběr: Vše



7.11. Reakce do pilot

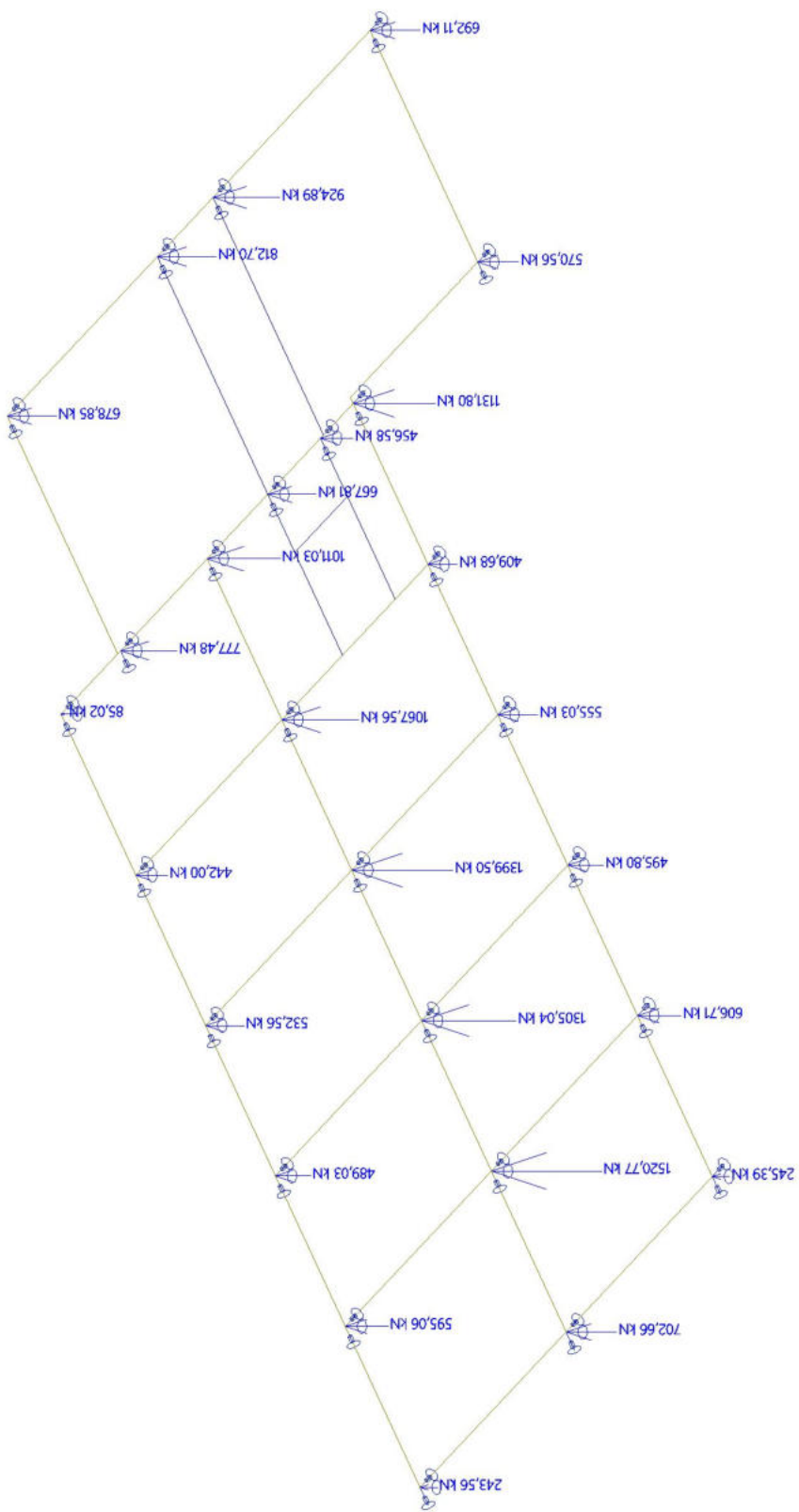
7.11.1. Reakce; R_{zd}



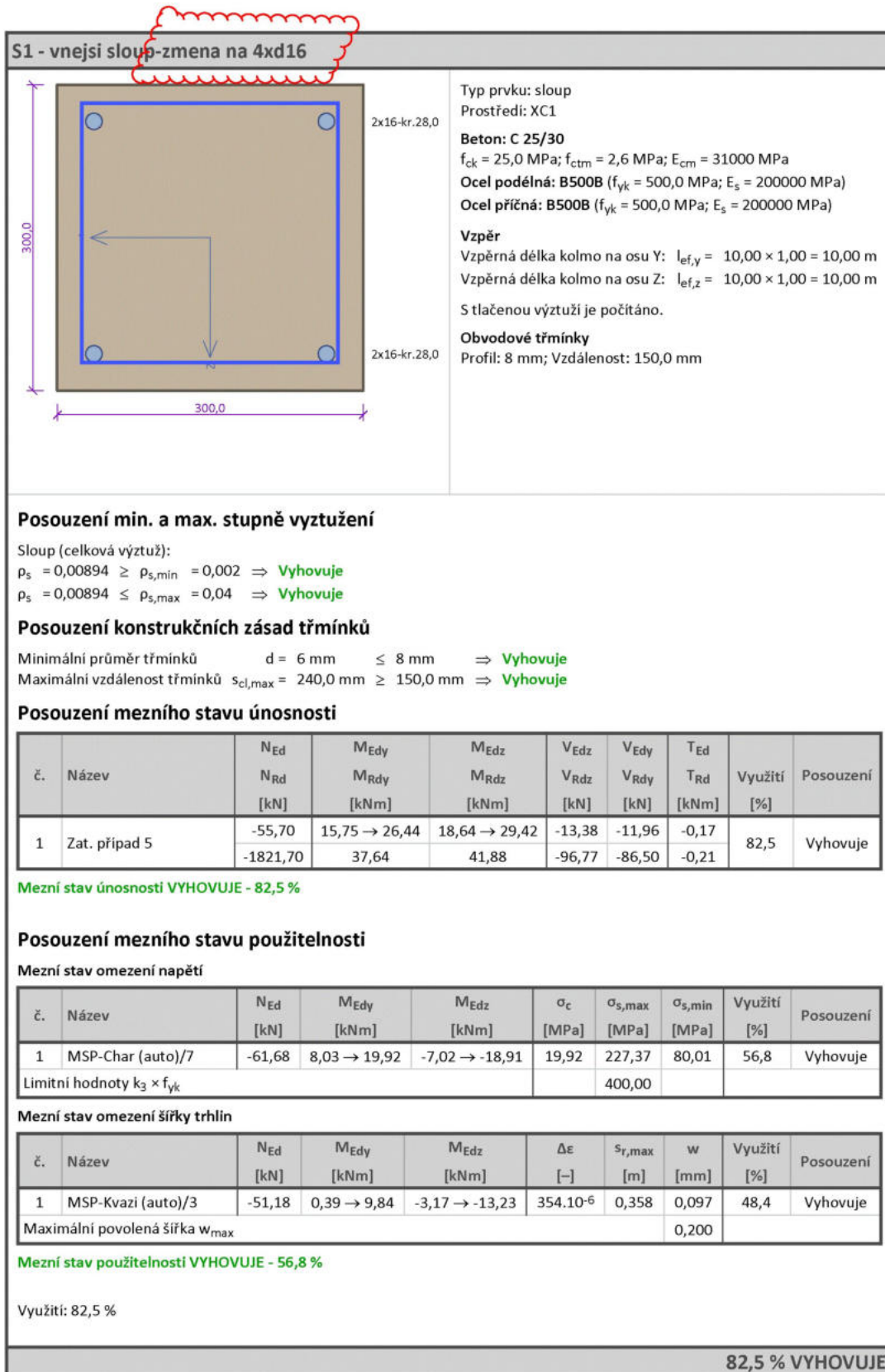
Hodnoty: R_z
Lineární výpočet
Třída: Všechny MSU
Systém: Globální
Extrém: Dílec
Výběr: Vše



7.11.2. Reakce; R_zk



7.12. Návrh železobetonových prvků (dle průřezu)



S1 - vnejsi sloup-zmena na 4xd16
82,5 % VYHOVUJE

S2 - vnitřní sloup__

400,0

400,0

3x16-kr.28,0

2x16-kr.192,0

3x16-kr.28,0

Typ prvku: sloup
Prostředí: XC1

Beton: C 25/30
 $f_{ck} = 25,0 \text{ MPa}$; $f_{ctm} = 2,6 \text{ MPa}$; $E_{cm} = 31000 \text{ MPa}$

Ocel podélná: B500B ($f_{yk} = 500,0 \text{ MPa}$; $E_s = 200000 \text{ MPa}$)

Ocel příčná: B500B ($f_{yk} = 500,0 \text{ MPa}$; $E_s = 200000 \text{ MPa}$)

Vzpěr
Vzpěrná délka kolmo na osu Y: $l_{ef,y} = 10,00 \times 1,00 = 10,00 \text{ m}$
Vzpěrná délka kolmo na osu Z: $l_{ef,z} = 10,00 \times 1,00 = 10,00 \text{ m}$

S tlačnou výztuží je počítáno.

Obvodové třmínky
Profil: 8 mm; Vzdálenost: 150,0 mm

Posouzení min. a max. stupně vyztužení

Sloup (celková výztuž):
 $\rho_s = 0,0101 \geq \rho_{s,min} = 0,002 \Rightarrow$ **Vyhovuje**
 $\rho_s = 0,0101 \leq \rho_{s,max} = 0,04 \Rightarrow$ **Vyhovuje**

Posouzení konstrukčních zásad třmínků

Minimální průměr třmínků $d = 6 \text{ mm} \leq 8 \text{ mm} \Rightarrow$ **Vyhovuje**
Maximální vzdálenost třmínků $s_{cl,max} = 240,0 \text{ mm} \geq 150,0 \text{ mm} \Rightarrow$ **Vyhovuje**
Maximální vzdálenost třmínků $s_{l,max} = 200,0 \text{ mm} \Rightarrow$ **Vyhovuje**

Posouzení mezního stavu únosnosti

č.	Název	N_{Ed} N_{Rd} [kN]	M_{Edy} M_{Rdy} [kNm]	M_{Edz} M_{Rdz} [kNm]	V_{Edz} V_{Rdz} [kN]	V_{Edy} V_{Rdy} [kN]	T_{Ed} T_{Rd} [kNm]	Využití [%]	Posouzení
1	Zat. případ 6	-328,57 -3310,06	-26,92 → -76,52 -109,46	-24,60 → -74,20 -106,14	16,17 151,27	14,61 136,68	-0,81 -7,58	69,9	Vyhovuje

Mezní stav únosnosti **VYHOVUJE - 69,9 %**

Posouzení mezního stavu použitelnosti

Mezní stav omezení napětí

č.	Název	N_{Ed} [kN]	M_{Edy} [kNm]	M_{Edz} [kNm]	σ_c [MPa]	$\sigma_{s,max}$ [MPa]	$\sigma_{s,min}$ [MPa]	Využití [%]	Posouzení
1	MSP-Char (auto)/6	-248,84	11,39 → 48,96	12,48 → 50,05	18,67	160,40	92,66	40,1	Vyhovuje
Limitní hodnoty $k_3 \times f_{yk}$						400,00			

Mezní stav omezení šířky trhlin

č.	Název	N_{Ed} [kN]	M_{Edy} [kNm]	M_{Edz} [kNm]	$\Delta\epsilon$ [-]	$s_{r,max}$ [mm]	w [mm]	Využití [%]	Posouzení
1	MSP-Kvazi (auto)/2	-159,59	-18,49 → -43,04	-8,12 → -31,54	$425 \cdot 10^{-6}$	0,292	0,124	31,0	Vyhovuje
Maximální povolená šířka w_{max}							0,400		

Mezní stav použitelnosti **VYHOVUJE - 40,1 %**

Využití: 69,9 %

69,9 % VYHOVUJE

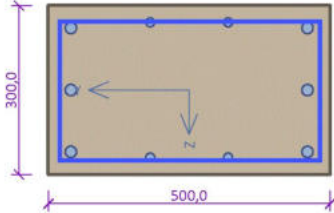
[FIN EC - Beton (32 bit) | verze 11.2022.41.0 | hardwarový klíč 10724 / 1 | Ing. Jan Vopička | Copyright © 2024 Fine spol. s r.o. All Rights Reserved | www.fine.cz]

115-22-SC101

REV01

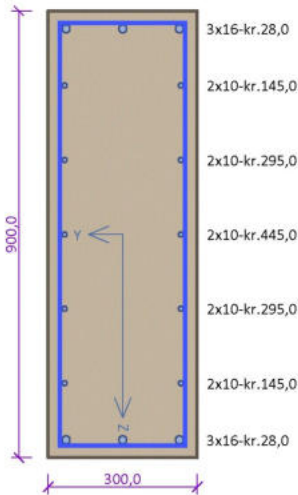
85/110

S2 - vnitřní sloup__
69,9 % VYHOVUJE

S4 - obvodový sloup																																																																																																																			
				<div>Typ prvku: sloup Prostředí: XC1</div> <div>Beton: C 25/30 f_{ck} = 25,0 MPa; f_{ctm} = 2,6 MPa; E_{cm} = 31000 MPa</div> <div>Ocel podélná: B500B (f_{yk} = 500,0 MPa; E_s = 200000 MPa)</div> <div>Ocel příčná: B500B (f_{yk} = 500,0 MPa; E_s = 200000 MPa)</div> <div>Vzpěr Vzpěrná délka kolmo na osu Y: l_{ef,y} = 10,00 × 1,00 = 10,00 m Vzpěrná délka kolmo na osu Z: l_{ef,z} = 10,00 × 1,00 = 10,00 m S tlačnou výztuží je počítáno.</div> <div>Obvodové třmínky Profil: 8 mm; Vzdálenost: 150,0 mm</div>																																																																																																															
<div>Posouzení min. a max. stupně vyztužení</div> <div>Sloup (celková výztuž): ρ_s = 0,0179 ≥ ρ_{s,min} = 0,002 ⇒ Vyhovuje ρ_s = 0,0179 ≤ ρ_{s,max} = 0,04 ⇒ Vyhovuje</div> <div>Posouzení konstrukčních zásad třmínků</div> <div>Minimální průměr třmínků d = 6 mm ≤ 8 mm ⇒ Vyhovuje Maximální vzdálenost třmínků s_{cl,max} = 240,0 mm ≥ 150,0 mm ⇒ Vyhovuje Maximální vzdálenost třmínků s_{l,max} = 200,0 mm ⇒ Vyhovuje</div> <div>Posouzení mezního stavu únosnosti</div> <table><tr><th>č.</th><th>Název</th><th>N_{Ed} N_{Rd} [kN]</th><th>M_{E_{dy}} M_{R_{dy}} [kNm]</th><th>M_{E_{dz}} M_{R_{dz}} [kNm]</th><th>V_{E_{dz}} V_{R_{dz}} [kN]</th><th>V_{E_{dy}} V_{R_{dy}} [kN]</th><th>T_{Ed} T_{Rd} [kNm]</th><th>Využití [%]</th><th>Posouzení</th></tr><tr><td rowspan="2">1</td><td rowspan="2">Zat. případ 10</td><td>-144,73</td><td>51,34 → 81,32</td><td>-42,88 → -59,71</td><td>-22,31</td><td>15,95</td><td>0,18</td><td rowspan="2">61,1</td><td rowspan="2">Vyhovuje</td></tr><tr><td>-3575,68</td><td>133,09</td><td>-97,73</td><td>-98,71</td><td>70,57</td><td>0,80</td></tr></table> <div>Mezní stav únosnosti VYHOVUJE - 61,1 %</div> <div>Posouzení mezního stavu použitelnosti</div> <div>Mezní stav omezení napětí</div> <table><tr><th>č.</th><th>Název</th><th>N_{Ed} [kN]</th><th>M_{E_{dy}} [kNm]</th><th>M_{E_{dz}} [kNm]</th><th>σ_c [MPa]</th><th>σ_{s,max} [MPa]</th><th>σ_{s,min} [MPa]</th><th>Využití [%]</th><th>Posouzení</th></tr><tr><td>1</td><td>MSP-Char (auto)/4</td><td>-123,69</td><td>13,93 → 39,55</td><td>-13,68 → -28,07</td><td>12,90</td><td>121,42</td><td>55,39</td><td>30,4</td><td>Vyhovuje</td></tr><tr><td colspan="5">Limitní hodnoty k₃ × f_{yk}</td><td></td><td>400,00</td><td></td><td></td><td></td></tr></table> <div>Mezní stav omezení šířky trhlin</div> <table><tr><th>č.</th><th>Název</th><th>N_{Ed} [kN]</th><th>M_{E_{dy}} [kNm]</th><th>M_{E_{dz}} [kNm]</th><th>Δε</th><th>s_{r,max} [m]</th><th>w [mm]</th><th>Využití [%]</th><th>Posouzení</th></tr><tr><td>1</td><td>MSP-Kvazi (auto)/2</td><td>-104,80</td><td>10,76 → 32,31</td><td>-5,41 → -18,25</td><td>271.10⁻⁶</td><td>0,218</td><td>0,059</td><td>14,8</td><td>Vyhovuje</td></tr><tr><td colspan="7">Maximální povolená šířka w_{max}</td><td>0,400</td><td></td><td></td></tr></table> <div>Mezní stav použitelnosti VYHOVUJE - 30,4 %</div> <div>Využití: 61,1 %</div> <tr><td colspan="10">61,1 % VYHOVUJE</td></tr> <tr><td colspan="10">[FIN EC - Beton (32 bit) verze 11.2022.41.0 hardwarový klíč 10724 / 1 Ing. Jan Vopička Copyright © 2024 Fine spol. s r.o. All Rights Reserved www.fine.cz]</td></tr>										č.	Název	N _{Ed} N _{Rd} [kN]	M _{E_{dy}} M _{R_{dy}} [kNm]	M _{E_{dz}} M _{R_{dz}} [kNm]	V _{E_{dz}} V _{R_{dz}} [kN]	V _{E_{dy}} V _{R_{dy}} [kN]	T _{Ed} T _{Rd} [kNm]	Využití [%]	Posouzení	1	Zat. případ 10	-144,73	51,34 → 81,32	-42,88 → -59,71	-22,31	15,95	0,18	61,1	Vyhovuje	-3575,68	133,09	-97,73	-98,71	70,57	0,80	č.	Název	N _{Ed} [kN]	M _{E_{dy}} [kNm]	M _{E_{dz}} [kNm]	σ _c [MPa]	σ _{s,max} [MPa]	σ _{s,min} [MPa]	Využití [%]	Posouzení	1	MSP-Char (auto)/4	-123,69	13,93 → 39,55	-13,68 → -28,07	12,90	121,42	55,39	30,4	Vyhovuje	Limitní hodnoty k ₃ × f _{yk}						400,00				č.	Název	N _{Ed} [kN]	M _{E_{dy}} [kNm]	M _{E_{dz}} [kNm]	Δε	s _{r,max} [m]	w [mm]	Využití [%]	Posouzení	1	MSP-Kvazi (auto)/2	-104,80	10,76 → 32,31	-5,41 → -18,25	271.10 ⁻⁶	0,218	0,059	14,8	Vyhovuje	Maximální povolená šířka w _{max}							0,400			61,1 % VYHOVUJE										[FIN EC - Beton (32 bit) verze 11.2022.41.0 hardwarový klíč 10724 / 1 Ing. Jan Vopička Copyright © 2024 Fine spol. s r.o. All Rights Reserved www.fine.cz]									
č.	Název	N _{Ed} N _{Rd} [kN]	M _{E_{dy}} M _{R_{dy}} [kNm]	M _{E_{dz}} M _{R_{dz}} [kNm]	V _{E_{dz}} V _{R_{dz}} [kN]	V _{E_{dy}} V _{R_{dy}} [kN]	T _{Ed} T _{Rd} [kNm]	Využití [%]	Posouzení																																																																																																										
1	Zat. případ 10	-144,73	51,34 → 81,32	-42,88 → -59,71	-22,31	15,95	0,18	61,1	Vyhovuje																																																																																																										
		-3575,68	133,09	-97,73	-98,71	70,57	0,80																																																																																																												
č.	Název	N _{Ed} [kN]	M _{E_{dy}} [kNm]	M _{E_{dz}} [kNm]	σ _c [MPa]	σ _{s,max} [MPa]	σ _{s,min} [MPa]	Využití [%]	Posouzení																																																																																																										
1	MSP-Char (auto)/4	-123,69	13,93 → 39,55	-13,68 → -28,07	12,90	121,42	55,39	30,4	Vyhovuje																																																																																																										
Limitní hodnoty k ₃ × f _{yk}						400,00																																																																																																													
č.	Název	N _{Ed} [kN]	M _{E_{dy}} [kNm]	M _{E_{dz}} [kNm]	Δε	s _{r,max} [m]	w [mm]	Využití [%]	Posouzení																																																																																																										
1	MSP-Kvazi (auto)/2	-104,80	10,76 → 32,31	-5,41 → -18,25	271.10 ⁻⁶	0,218	0,059	14,8	Vyhovuje																																																																																																										
Maximální povolená šířka w _{max}							0,400																																																																																																												
61,1 % VYHOVUJE																																																																																																																			
[FIN EC - Beton (32 bit) verze 11.2022.41.0 hardwarový klíč 10724 / 1 Ing. Jan Vopička Copyright © 2024 Fine spol. s r.o. All Rights Reserved www.fine.cz]																																																																																																																			

S4 - obvodový sloup
61,1 % VYHOVUJE

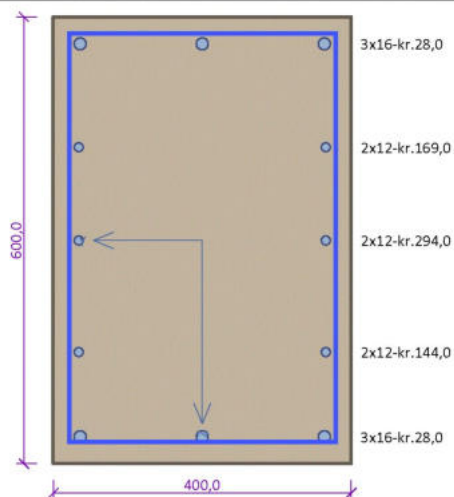
P1-1 - obvodové pruvlaky__									
č.	Název	N _{Ed} [kN]	M _{Edy} [kNm]	M _{Edz} [kNm]	Δε [-]	s _{r,max} [m]	w [mm]	Využití [%]	Posouzení
1	MSP-Kvazi (auto)/2	-1,64	0,67 → 0,69	-25,59 → -25,92	380.10 ⁻⁶	0,268	0,102	50,9	Vyhovuje
Maximální povolená šířka w _{max}							0,200		
Mezní stav použitelnosti VYHOVUJE - 56,7 %									
Využití: 56,7 %									
56,7 % VYHOVUJE									

P1-2 - stitove pruvlaky__																																																																	
				<p>Typ prvku: nosník Prostředí: XC1</p> <p>Beton: C 25/30 $f_{ck} = 25,0 \text{ MPa}$; $f_{ctm} = 2,6 \text{ MPa}$; $E_{cm} = 31000 \text{ MPa}$</p> <p>Ocel podélná: B500B ($f_{yk} = 500,0 \text{ MPa}$; $E_s = 200000 \text{ MPa}$)</p> <p>Ocel příčná: B500B ($f_{yk} = 500,0 \text{ MPa}$; $E_s = 200000 \text{ MPa}$)</p> <p>Vzpěr Vzpěrná délka kolmo na osu Y: $l_{ef,y} = 10,00 \times 1,00 = 10,00 \text{ m}$ Vzpěrná délka kolmo na osu Z: $l_{ef,z} = 10,00 \times 1,00 = 10,00 \text{ m}$</p> <p>S tlačnou výztuží je počítáno.</p> <p>Obvodové třmínky Profil: 8 mm; Vzdálenost: 150,0 mm</p> <p>Spony, vnitřní třmínky vodorovné Profil: 2 mm; Vzdálenost: 150,0 mm; Střihy: 4</p>																																																													
<p>Posouzení min. a max. stupně vyztužení</p> <p>Nosník (tažená výztuž - minimum, celková výztuž - maximum): $\rho_{s,t} = 0,00312 \geq \rho_{s,min} = 0,00135 \Rightarrow$ Vyhovuje $\rho_s = 0,00738 \leq \rho_{s,max} = 0,04 \Rightarrow$ Vyhovuje</p> <p>Stupeň vyztužení smykovou výztuží - Posouzení svisle</p> <p>$\rho_{w,min} = 0,0008 \leq \rho_w = 0,00223 \Rightarrow$ Vyhovuje Maximální vzdálenost třmínků $s_{l,max} = 400,0 \text{ mm} \geq 150,0 \text{ mm} \Rightarrow$ Vyhovuje Maximální vzdálenost větví třmínků $s_{t,max} = 599,5 \text{ mm} \geq 258,0 \text{ mm} \Rightarrow$ Vyhovuje</p> <p>Stupeň vyztužení smykovou výztuží - Posouzení vodorovně</p> <p>$\rho_{w,min} = 0,0008 \leq \rho_w = 0,000838 \Rightarrow$ Vyhovuje Maximální vzdálenost třmínků $s_{l,max} = 199,1 \text{ mm} \geq 150,0 \text{ mm} \Rightarrow$ Vyhovuje Maximální vzdálenost větví třmínků $s_{t,max} = 199,1 \text{ mm} \geq 171,6 \text{ mm} \Rightarrow$ Vyhovuje Maximální vzdálenost třmínků $s_{l,max} = 300,0 \text{ mm} \Rightarrow$ Vyhovuje</p> <p>Posouzení mezního stavu únosnosti</p> <table><tr><th>č.</th><th>Název</th><th>N_{Ed} N_{Rd} [kN]</th><th>M_{Edy} M_{Rdy} [kNm]</th><th>M_{Edz} M_{Rdz} [kNm]</th><th>V_{Edz} V_{Rdz} [kN]</th><th>V_{Edy} V_{Rdy} [kN]</th><th>T_{Ed} T_{Rd} [kNm]</th><th>Využití [%]</th><th>Posouzení</th></tr><tr><td rowspan="2">1</td><td rowspan="2">Zat. případ 7</td><td>75,30</td><td>-29,79 → -30,83</td><td>0,31 → 0,32</td><td>50,38</td><td>0,00</td><td>-3,24</td><td rowspan="2">30,1</td><td rowspan="2">Vyhovuje</td></tr><tr><td>928,02</td><td>-342,34</td><td>3,55</td><td>167,20</td><td>0,00</td><td>-10,75</td></tr></table> <p>Mezní stav únosnosti VYHOVUJE - 30,1 %</p> <p>Posouzení mezního stavu použitelnosti</p> <p>Mezní stav omezení napětí</p> <table><tr><th>č.</th><th>Název</th><th>N_{Ed} [kN]</th><th>M_{Edy} [kNm]</th><th>M_{Edz} [kNm]</th><th>σ_c [MPa]</th><th>$\sigma_{s,max}$ [MPa]</th><th>$\sigma_{s,min}$ [MPa]</th><th>Využití [%]</th><th>Posouzení</th></tr><tr><td>1</td><td>MSP-Char (auto)/5</td><td>-3,70</td><td>-0,63</td><td>-55,89 → -56,65</td><td>9,93</td><td>257,23</td><td>24,32</td><td>64,3</td><td>Vyhovuje</td></tr><tr><td colspan="5">Limitní hodnoty $k_3 \times f_{yk}$</td><td></td><td>400,00</td><td></td><td></td><td></td></tr></table> <p>Mezní stav omezení šířky trhlin</p>										č.	Název	N_{Ed} N_{Rd} [kN]	M_{Edy} M_{Rdy} [kNm]	M_{Edz} M_{Rdz} [kNm]	V_{Edz} V_{Rdz} [kN]	V_{Edy} V_{Rdy} [kN]	T_{Ed} T_{Rd} [kNm]	Využití [%]	Posouzení	1	Zat. případ 7	75,30	-29,79 → -30,83	0,31 → 0,32	50,38	0,00	-3,24	30,1	Vyhovuje	928,02	-342,34	3,55	167,20	0,00	-10,75	č.	Název	N_{Ed} [kN]	M_{Edy} [kNm]	M_{Edz} [kNm]	σ_c [MPa]	$\sigma_{s,max}$ [MPa]	$\sigma_{s,min}$ [MPa]	Využití [%]	Posouzení	1	MSP-Char (auto)/5	-3,70	-0,63	-55,89 → -56,65	9,93	257,23	24,32	64,3	Vyhovuje	Limitní hodnoty $k_3 \times f_{yk}$						400,00			
č.	Název	N_{Ed} N_{Rd} [kN]	M_{Edy} M_{Rdy} [kNm]	M_{Edz} M_{Rdz} [kNm]	V_{Edz} V_{Rdz} [kN]	V_{Edy} V_{Rdy} [kN]	T_{Ed} T_{Rd} [kNm]	Využití [%]	Posouzení																																																								
1	Zat. případ 7	75,30	-29,79 → -30,83	0,31 → 0,32	50,38	0,00	-3,24	30,1	Vyhovuje																																																								
		928,02	-342,34	3,55	167,20	0,00	-10,75																																																										
č.	Název	N_{Ed} [kN]	M_{Edy} [kNm]	M_{Edz} [kNm]	σ_c [MPa]	$\sigma_{s,max}$ [MPa]	$\sigma_{s,min}$ [MPa]	Využití [%]	Posouzení																																																								
1	MSP-Char (auto)/5	-3,70	-0,63	-55,89 → -56,65	9,93	257,23	24,32	64,3	Vyhovuje																																																								
Limitní hodnoty $k_3 \times f_{yk}$						400,00																																																											
79,1 % VYHOVUJE																																																																	
[FIN EC - Beton (32 bit) verze 11.2022.41.0 hardwarový klíč 10724 / 1 Ing. Jan Vopička Copyright © 2024 Fine spol. s r.o. All Rights Reserved www.fine.cz]																																																																	

P1-2 - stitove pruvlaky__									
č.	Název	N_{Ed} [kN]	M_{Edy} [kNm]	M_{Edz} [kNm]	$\Delta\epsilon$ [-]	$s_{r,max}$ [m]	w [mm]	Využití [%]	Posouzení
1	MSP-Kvazi (auto)/2	37,70	-1,42 → -1,44	31,73 → 32,25	$502 \cdot 10^{-6}$	0,315	0,158	79,1	Vyhovuje
Maximální povolená šířka w_{max}							0,200		
Mezní stav použitelnosti VYHOVUJE - 79,1 %									
Využití: 79,1 %									
79,1 % VYHOVUJE									

P1-3 - pruvlak rozdelujici budovy__									
č.	Název	N_{Ed} [kN]	M_{Edy} [kNm]	M_{Edz} [kNm]	$\Delta\epsilon$ [–]	$s_{r,max}$ [m]	w [mm]	Využití [%]	Posouzení
1	MSP-Kvazi (auto)/1	-0,38	9,64 → 9,64	60,99 → 60,99	$388 \cdot 10^{-6}$	0,410	0,159	79,5	Vyhovuje
Maximální povolená šířka w_{max}							0,200		
Mezní stav použitelnosti VYHOVUJE - 79,5 %									
Využití: 79,5 %									
79,5 % VYHOVUJE									

P1-4 - hlavní pruvlaky - d20 na d16 1-střih TŘ



Typ prvku: nosník

Prostředí: XC1

Beton: C 25/30

 $f_{ck} = 25,0 \text{ MPa}; f_{ctm} = 2,6 \text{ MPa}; E_{cm} = 31000 \text{ MPa}$

Ocel podélná: B500B ($f_{yk} = 500,0 \text{ MPa}$; $E_s = 200000 \text{ MPa}$)

Ocel příčná: B500B ($f_{yk} = 500,0 \text{ MPa}$; $E_s = 200000 \text{ MPa}$)

Vzpěr

Vzpěrná délka kolmo na osu Y: $l_{ef,y} = 10,00 \times 1,00 = 10,00 \text{ m}$

Vzpěrná délka kolmo na osu Z: $l_{ef,z} = 10,00 \times 1,00 = 10,00 \text{ m}$

S tlačnou výztuží je počítáno.

Obvodové třmínky

Profil: 8 mm; Vzdálenost: 150,0 mm

Spony, vnitřní třmínky vodorovné

Profil: 2 mm; Vzdálenost: 150,0 mm; Střihy: 2

Posouzení min. a max. stupně vyztužení

Nosník (tažená výztuž - minimum, celková výztuž - maximum):

$$\rho_{s,t} = 0,00389 \geq \rho_{s,\min} = 0,00135 \Rightarrow \text{Vyhovuje}$$

$$\rho_s = 0,00785 \leq \rho_{s, \max} = 0,04 \Rightarrow \text{Vyhovuje}$$

Stupeň vyztužení smykovou výztuží - Posouzení svisle

$$\rho_{w,\min} = 0,0008 \leq \rho_w = 0,00168 \Rightarrow \text{Vyhovuje}$$

Maximální vzdálenost třmínků $s_{l, \max} = 399,7 \text{ mm} \geq 150,0 \text{ mm} \Rightarrow$ **Vyhovuje**

Maximální vzdálenost větví třmíneků $s_{t,max} = 399,7 \text{ mm} \geq 358,0 \text{ mm} \Rightarrow$ **Vyhovuje**

Stupeň vyztužení smykovou výztuží - Posouzení vodorovně

$$\rho_{w,\min} = 0,0008 \leq \rho_w = 0,00119 \Rightarrow \text{Vyhovuje}$$

Maximální vzdálenost třmínků $s_{l,max} = 273,7 \text{ mm} \geq 150,0 \text{ mm} \Rightarrow$ **Vyhovuje**

Maximální vzdálenost větví třmíneků $s_{t,max} = 273,7 \text{ mm} \geq 186,0 \text{ mm} \Rightarrow$ **Vyhovuje**

Maximální vzdálenost třmínků $s_{l,max} = 250,0 \text{ mm} \Rightarrow \text{Vyhovuje}$

Posouzení mezního stavu únosnosti

Č.	Název	N _{Ed} N _{Rd} [kN]	M _{Edy} M _{Rdy} [kNm]	M _{Edz} M _{Rdz} [kNm]	V _{Edz} V _{Rdz} [kN]	V _{Edy} V _{Rdy} [kN]	T _{Ed} T _{Rd} [kNm]	Využití [%]	Posouzení
1	Zat. případ 8	-11,16 -4753,98	-99,37 → -99,52 -224,42	2,09 → 3,65 8,23	-105,14 -255,37	0,78 1,89	0,02 0,05	44,3	Vyhovuje

Mezní stav únosnosti VYHOVUJE - 44,3 %

Posouzení mezního stavu použitelnosti

Mezní stav omezení napětí

č.	Název	N_{Ed} [kN]	M_{Edy} [kNm]	M_{Edz} [kNm]	σ_c [MPa]	$\sigma_{s,max}$ [MPa]	$\sigma_{s,min}$ [MPa]	Využití [%]	Posouzení
1	MSP-Char (auto)/7	-7,67	0,64	-79,82 → -81,00	10,94	283,27	37,67	70,8	Vyhovuje
	Limitní hodnoty $k_3 \times f_{yk}$					400,00			

Mezní stav omezení šířky trhlin

70,8 % VYHOVUJE

P1-4 - hlavní pruvlaky - d20 na d16 1-střih TŘ									
č.	Název	N _{Ed} [kN]	M _{Edy} [kNm]	M _{Edz} [kNm]	Δε [–]	s _{r,max} [m]	w [mm]	Využití [%]	Posouzení
1	MSP-Kvazi (auto)/3	30,85	1,22	35,59 → 36,01	435.10 ⁻⁶	0,439	0,122	61,1	Vyhovuje
Maximální povolená šířka w _{max}							0,200		
Mezní stav použitelnosti VYHOVUJE - 70,8 %									
Využití: 70,8 %									
70,8 % VYHOVUJE									

V1-1_

2x10-kr.28,0
navazující Spiroll
3x12-kr.139,0
3x12-kr.28,0
430,0
300,0

Typ prvku: nosník
Prostředí: XC1

Beton: C 25/30
 $f_{ck} = 25,0 \text{ MPa}$; $f_{ctm} = 2,6 \text{ MPa}$; $E_{cm} = 31000 \text{ MPa}$
Ocel podélná: B500B ($f_{yk} = 500,0 \text{ MPa}$; $E_s = 200000 \text{ MPa}$)
Ocel příčná: B500B ($f_{yk} = 500,0 \text{ MPa}$; $E_s = 200000 \text{ MPa}$)

Vzpěr
Vzpěrná délka kolmo na osu Y: $l_{ef,y} = 16,00 \times 1,00 = 16,00 \text{ m}$
Vzpěrná délka kolmo na osu Z: $l_{ef,z} = 16,00 \times 1,00 = 16,00 \text{ m}$
S tlačnou výztuží je počítáno.

Obvodové třmínky
Profil: 8 mm; Vzdálenost: 150,0 mm

Spony, vnitřní třmínky svislé
Profil: 8 mm; Vzdálenost: 150,0 mm; Střihy: 1

Posouzení min. a max. stupně výztužení

Nosník (tažená výztuž - minimum, celková výztuž - maximum):
 $\rho_{s,t} = 0,00188 \geq \rho_{s,min} = 0,00135 \Rightarrow$ **Vyhovuje**
 $\rho_s = 0,00913 \leq \rho_{s,max} = 0,04 \Rightarrow$ **Vyhovuje**

Stupeň výztužení smykovou výztuží - Posouzení svisle

$\rho_{w,min} = 0,0008 \leq \rho_w = 0,0067 \Rightarrow$ **Vyhovuje**
Maximální vzdálenost třmínků $s_{l,max} = 297,8 \text{ mm} \geq 150,0 \text{ mm} \Rightarrow$ **Vyhovuje**
Maximální vzdálenost větví třmínků $s_{t,max} = 297,8 \text{ mm}$

Stupeň výztužení smykovou výztuží - Posouzení vodorovně

$\rho_{w,min} = 0,0008 \leq \rho_w = 0,00372 \Rightarrow$ **Vyhovuje**
Maximální vzdálenost třmínků $s_{l,max} = 199,5 \text{ mm} \geq 150,0 \text{ mm} \Rightarrow$ **Vyhovuje**
Maximální vzdálenost větví třmínků $s_{t,max} = 199,5 \text{ mm}$
Maximální vzdálenost třmínků $s_{l,max} = 182,5 \text{ mm} \Rightarrow$ **Vyhovuje**

Posouzení mezního stavu únosnosti

č.	Název	N_{Ed} N_{Rd} [kN]	M_{Edy} M_{Rdy} [kNm]	M_{Edz} M_{Rdz} [kNm]	V_{Edz} V_{Rdz} [kN]	V_{Edy} V_{Rdy} [kN]	T_{Ed} T_{Rd} [kNm]	Využití [%]	Posouzení
1	Zat. případ 8	-1,51 -1859,27	38,09 → 38,65 56,16	4,82 → 5,61 8,14	2,76 63,24	0,47 10,77	0,70 16,04	68,8	Vyhovuje

Mezní stav únosnosti **VYHOVUJE - 68,8 %**

Využití: 68,8 %

68,8 % VYHOVUJE

[FIN EC - Beton (32 bit) | verze 11.2022.41.0 | hardwarový klíč 10724 / 1 | Ing. Jan Vopička | Copyright © 2024 Fine spol. s r.o. All Rights Reserved | www.fine.cz]

V1-2_

Typ prvku: nosník
Prostředí: XC1

Beton: C 25/30
 $f_{ck} = 25,0 \text{ MPa}$; $f_{ctm} = 2,6 \text{ MPa}$; $E_{cm} = 31000 \text{ MPa}$

Ocel podélná: B500B ($f_{yk} = 500,0 \text{ MPa}$; $E_s = 200000 \text{ MPa}$)
Ocel příčná: B500B ($f_{yk} = 500,0 \text{ MPa}$; $E_s = 200000 \text{ MPa}$)

Vzpěr
Vzpěrná délka kolmo na osu Y: $l_{ef,y} = 16,00 \times 1,00 = 16,00 \text{ m}$
Vzpěrná délka kolmo na osu Z: $l_{ef,z} = 16,00 \times 1,00 = 16,00 \text{ m}$

S tlačnou výztuží je počítáno.

Obvodové třmínky
Profil: 8 mm; Vzdálenost: 150,0 mm

Spony, vnitřní třmínky vodorovné
Profil: 8 mm; Vzdálenost: 150,0 mm; Střihy: 1

Posouzení min. a max. stupně výztužení

Nosník (tažená výztuž - minimum, celková výztuž - maximum):
 $\rho_{s,t} = 0,00286 \geq \rho_{s,min} = 0,00135 \Rightarrow$ **Vyhovuje**
 $\rho_s = 0,00701 \leq \rho_{s,max} = 0,04 \Rightarrow$ **Vyhovuje**

Stupeň výztužení smykovou výztuží - Posouzení svise

$\rho_{w,min} = 0,0008 \leq \rho_w = 0,00223 \Rightarrow$ **Vyhovuje**
Maximální vzdálenost třmínků $s_{l,max} = 297,0 \text{ mm} \geq 150,0 \text{ mm} \Rightarrow$ **Vyhovuje**
Maximální vzdálenost větví třmínků $s_{t,max} = 297,0 \text{ mm} \geq 252,0 \text{ mm} \Rightarrow$ **Vyhovuje**

Stupeň výztužení smykovou výztuží - Posouzení vodorovně

$\rho_{w,min} = 0,0008 \leq \rho_w = 0,00234 \Rightarrow$ **Vyhovuje**
Maximální vzdálenost třmínků $s_{l,max} = 199,5 \text{ mm} \geq 150,0 \text{ mm} \Rightarrow$ **Vyhovuje**
Maximální vzdálenost větví třmínků $s_{t,max} = 199,5 \text{ mm} \geq 191,0 \text{ mm} \Rightarrow$ **Vyhovuje**

Maximální vzdálenost třmínků $s_{l,max} = 182,5 \text{ mm} \Rightarrow$ **Vyhovuje**

Posouzení mezního stavu únosnosti

č.	Název	N_{Ed} N_{Rd} [kN]	M_{Edy} M_{Rdy} [kNm]	M_{Edz} M_{Rdz} [kNm]	V_{Edz} V_{Rdz} [kN]	V_{Edy} V_{Rdy} [kN]	Využití [%]	Posouzení
1	Zat. případ 7	13,31 421,56	-37,91 \rightarrow -38,17 -65,21	6,49 \rightarrow 6,53 11,13	17,22 112,60	21,58 141,11	58,7	Vyhovuje

Mezní stav únosnosti VYHOVUJE - 58,7 %

Využití: 58,7 %

58,7 % VYHOVUJE

V3-1_

Typ prvku: nosník
Prostředí: XC1

Beton: C 25/30
 $f_{ck} = 25,0 \text{ MPa}$; $f_{ctm} = 2,6 \text{ MPa}$; $E_{cm} = 31000 \text{ MPa}$

Ocel podélná: B500B ($f_{yk} = 500,0 \text{ MPa}$; $E_s = 200000 \text{ MPa}$)

Ocel příčná: B500B ($f_{yk} = 500,0 \text{ MPa}$; $E_s = 200000 \text{ MPa}$)

Vzpěr
Vzpěr není uvažován
S tlačnou výztuží je počítáno.

Obvodové třmínky
Profil: 8 mm; Vzdálenost: 100,0 mm

Spony, vnitřní třmínky svislé
Profil: 8 mm; Vzdálenost: 150,0 mm; Střihy: 1

Posouzení min. a max. stupně výztužení
Nosník (tažená výztuž - minimum, celková výztuž - maximum):
 $\rho_{s,t} = 0,00284 \geq \rho_{s,min} = 0,00135 \Rightarrow$ **Vyhovuje**
 $\rho_s = 0,00861 \leq \rho_{s,max} = 0,04 \Rightarrow$ **Vyhovuje**

Stupeň výztužení smykovou výztuží - Posouzení svisle
 $\rho_{w,min} = 0,0008 \leq \rho_w = 0,00894 \Rightarrow$ **Vyhovuje**
Maximální vzdálenost třmínků $s_{l,max} = 354,4 \text{ mm} \geq 100,0 \text{ mm} \Rightarrow$ **Vyhovuje**
Maximální vzdálenost větví třmínků $s_{t,max} = 354,4 \text{ mm}$

Stupeň výztužení smykovou výztuží - Posouzení vodorovně
 $\rho_{w,min} = 0,0008 \leq \rho_w = 0,00314 \Rightarrow$ **Vyhovuje**
Maximální vzdálenost třmínků $s_{l,max} = 175,8 \text{ mm} \geq 100,0 \text{ mm} \Rightarrow$ **Vyhovuje**
Maximální vzdálenost větví třmínků $s_{t,max} = 175,8 \text{ mm}$

Posouzení mezního stavu únosnosti

č.	Název	N_{Ed} N_{Rd} [kN]	M_{Edy} M_{Rdy} [kNm]	M_{Edz} M_{Rdz} [kNm]	V_{Edz} V_{Rdz} [kN]	V_{Edy} V_{Rdy} [kN]	Využití [%]	Posouzení
1	Zat. případ 6	10,93 535,74	-20,84 → -21,06 -102,27	-0,24 → -0,24 -0,90	225,62 264,21	56,54 66,21	85,4	Vyhovuje

Mezní stav únosnosti VYHOVUJE - 85,4 %

Využití: 85,4 %

85,4 % VYHOVUJE

[FIN EC - Beton (32 bit) | verze 11.2022.41.0 | hardwarový klíč 10724 / 1 | Ing. Jan Vopička | Copyright © 2024 Fine spol. s r.o. All Rights Reserved | www.fine.cz]

115-22-SC101

REV01

100/110

V3-3_

2x12-kr.28,0
navazující Spiroll
H250
3x14-kr.278,0
3x14-kr.243,0
3x12-kr.28,0
300,0
750,0

Typ prvku: nosník
Prostředí: XC1

Beton: C 25/30
 $f_{ck} = 25,0 \text{ MPa}$; $f_{ctm} = 2,6 \text{ MPa}$; $E_{cm} = 31000 \text{ MPa}$

Ocel podélná: B500B ($f_{yk} = 500,0 \text{ MPa}$; $E_s = 200000 \text{ MPa}$)
Ocel příčná: B500B ($f_{yk} = 500,0 \text{ MPa}$; $E_s = 200000 \text{ MPa}$)

Vzpěr
Vzpěr není uvažován
S tlačnou výztuží je počítáno.

Obvodové třmínky
Profil: 8 mm; Vzdálenost: 150,0 mm

Posouzení min. a max. stupně výztužení

Nosník (tažená výztuž - minimum, celková výztuž - maximum):
 $\rho_{s,t} = 0,00433 \geq \rho_{s,min} = 0,00135 \Rightarrow$ **Vyhovuje**
 $\rho_s = 0,00794 \leq \rho_{s,max} = 0,04 \Rightarrow$ **Vyhovuje**

Stupeň výztužení smykovou výztuží - Posouzení svise

$\rho_{w,min} = 0,0008 \leq \rho_w = 0,00447 \Rightarrow$ **Vyhovuje**
Maximální vzdálenost třmínků $s_{l,max} = 400,0 \text{ mm} \geq 150,0 \text{ mm} \Rightarrow$ **Vyhovuje**
Maximální vzdálenost větví třmínků $s_{t,max} = 459,9 \text{ mm}$

Stupeň výztužení smykovou výztuží - Posouzení vodorovně

$\rho_{w,min} = 0,0008 \leq \rho_w = 0,00134 \Rightarrow$ **Vyhovuje**
Maximální vzdálenost třmínků $s_{l,max} = 175,8 \text{ mm} \geq 150,0 \text{ mm} \Rightarrow$ **Vyhovuje**
Maximální vzdálenost větví třmínků $s_{t,max} = 175,8 \text{ mm}$
Maximální vzdálenost třmínků $s_{l,max} = 262,5 \text{ mm} \Rightarrow$ **Vyhovuje**

Posouzení mezního stavu únosnosti

č.	Název	N_{Ed} N_{Rd} [kN]	M_{Edy} M_{Rdy} [kNm]	M_{Edz} M_{Rdz} [kNm]	V_{Edz} V_{Rdz} [kN]	V_{Edy} V_{Rdy} [kN]	T_{Ed} T_{Rd} [kNm]	Využití [%]	Posouzení
1	Zat. případ 9	4,23	-73,71 \rightarrow -73,79	1,45	51,26	-11,80	0,18	37,3	Vyhovuje
		693,82	-197,90	3,92	265,54	-61,13	0,93		

Mezní stav únosnosti **VYHOVUJE - 37,3 %**

Využití: 37,3 %

37,3 % VYHOVUJE

[FIN EC - Beton (32 bit) | verze 11.2022.41.0 | hardwarový klíč 10724 / 1 | Ing. Jan Vopička | Copyright © 2024 Fine spol. s r.o. All Rights Reserved | www.fine.cz]

115-22-SC101

REV01

102/110

V3-4_

2x12-kr.26,0

320,0

200,0

2x12-kr.26,0

Typ prvku: nosník
Prostředí: XC1

Beton: C 25/30
 $f_{ck} = 25,0 \text{ MPa}$; $f_{ctm} = 2,6 \text{ MPa}$; $E_{cm} = 31000 \text{ MPa}$

Ocel podélná: B500B ($f_{yk} = 500,0 \text{ MPa}$; $E_s = 200000 \text{ MPa}$)
Ocel příčná: B500B ($f_{yk} = 500,0 \text{ MPa}$; $E_s = 200000 \text{ MPa}$)

Vzpěr
Vzpěrná délka kolmo na osu Y: $l_{ef,y} = 16,00 \times 1,00 = 16,00 \text{ m}$
Vzpěrná délka kolmo na osu Z: $l_{ef,z} = 16,00 \times 1,00 = 16,00 \text{ m}$
S tlačnou výztuží je počítáno.

Obvodové třmínky
Profil: 6 mm; Vzdálenost: 130,0 mm

Spony, vnitřní třmínky vodorovné
Profil: 2 mm; Vzdálenost: 120,0 mm; Střihy: 2

Posouzení min. a max. stupně výztužení
Nosník (tažená výztuž - minimum, celková výztuž - maximum):
 $\rho_{s,t} = 0,00393 \geq \rho_{s,min} = 0,00135 \Rightarrow$ **Vyhovuje**
 $\rho_s = 0,00707 \leq \rho_{s,max} = 0,04 \Rightarrow$ **Vyhovuje**

Stupeň výztužení smykovou výztuží - Posouzení svise
 $\rho_{w,min} = 0,0008 \leq \rho_w = 0,00217 \Rightarrow$ **Vyhovuje**
Maximální vzdálenost třmínků $s_{l,max} = 216,0 \text{ mm} \geq 130,0 \text{ mm} \Rightarrow$ **Vyhovuje**
Maximální vzdálenost větví třmínků $s_{t,max} = 216,0 \text{ mm} \geq 158,0 \text{ mm} \Rightarrow$ **Vyhovuje**

Stupeň výztužení smykovou výztuží - Posouzení vodorovně
 $\rho_{w,min} = 0,0008 \leq \rho_w = 0,00152 \Rightarrow$ **Vyhovuje**
Maximální vzdálenost třmínků $s_{l,max} = 126,0 \text{ mm} \geq 120,0 \text{ mm} \Rightarrow$ **Vyhovuje**
Maximální vzdálenost větví třmínků $s_{t,max} = 126,0 \text{ mm} \geq 92,7 \text{ mm} \Rightarrow$ **Vyhovuje**
Maximální vzdálenost třmínků $s_{l,max} = 130,0 \text{ mm} \Rightarrow$ **Vyhovuje**

Posouzení mezního stavu únosnosti

č.	Název	N_{Ed} N_{Rd} [kN]	M_{Edy} M_{Rdy} [kNm]	M_{Edz} M_{Rdz} [kNm]	V_{Edz} V_{Rdz} [kN]	V_{Edy} V_{Rdy} [kN]	T_{Ed} T_{Rd} [kNm]	Využití [%]	Posouzení
1	Zat. případ 4	-3,44 -1247,62	-26,12 → -27,67 -27,90	0,00 → 2,53 2,55	61,48 87,98	-0,49 -0,70	0,17 0,24	99,2	Vyhovuje

Mezní stav únosnosti VYHOVUJE - 99,2 %

Využití: 99,2 %

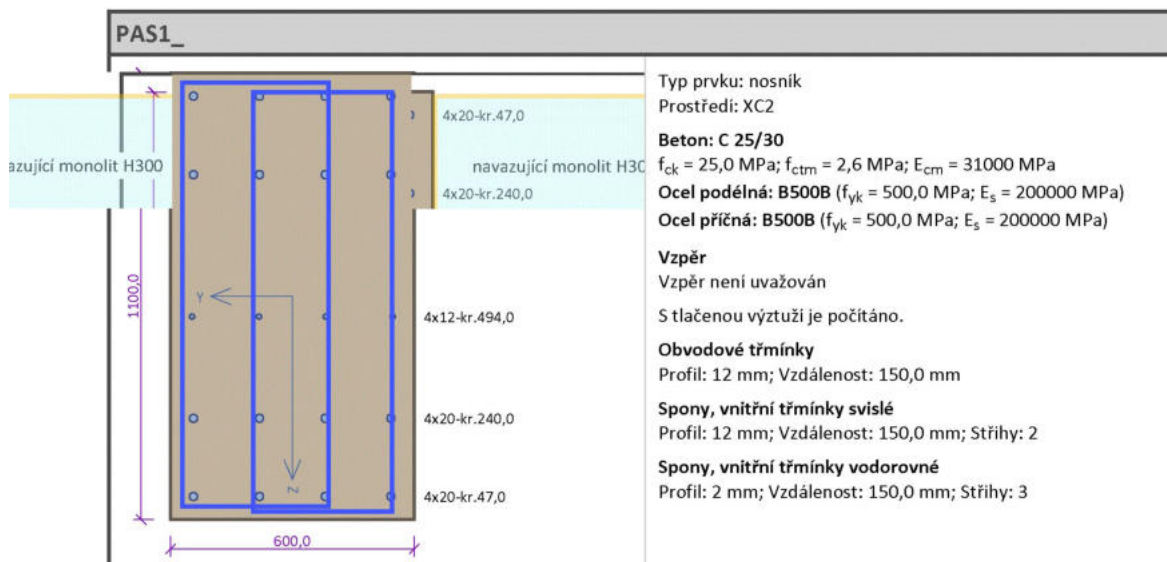
99,2 % VYHOVUJE

[FIN EC - Beton (32 bit) | verze 11.2022.41.0 | hardwarový klíč 10724 / 1 | Ing. Jan Vopička | Copyright © 2024 Fine spol. s r.o. All Rights Reserved | www.fine.cz]

115-22-SC101

REV01

103/110



Posouzení min. a max. stupně vyztužení

Nosník (tažená výztuž - minimum, celková výztuž - maximum):

$$\rho_{s,t} = 0,00331 \geq \rho_{s,\min} = 0,00135 \Rightarrow \text{Vyhovuje}$$

$$\rho_s = 0,0083 \leq \rho_{s,max} = 0,04 \Rightarrow \text{Vyhovuje}$$

Stupeň vyztužení smykovou výztuží - Posouzení svise

$$\rho_{w,\min} = 0,0008 \leq \rho_w = 0,00503 \Rightarrow \text{Vyhovuje}$$

Maximální vzdálenost třmínků $s_{l,max} = 400,0 \text{ mm} \geq 150,0 \text{ mm} \Rightarrow$ **Vyhovuje**

Maximální vzdálenost větví třmínků $s_{t,max} = 600,0 \text{ mm} \geq 172,7 \text{ mm} \Rightarrow$ **Vyhovuje**

Stupeň vyztužení smykovou výztuží - Posouzení vodorovně

$$\rho_{w,\min} = 0,0008 \leq \rho_w = 0,00143 \Rightarrow \text{Vyhovuje}$$

Maximální vzdálenost třmínků $s_{l,max} = 346,7 \text{ mm} \geq 150,0 \text{ mm} \Rightarrow$ **Vyhovuje**

Maximální vzdálenost větví třmíneků $s_{t,max} = 346,7 \text{ mm} \geq 254,5 \text{ mm} \Rightarrow$ **Vyhovuje**

Maximální vzdálenost třmínek $s_{l,max} = 400,0 \text{ mm} \Rightarrow \text{Vyhovuje}$

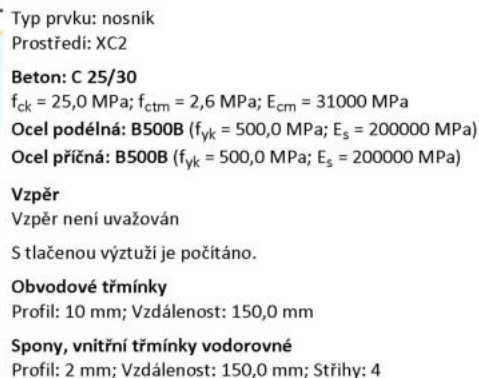
Posouzení mezního stavu únosnosti

č.	Název	N_{Ed}	M_{Edy}	M_{Edz}	V_{Edz}	V_{Edy}	T_{Ed}	Využití [%]	Posouzení
		N_{Rd} [kN]	M_{Rdy} [kNm]	M_{Rdz} [kNm]	V_{Rdz} [kN]	V_{Rdy} [kN]	T_{Rd} [kNm]		
1	Zat. případ 12	50,19	-498,13	13,63	512,44	-38,38	265,68	69,6	Vyhovuje
		2552,80	-1139,57	31,14	908,24	-68,02	381,63		

Mezní stav únosnosti VYHOVUJE - 69,6 %

Využití: 69,6 %

69,6 % VYHOVUJE



Nosník (tažená výztuž - minimum, celková výztuž - maximum):

$$\rho_{s,t} = 0,00312 \geq \rho_{s,\min} = 0,00135 \Rightarrow \text{Vyhovuje}$$

$$\rho_{s,t} = 0,00312 \geq \rho_{s,\min} = 0,00135 \Rightarrow \text{Vyhovuje}$$

$$\rho_s = 0,00699 \leq \rho_{s,\max} = 0,04 \Rightarrow \text{Vyhovuje}$$

$$\rho_{w,\min} = 0,0008 \leq \rho_w = 0,00262 \Rightarrow \text{Vyhovuje}$$

Maximální vzdálenost třmínků $s_{l,max} = 400,0 \text{ mm} \geq 150,0 \text{ mm} \Rightarrow$ **Vyhovuje**

Maximální vzdálenost větví třmínků $s_{t,max} = 501,2 \text{ mm} \geq 328,0 \text{ mm} \Rightarrow$ **Vyhovuje**

$$\rho_{w,\min} = 0,0008 \leq \rho_w = 0,00141 \Rightarrow \text{Vyhovuje}$$

Maximální vzdálenost třmínků $s_{l,max} = 240,6 \text{ mm} \geq 150,0 \text{ mm} \Rightarrow$ **Vyhovuje**

Maximální vzdálenost větví třmíneků $s_{t, \max} = 240,6 \text{ mm} \geq 145,6 \text{ mm} \Rightarrow$ **Vyhovuje**

Maximální vzdálenost třmínek $s_{l,max} = 300,0 \text{ mm} \Rightarrow \text{Vyhovuje}$

č.	Název	N_{Ed} N_{Rd} [kN]	M_{Edy} M_{Rdy} [kNm]	M_{Edz} M_{Rdz} [kNm]	V_{Edz} V_{Rdz} [kN]	V_{Edy} V_{Rdy} [kN]	Využití [%]	Posouzení
1	Zat. případ 5	57,39 1042,20	-336,89 -360,25	1,31 1,40	275,54 285,14	0,00 0,00	96,6	Vyhovuje

Využití: 96,6 %

96,6 % VYHOVUJE

7.13. Stožár

7.13.1. Přemístění uzlů; $U_x < H/500=25 \text{ mm}$ - Vyhoví

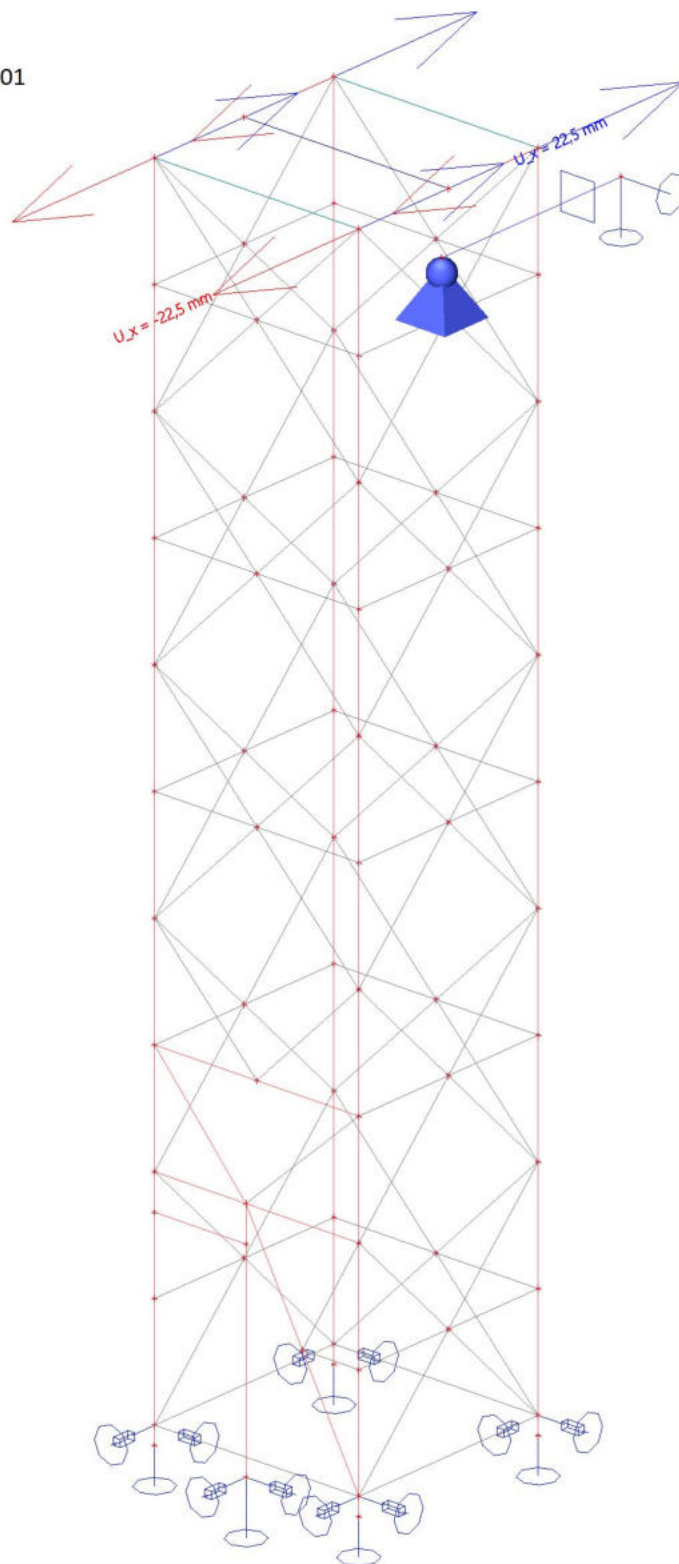
Hodnoty: U_x

Lineární výpočet

Třída: Všechny MSP

Extrém: Globální

Výběr: N195, N197, N200, N201



7.13.2. 1D vnitřní síly

Lineární výpočet

Třída: Všechny MSU

Souřadný systém: Hlavní

Extrém 1D: Průřez

Výběr: Pojmenovaný výběr - stozar

Jméno	dx [mm]	Stav	Průřez	N [kN]	V _y [kN]	V _z [kN]	M _x [kNm]	M _y [kNm]	M _z [kNm]
B90	2700,000+	MSÚ-Sada B (auto)/1	ST1 - L100X10	-130,43	0,82	-1,37	0,00	1,06	-0,09
B90	3950,000-	MSÚ-Sada B (auto)/2	ST1 - L100X10	103,94	0,41	-0,55	0,00	-0,21	0,20
B134	2700,000	MSÚ-Sada B (auto)/3	ST1 - L100X10	0,00	-2,69	2,69	0,00	0,00	0,00
B134	2700,000	MSÚ-Sada B (auto)/4	ST1 - L100X10	0,00	2,69	-2,69	0,00	0,00	0,00
B90	2700,000-	MSÚ-Sada B (auto)/2	ST1 - L100X10	101,10	0,69	-2,96	0,00	-1,10	0,09
B243	0,000	MSÚ-Sada B (auto)/5	ST1 - L100X10	0,00	-0,06	0,06	-0,01	0,00	0,00
B243	0,000	MSÚ-Sada B (auto)/1	ST1 - L100X10	0,00	-0,07	0,07	0,02	0,00	0,00
B133	1100,000-	MSÚ-Sada B (auto)/6	ST1 - L100X10	3,29	0,61	-2,37	0,00	-2,54	0,74
B133	1100,000-	MSÚ-Sada B (auto)/7	ST1 - L100X10	3,86	-0,74	2,24	0,00	2,52	-0,75
B134	1380,000-	MSÚ-Sada B (auto)/8	ST1 - L100X10	-0,77	-0,01	0,01	0,00	1,19	-1,19
B134	1380,000-	MSÚ-Sada B (auto)/5	ST1 - L100X10	-0,67	0,01	-0,01	0,00	-1,19	1,19
B94	0,000	MSÚ-Sada B (auto)/5	ST2 - UPE240	-0,86	-0,06	0,48	0,00	0,00	0,07
B94	0,000	MSÚ-Sada B (auto)/8	ST2 - UPE240	1,10	0,04	1,46	0,00	0,01	-0,05
B92	1230,000+	MSÚ-Sada B (auto)/4	ST2 - UPE240	-0,10	-0,08	-0,30	0,00	0,59	0,04
B93	2460,000	MSÚ-Sada B (auto)/9	ST2 - UPE240	-0,09	0,04	-5,42	-0,01	0,00	0,03
B92	0,000	MSÚ-Sada B (auto)/9	ST2 - UPE240	0,69	0,04	5,42	-0,01	0,00	-0,03
B92	0,000	MSÚ-Sada B (auto)/10	ST2 - UPE240	-0,23	-0,01	5,42	-0,01	0,00	0,01
B92	1230,000+	MSÚ-Sada B (auto)/9	ST2 - UPE240	0,66	0,04	-5,00	0,01	6,41	-0,02
B92	0,000	MSÚ-Sada B (auto)/1	ST2 - UPE240	1,02	0,06	4,29	-0,01	0,00	-0,04
B92	1230,000-	MSÚ-Sada B (auto)/9	ST2 - UPE240	0,69	0,04	5,00	-0,01	6,41	0,02
B94	2460,000	MSÚ-Sada B (auto)/3	ST2 - UPE240	-0,76	-0,06	-1,46	0,00	0,01	-0,08
B92	2460,000	MSÚ-Sada B (auto)/3	ST2 - UPE240	0,09	0,11	-4,29	0,01	0,00	0,08
B96	0,000	MSÚ-Sada B (auto)/5	ST3 - IPE240	0,00	-0,08	0,60	0,00	0,00	0,10
B96	0,000	MSÚ-Sada B (auto)/8	ST3 - IPE240	0,00	0,06	7,75	0,00	-0,01	-0,07
B96	0,000	MSÚ-Sada B (auto)/3	ST3 - IPE240	0,00	-0,08	7,75	0,00	-0,01	0,10
B96	0,000	MSÚ-Sada B	ST3 - IPE240	0,00	0,06	0,60	0,00	0,00	-0,07

Jméno	dx [mm]	Stav	Průřez	N [kN]	V _y [kN]	V _z [kN]	M _x [kNm]	M _y [kNm]	M _z [kNm]
		(auto)/4							
B96	0,000	MSÚ-Sada B (auto)/11	ST3 - IPE240	0,00	-0,02	10,00	0,00	-0,01	0,02
B96	0,000	MSÚ-Sada B (auto)/1	ST3 - IPE240	0,00	-0,04	7,75	0,00	-0,01	0,05
B96	0,000	MSÚ-Sada B (auto)/2	ST3 - IPE240	0,00	0,03	0,60	0,00	0,00	-0,03
B96	2460,000	MSÚ-Sada B (auto)/11	ST3 - IPE240	0,00	-0,02	-10,00	0,00	-0,01	-0,02
B96	1230,000-	MSÚ-Sada B (auto)/11	ST3 - IPE240	0,00	-0,02	7,50	0,00	10,75	0,00
B96	2460,000	MSÚ-Sada B (auto)/3	ST3 - IPE240	0,00	-0,08	-7,75	0,00	-0,01	-0,10
B194	1753,682	MSÚ-Sada B (auto)/3	ST4 - L60X6	-31,61	0,00	0,00	0,00	0,00	0,00
B145	0,000	MSÚ-Sada B (auto)/12	ST4 - L60X6	30,77	0,00	0,00	0,00	0,00	0,00
B192	1230,000-	MSÚ-Sada B (auto)/13	ST4 - L60X6	1,69	-0,05	-0,05	0,00	-0,02	-0,02
B192	1230,000+	MSÚ-Sada B (auto)/13	ST4 - L60X6	1,94	0,05	0,05	0,00	-0,02	-0,02
B218	0,000	MSÚ-Sada B (auto)/1	ST4 - L60X6	1,62	0,02	0,02	0,00	0,00	0,00
B192	0,000	MSÚ-Sada B (auto)/4	ST4 - L60X6	2,45	0,02	0,02	0,00	0,00	0,00
B192	1230,000-	MSÚ-Sada B (auto)/1	ST4 - L60X6	2,77	-0,04	-0,04	0,00	-0,02	-0,02
B149	738,000-	MSÚ-Sada B (auto)/8	ST4 - L60X6	2,58	0,00	0,00	0,00	0,01	0,01
B246	2460,000	MSÚ-Sada B (auto)/14	PAZDIK1 - UPE100	0,00	0,41	0,00	0,00	0,00	0,00
B246	2460,000	MSÚ-Sada B (auto)/15	PAZDIK1 - UPE100	0,00	0,35	-1,80	0,00	0,00	0,00
B246	0,000	MSÚ-Sada B (auto)/15	PAZDIK1 - UPE100	0,00	-0,35	1,80	0,00	0,00	0,00
B246	0,000	MSÚ-Sada B (auto)/14	PAZDIK1 - UPE100	0,00	-0,41	0,00	0,00	0,00	0,00
B246	1476,000-	MSÚ-Sada B (auto)/15	PAZDIK1 - UPE100	0,00	0,07	-0,36	0,00	1,06	-0,21
B246	984,000-	MSÚ-Sada B (auto)/14	PAZDIK1 - UPE100	0,00	-0,08	0,00	0,00	0,00	-0,24

7.13.3. Posudek ocelových prvků na MSÚ EC-EN 1993

Lineární výpočet

Třída: Všechny MSU

Souřadný systém: Hlavní

Extrém 1D: Průřez

Výběr: Pojmenovaný výběr - stožár

Celkový posudek

Jméno	dx [mm]	Stav	Průřez	Materiál	UC _{Celkový} [-]	UC _{Průřez} [-]	UC _{Stabilita} [-]
B90	200,000+	MSU-Sada B (auto)/1	ST1 - L100X10	S 235	0,87	0,28	0,87
B93	1230,000-	MSU-Sada B (auto)/2	ST2 - UPE240	S 235	0,08	0,08	0,00
B96	1230,000-	MSU-Sada B (auto)/2	ST3 - IPE240	S 235	0,12	0,12	0,11
B137	0,000	MSU-Sada B (auto)/3	ST4 - L60X6	S 235	0,73	0,13	0,73
B246	984,000-	MSU-Sada B (auto)/4	PAZDIK1 - UPE100	S 235	0,19	0,14	0,19

7.13.4. Reakce - stožár

Lineární výpočet

Třída: Všechny MSU

Systém: Globální

Extrém: Globální

Výběr: Pojmenovaný výběr - reakce Stožár

Uzlové reakce

Jméno	Stav	R _x [kN]	R _y [kN]	R _z [kN]	M _x [kNm]	M _y [kNm]	M _z [kNm]	e _x [mm]	e _y [mm]
Sn28/N196	MSU-Sada B (auto)/1	-22,09	0,09	126,00	0,00	0,00	0,00	0,0	0,0
Sn27/N194	MSU-Sada B (auto)/2	-0,34	-22,61	-102,83	0,00	0,00	0,00	0,0	0,0
Sn27/N194	MSU-Sada B (auto)/3	-0,39	22,63	130,18	0,00	0,00	0,00	0,0	0,0
Sn28/N196	MSU-Sada B (auto)/4	22,11	-0,11	-105,89	0,00	0,00	0,00	0,0	0,0
Sn27/N194	MSU-Sada B (auto)/5	22,11	0,12	132,78	0,00	0,00	0,00	0,0	0,0

8. Závěr

Navržená konstrukce vyhoví s ohledem na požadavky eurokódu na mezní stavy únosnosti a použitelnosti.